

ՀԱՅԱՍՏԱՐԻ ՔԻՄԻԱԿԱՐ ՀԱՐԴԵՍ

Химический журнал армении

CHEMICAL JOURNAL OF ARMENIA

Основан в 1947 г. Выходит 12 раз в год

b U P U S P U S U b b A L b S P U

Ա. Բ. Բաբայան (գլի. Իմբադիր), Շ. Բաղանյան (գլի. իմբագրի տեղակալ), Գ. Հ. Գրիգորյան, Վ. Մ. Բառայան, Մ. Հ. Իննիկյան (գլի. իմբագրի տեղակալ), Ա. Հ. Մանթաշյան, Մ. Գ. Մանվելյան, Գ. Բ. Մարաիրոսյան, Ա. Կ. Գիրենյան, Ա. Հ. Վարդանյան, Ս. Ա. Տեր-Դանիելյան (պատ. բարտուղար)

РЕДАКЦИОННАЯ КОЛЛЕГИЯ

А. Т. Бабаян (глав. редактор), Ш. О. Баданян (зам. глав. редактора), С. А. Вартанян, Г. О. Григорян, М. Г. Инджикян (зам. глав. редактора), М. Г. Манвелян, А. А. Манташян, Г. Т. Мартиросян, С. К. Пирвиян, В. М. Тараян, С. А. Тер-Диниелян (ответ. секретарь)

жеричрос Руши запави времи 19, Рарания Руши, 24, 3km. 16-08-31 Адрес редакции: Ереван-19, Барекамутян, 24г, тел. 56-08-31

ዩበዺ ዜ ኔ ጉ ዜ Կ በ ኮ **ዶ** 8 በ ኮ ኒ

	42
Ընգհանու ւ և ֆիզիկական քիմիա	
Առաքիլովա Է. Ռ., Ալեքսանդրով Գ. Գ., Ստրուչկով Ցու. Տ. — Դիֆենիլած խաթթվե β-գիէթիլաժինաէթիլի էսթերի հիղրորըոժիղի թյուրեղական և ժոլեկուլյար	
կառուցված բը	889
դիրարարկայի և վերարիզմի վրա	837
Բարսամյան Ս. P., Պողոսյան Է. S. — Տարրական ակտերի ուսումնասիրությունը	
վիծիլացետիլենի պոլիժերացման պրոցեսում	901
Orqueնական քիմիա	
Օնանցանյան Ս. Մ., Քոչարյան Ս. Տ., Բաբայան Ա. <i>Գ. — Դիայկիլ(3-գլոր-2-րու-</i>	
արջիլ)փանեանիշեսիդրեյն եղերև անևուրափոմ աղորկուզայիկ ամբեկ	
ոտիվենաժեր վերականավոր և դենիդրույացերացական ձեպերացերի	
չանսետանուն հաշան դատնիսողի անիսչսնատի բնրհայիր սուսարըոնկայի	
ապարեցության տակ	902
Ղազարյան Հ. Ց., Միսարյան Ս. Օ., Մարտիրոսյան Գ. Թ. — N- <i>Բեեզիլկետիմի</i> »	913
Մեսրոպյան Է. Գ., Համբարձումյան Գ. Բ., Շեյրանյան Մ. Ա., Դանդյան Մ. Տ. —	
Արևատանինոացետոջացախաթթվի և ացետամինոմալոնաթթվի էթիլէսթեր-	
ների կոնդենսացիան էպիջլորքիդրինի նետ	918
Մարտիրոսյան Ա. Գ. Մարտիրոսյան Ա. Գ., Թեղորաձե Գ. Ա. — Ակրիլոնիարիլի և	
ամիլային ոպիրտի ճամատեղ աղտորբցիան սնդիկե էլեկտրողի վրա	923
Պետրոսյան Ռ. Ա., Օրդուխանյան Կ. Ա., Բաղդասարյան Ռ. Վ., Տոնոյան Վ. Ջ. —	
Գոլիթլորոպրենի կայունացումը տրիալիլիվոցիանուրատով	8:8
hars hagargatestr	
Հարությունյան Ա. Մ., Բալյան Կ. Ա., Բաբայան Ս. Գ. — Կ <i>ալրիումի օջոիդով գի</i> -	
ատոմիտի կրայնացման մեխանիզմի մասին	938
Երիցյան Մ. Լ., Քարամյան Ռ. Ա. — Իղոցի≃նուբա <i>Թթվի գի</i> և տրիածանցյալների	
րարդ եթերների սինթեղ	938
Հեղինակների դանկ	941

СОДЕРЖАНИЕ

	Стр
Общая и физическая химия	
Аракелова Э. Р., Александров Г. Г., Стручков Ю. Т. — Кристаллическая и молекулярная структуры гидробромида β-диэтиламиноэтилового эфира дифенилуксусной кислоты	\$89
Гукасян Т. Т., Мхитарян Р. П., Бейлерян Н. П. — Влияние ионов Ag^+ и Cu^{2+} на кинетику и механизм окисления аминоспиртов персульфатом	
калия	S97 901
Органическая химия	
Огонджанян С. М., Кочарян С. Т., Бабаян А. Т. — Последовательность реакций стивенсовской перегруппировки и дегидрохлорирования солей диалкил(3-хлор-2-бутенил)карбалкоксиметиламмония под действием	
эфирной суспензии алкоголята натрия	S09·
зникетничнов стиролом	913
с эпихлоргидрином	918
сорбция акрилонитрила и амилового спирта на ртути. II	922
Стабилизация полихлоропрена триаллидизоциануратом	929
Краткие сообщения	
Арутюнян А. М., Балян К. А., Бабаян С. Г. — О механизме известкования диатомитов окисью кальция	935
шануровой кислоты	938-
Указатель авторов	941

CONTENTS

General and Physical Chemistry

- control and cayotte, one cay
Arakelova E. R., Alexandrov G. G., Struchkov Yu. T Crystal and Molecular Structure of \(\beta\)-Diethylaminoethyl Diphenylacetate Hydrobromide Ghookassian T. T., Mkhitarian R. P., Beylerian N. M. — The Influence
of Ag ⁺ and Cu ²⁺ Ions on the Kinetics and Mechanism of the Oxydation of Aminoalkohols by Potassium Persulphate
Organic Chemistry
Ohanjanian S. M., Kocharlan S. T., Babayan A. T.— Sequence of the Stevens Rearrangement and Dehydrohalogenotion Reactions in Dialkyl- (3-chloro-2-butenyi)-carbaikoxymethyl Ammonium Salts
Kazarlan A. Ts., Missarlan S. O., Martirossian G. T. — Alkylation of N-Benzylketimines with Styrene
Mesroplan E. G., Hambartzoumian G. B., Sheyranian M. A., Danghian M. T.— Condensation of Ethyl Acetaminoacetates and Acetaminomalonates with Epichlorohidrin
Martirossian A. G., Martirossian A. P., Tedoradze G. A. — The Simultaneous Adsorption of Acrylonitrile and Amyl Alcohol on the Mercury Electrode.
Petrossian R. A., Ordukhanian K. A., Baghdassarian R. V., Tonoyan V. J.— Stabilization of Polychloroprene with Triallylisocyanurate
Short Communications
Haroutynian A. M., Ballan K. A., Babayan S. G.— The Calcination Mechanism of Diatomite with Calcium Oxide
urates



Технический редактор Л. А. АЗИЗБЕКЯН

ВФ 06320

Изд. № 4972

Заказ 1304

Тираж 7

Сдано в набор 6.12.1978 г. Подписано к печати 2.2.1979 г. Формат бумаги 70 \times 108 $^{1}/_{16}$. Печ. л. 6,0. Бум. л. 3,0. Усл. п. л. 8,4. Уч. изд. л. 7,6.

Издательство Академин наук Армянской ССР, Ереван, ул. Барекамутян, 24г. Типография Издательства АН Армянской ССР, Ереван, ул. Барекамутян, 24

XXXI, № 12, 1978

ОБШАЯ И ФИЗИЧЕСКАЯ ХИМИЯ

УЛК 539.26+547.292.26+541.69

КРИСТАЛЛИЧЕСКАЯ И МОЛЕКУЛЯРНАЯ СТРУКТУРЫ ГИДРОБРОМИДА В-ДИЭТИЛАМИНОЭТИЛОВОГО ЭФИРА ДИФЕНИЛУКСУСНОЙ КИСЛОТЫ

Э. Р. АРАКЕЛОВА, Г. Г. АЛЕКСАНДРОВ и Ю. Т. СТРУЧКОВ

Ереванский отдел органического синтеза ВНИИ «ИРЕА» Институт элементоорганических соединений АН СССР, Москва

Поступило 22 11 1978

Структура $C_{20}H_{26}NO_2HBг$ —аналога лекарственного препарата, известного в медицине под названием спазмолитина [1], определена из трехмерных рядов Паттерсона и Фурье и уточнена методом наименьших квадратов в изотропном, анизотропном для Вг блочно-диагональном приближении с весами по Крукшенку [2] до R=0.102. Кристалым моноклинные, пространственная группа Cc, a=8.394 (6), b=32.10 (3), c=7.428 (5) A, $\beta=93.06$ (7)°, Z=4. Атом азота, как и в ранее исследованных [3, 4] холинолитических препаратах, имеет тетраэдрическую координацию и связаи с Br водородной связью N=H... Br длиной 3.25 A.

Рис. 2. табл. 3. библ. ссылок 13.

Гидрохлорид β-диэтиламиноэтилового эфира дифенилуксусной кислоты (C₆H₅)₂CHCOO(CH₂)₂N(C₂H₅)₂HCI—спазмолитин, является родоначальником синтетических холинолитических препаратов, построенных по типу ацетилхолина. Он обладает ярко выраженной никотиновой холинолитической активностью [5]. Спазмолитин содержит N—С—С—О—С—С фрагмент ацетилхолина. Однако исследования в ряду гомологов П

спазмолитина показали, что сильные холинолитики представляют производные аминопропиловых эфиров, а не аминоэтиловых. В частности, диэтиламинопропиловый эфир дифенилуксусной кислоты—арпенал, обладает гораздо более высокой никотинолитической активностью, чем спазмолитин [5]. Исследование структуры гидробромидного аналога спазмолитина и сопоставление с ранее исследованным гидробромидным аналогом арпенала выявит нижние пределы конформационного варьирования взаимного расположения анионной и эстерофильной групп холинорецепторов.

Экспериментальная часть и расшифровка структуры

Параметры элементарной ячейки, полученные методом качания и фотографирования обратной решетки, уточнялись на 4-кружном дифрактометре Хилгер-Уоттс (λ Cu, K_e , графитовый монохроматор).

$$a=8,394\pm0,006 \text{ A}$$
 $d=1,167 \text{ z/cm}^3$ $b=32,10\pm0,03 \text{ A}$ $V=1998,60 \text{ A}^3$ $c=7,428\pm0,005 \text{ A}$ $M=391,33$ $\beta=93,06\pm0,07^\circ$ $Z=4, \text{ np. rp. Cc}$

Систематические погасания указывают на пространственные группы Сс и С2/с. Однако наличие пьезоэффекта привело к группе Сс. Интенсивности 1167 отражений измерены в интервале

$$0.031 \leqslant \frac{\sin \theta}{\lambda} \leqslant 0.544$$

Обработка экспериментальных данных проведена по методике [6]. Поглощение не учтено. Координаты атома Вг найдены из трехмерной функции Паттерсона. Методом последовательных приближений синтеза электронной плотности локализованы все неводородные атомы. Уточнение структуры проведено методом наименьших квадратов в изотропном приближении для всех неводородных атомов и анизотропном для Вг по программе Рентген-75 [7]. Окончательный *R*-фактор 0,102. Окончательные координаты атомов и тепловые поправки приведены в табл. 1. Углеродные атомы бензольных колец в пара- и мета-положениях, а также углеродные атомы метильных групп C(18), C(20) имеют высокие тепловые параметры.

Геометрия молекулы показана на рис. 1 в проекции 001. Длины связей и величины валентных углов со стандартными отклонениями приведены в табл. 2, уравнения плоскостей даны в табл. 3. Упаковка молекулы показана на рис. 2.

Геометрические параметры молекулы близки к стандартным. Средние длины связей в бензольных кольцах. 1,388 и 1,376 A, согласуются в пределах ошибки с таковыми в кристаллическом бензоле [8], С—С ординарные 1,55, С (14)—О (2) 1,34, С—О (при эф.) 1,44, С=О 1,23 A также близки к стандартным значениям [9]. Некоторое удлинение связей N—С (средняя длина 1,52 A) от обычной простой (1,47 A), возможно, объясняется делокализацией положительного заряда, а укорочение связи С (1)—С (2) и удлинение С (1)—С (8) являются результатом внутримолекулярного взаимодействия карбонильной группы с атомами С (2) и С (8) бензольных колец.

Средние углы в бензольных кольцах при алифатических углеродах, а также углы CNC согласуются со стандартными значениями. Конформация молекулы в кристалле представлена пятью плоскими фрагмен-

тами C(2)-C(7), C(8)-C(13), C(1) (C(14) O(1) O(2), O(2) C(15) C(16) N, C(16) C(17) C(19).

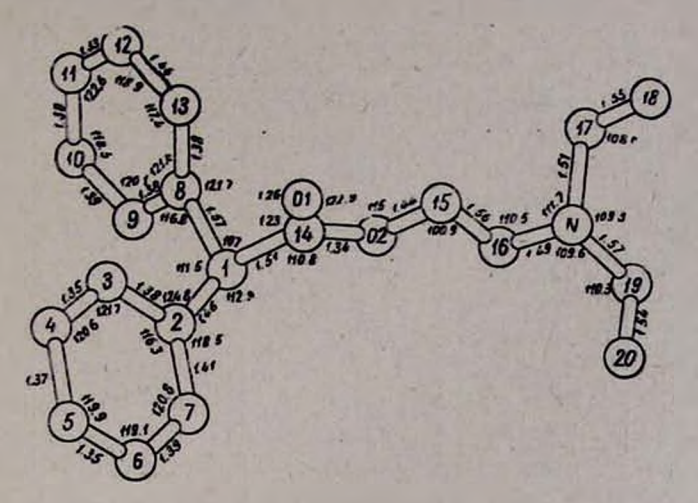


Рис. 1. Геометрия катнона.

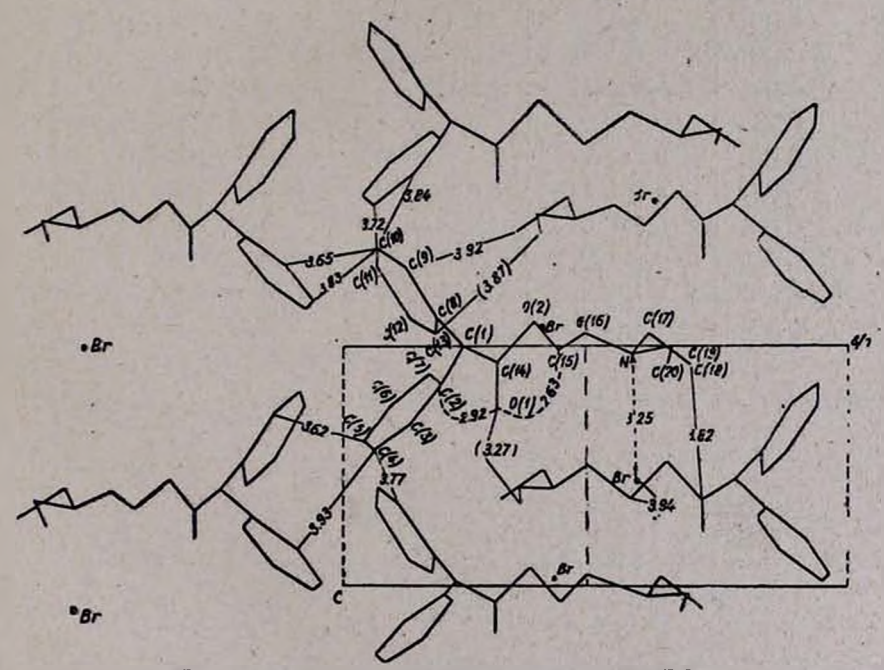


Рис. 2. Проекция структуры на плоскость ВС.

Атом азота с заместителями образует катионную головку, обладающую симметрией тетраэдра. Средний угол CNC составляет 110°03'. Азот отклонен от плоскости (V) на 0,48 A, в ту же сторону отклонен Вг на 3,73 A. Расстояние N...Вг 3,25 A свидетельствует о наличии водородной связи N—H...Вг перпендикулярной плоскости (V).

Таблица 1

Координаты атомов и температурные факторы						
Атом	x	у	2	B 1530, A		
0 (1)	0,450 (2)	0.1452 (6)	0,259 (3)	7,7		
O (2)	0,524 (1)	0,1821 (3)	0,019 (2)	3,4		
N	0,499 (2)	0.2953 (4)	0,065 (2)	3,2		
C (1)	0,584 (2)	0,1106 (6)	0,016 (2)	5,5		
C (2)	0,676 (2)	0,0832 (5)	0,138 (2)	3.9		
C (3)	0,613 (2)	0,0513 (7)	0,237 (3)	5,9		
C (4)	0,704 (2)	9,0237 (7)	0,355 (3)	6,3		
C (5)	0,866 (3)	0,0339 (9)	0,359 (4)	7,5		
C (6)	0,933 (3)	0,0670 (8)	0,291 (4)	7,4		
C (7)	0,841 (3)	0,0909 (7)	0,169 (3)	6,5		
C (8)	0,446 (2)	0,0865 (6)	-0,090 (2)	4,3		
C (9)	0,484 (3)	0,0663 (7)	-0,245 (3)	5,5		
C (10)	0,370 (4)	0,0421 (9)	-0,340 (4)	8,5		
C(11)	0,215 (4)	0,0417 (11)	-0,283 (5)	9,9		
C (12)	0, 175 (4)	0,0601 (9)	-0,130 (5)	9.2		
C (13)	0,292 (3)	0,0867 (9)	-0,033 (4)	7,9		
C (14)	0,509 (2)	0,1466 (5)	0.111 (2)	3,8		
C (15)	0,458 (2)	0,2185 (6)	0,101 (3)	4,2		
C (16)	0,545 (2)	0,2535 (5)	-0,002 (2)·	3,5		
C (17)	0,325 (2)	0,3064 (6)	-0,008 (3)	5,2		
C (18)	0,261 (3)	0,3440 (9)	0,095 (4)	7,7		
C (19)	0,613 (2)	0,3287 (5)	0,009 (2)	4.1		
C (20)	0,774 (3)	0,3232 (8)	0,118 (3)	6,9		
Br	0,4937 (6)	0,2922 (1)	0,5025 (6)	-		

Анизотропные температурные параметры $B_{ij} imes 10^5$ для атома Вг

$$T = \exp\left[-(B_{11}h^2 + B_{22}k^2 + B_{23}l^2 + B_{12}hk + B_{13}hl + B_{23}kl)\right]$$

Атом	B ₁₁	В,,	Ваз	В	B ₁₃	B ₁₃
Br	2220	130	1330	60	450	20

Положительный заряд, вероятно, в основном сосредоточен на водороде связи N—H [10]. Атомы С (18), С (20) отклонены от этой плоскости на 0,77 и 0,75 А в ту же сторону, что азот и водород Кислотная часть молекулы содержит бензольные кольца, двугранный угол между которыми 82°04′, т. е. они минимально сопряжены. Ацетоксигруппа С (1) С (14) О (1) О (2) плоская. Углы между плоскостями бензольных колец (I) и (II) с ней составляют соответственно 107°36′ и 73°42′. Торсионный угол С (2) С (1) С (14) О (1) составляет 26°42′, а

Таблица 2

Длины связей d (A) в валентные углы w (град)

, A.A. 1.		(A) B Baueninge yillia w	(cpao)	
Связь	d	Угол	a	
C (1)—C (8)	1,57 (2)	C (1)—C (2)—C (3)	124,8 (1,7)	
C (1)-C (2)	1,46 (2)	C (1)—C (8)—C (9)	116,8 (1,7)	
C (2)—C (3)	1,38 (3)	C (1)—C (8)—C (13)	121,7 (1,9)	
C (3)—C (4)	1,35 (3)	C (1)—C (2)—C (7)	118,5 (1.6)	
C (4)—C (5)	1,37 (4)	C (2)—C (3)—C (4)	121,7 (2,0)	
C (5)—C (6)	1,35 (3)	C (3)—C (4)—C (5)	120,6 (2,3)	
C (6)-C (7)	1,39 (3)	C (4)—C (5)—C (6)	119,9 (2,5)	
C (7)-C (2)	1,41 (3)	C (5)—C (6)—C (7)	119,1 (2,4)	
C (8)—C (9)	1,38 (3)	C (6)—C (7)—C (2)	120,8 (2,1)	
C (9)—C (10)	1,39 (4)	C (7)—C (2)—C (3)	116,3 (1,7)	
C (10)—C (11)	1,39 (5)	C (8)—C (9)—C (10)	120,1 (2.3)	
C (11)-C (12)	1,33 (5)	C (9)-C (10)-C (11)	118,5 (2,9)	
C (12)—C (13)	1,46 (4)	C (10)—C (11)—C (12)	122,6 (3,2)	
C (13)—C (8)	1,38 (3)	C (11)—C (12)—C (13)	118,9 (3,0)	
C (1)—C (14)	1,51 (2)	C (12)—C (13)—C (8)	117,3 (2,6)	
C (14)—O (1)	1,23 (2)	C (13)—C (8)—C (9)	121,4 (2,0)	
C (14)-O(2)	1,34 (2)	C (2)—C (1)—C (8)	111,5 (1,5)	
O (2)—C (15)	1,44 (2)	C (8)—C (1)—C (14)	107,0 (1,4)	
C (15)—C (16)	1,56 (2)	C (2)—C (1)—C (14)	112,9 (1,5)	
C (16)—N	1,49 (2)	C (1)—C (14)—O (1)	126,0 (1,7)	
N—C (17)	1,51 (2)	O (1)—C (14)—Q (2)	122,9 (1,7)	
C (17)—C (18)	1,55 (3)	C (1)-C (14)-O (2)	110,8 (1,4)	
N—C (19)	1,57 (2)	C (14)—O (2)—C (15)	115,1 (1,3)	
C (19)—C (20)	1,54 (3)	O (2)-C (15)-C (16)	110,8 (1,4)	
5 1 3 5 W	- 7 - 1	C (15)—C (16)—N	110,5 (1,4)	
3 1 6 1 7/8		C (16)-N-C (17)	111,7 (1,3)	
7 19 22	- 1	C (16)—N—C (19)	109,6 (1,2)	
1 5 5 7 8	1	C (17)-N-C (19)	109,3 (1,2)	
	177 14	N-C (17)-C (18)	108,6 (1,5)	
W. W. W. W.	L. Navier	N-C (19)-C (20)	110,3 (1,7)	

С(8) С(1) С (14) О (1) — 20°46'. Плоскости (1), (II) с (IV) и (V) обравуют углы 124°16', 69°34' и 55°45', 137°48'. N—С—С—О—С—С

фрагмент не плоский. Угол между плоскостями С (1) С (14) О (1) О (2) и С (15) С (16) N составляет 19°18′, что указывает на скрученность фрагмента, в результате чего карбонильный кислород О (1) и С (15) сближены до расстояния 2,63 А. Атомы N и О (1) отклонены от плоскости атомов С (1) С (14) О (1) О (2) С (15) С (16) N на 0,11 А в одну сторону, а эфирный кислород О (2) в другую на 0,15 А. Катионная

головка молекулы посредством связей O(2)—C(15) и C(15)—C(16) сочленена с кислотной частью. Торсионный угол C(14) O(2) C(15) C(16) = 18°03′, а поворот вокруг связи C(15)—C(16) фрагмента NC(15) C(16) O(2) очень мал. Торсионный угол NC(15) C(16) O(2) = 2°09′, что приводит к удалению эфирного кислорода от азота на 3,64 A, в отличие от ацетилхолина, мускарина, где фрагмент NCCO имеет гош-строение и соответствующее расстояние составляет 3—3,2 A [11, 12].

В исследованном соединении H(N) и O(1) находятся по одну сторону от плоскости метиленовых групп, окружающих азот, что облегчает контакт с никотиновыми холинорецепторами (XP).

Таблица 3

Уравнения плоских фрагментов молекулы и отклонения атомов от плоскостей, (A)

```
Плоскость (I): С (2)—С (7)
               -1.855x + 25.715y - 4.399z = 1.785
C (2) 0,025, C (3) -0,012, C (4) 0,014, C (5) -0,029, C (6) 0,04, C (7) -0,037
Плоскость (II): С (8)—С (13)
               -1,818x + 20,230y + 5,616z = 1,253
C(8) 0.026, C(9) -0.003, C(10) -0.044, C(11) 0.067.
C (12) -0,043, C (13) -0,003
Плоскость (111): С (1), С (14), О (1), О (2)
               7,246x + 5,981y + 3,138z = 4,936
C(1) = 0.007, C(14) = 0.025, O(1) = 0.010, O(2) = 0.008
Плоскость (IV): О (2), С (15), С (16), N
               6.029x - 0.704y + 4.873z = 3.110
O (2) -0.011, C (15) 0.009, C (16) 0.013. N -0.011
Плоскость (V): С (16), С (17), С (19)
              0.389x + 0.702y - 7.426z = 0.404
C (16) 0,00, C (17) 0,00, C (19) 0,00, N -0,48, Br -3,73, C (18) -0,77,
C(20) = 0.75, O(1) = 2.05.
```

Холинолитические препараты образуют с XP более прочную связь по сравнению с холиномиметиками, по-видимому, за счет до-полнительных контактов с неспецифическими участками XP, блокирующими постсинаптические поры [13]. В спазмолитине содержится N—С—С—О—С—С фрагмент ацетилхолина. Однако расстояния

H(N)...O(1) 4,86 и H(N)...O(2) 3,88 А в спазмолитине короче соответствующих расстояний в ацетилхолине (CH₃(N)...O(CO) 5,6 и 4,5 А [11]), а также \sim на 1,3 А короче, чем в гидробромидном аналоге арпенала (6,15 и 5,03 А) [3].

При взаимодействии с XP молекула должна конформационно перестроиться наиболее выгодно в смысле комплементарного соответствия

ее активных групп и XP. Взаимодействие катионной головки с анионным пунктом XP произойдет через атом водорода при азоте. Молекуле спазмолитина придется значительно деформироваться, чтобы не нарушалось соответствие с эстерофильной частью XP, обеспечивающей прочность комплексообразования.

Большая холинолнтическая активность арпенала по сравнению с спазмолитином, по-видимому, объясняется сходством взаимного расположения атомов водорода аминных азотов и атомов кислорода сложно-эфирных групп со взаимным расположением катионной головки и атомов кислорода в молекуле ацетилхолина при взаимодействии с никотиновыми холинорецепторами.

ԴԻՖԵՆԻԼԱԾԽԱ<mark>ԹԹՎ</mark>Ի β_ԴԻԷ<mark>ԹԻ</mark>ԼԱ<mark>ՄԻՆԱԷԹԻԼԻ ԷՍԹԵՐԻ</mark> ՀԻԴՐՈԲՐՈՄԻԴԻ ԲՅՈՒՐԵՂԱԿԱՆ ԵՎ ՄՈԼԵԿՈՒԼՅԱՐ ԿԱՌՈՒՑՎԱԾՔԸ

է, Ռ. ՍՌԱՔԵԼՈՎԱ, Գ. Գ. ԱԼԵԿՍԱՆԴՐՈՎ և Ցու. S. ՍՏՐՈՒՁԿՈՎ

Իրականացվել է դիֆենիլածխաβթվի β-դիէթիլամինաէթիլի հիդրոբրոմիդի՝ սպավմոլիտին դեղանյութին համանուն ռենտգենոկառուցվածքային հետազոտություն։ Միացության բյուրեղական ցանցը մոնոկլինիկ է, տարածական խումբը Cc է։ Կառուցվածքը որոշված է Պատերսոնի և Ֆուրյեի եռաչափ շարքերից և ճշտված է ամենափոքր քառակուսիների մեթոդով իզոտրոպ, անիզոտրոպ Br համար աղյուս-անկյունագծային մոտավորությամբ մինչև R=0,102։ Համեմատելով ացետիլխոլինի և արփենալի կառուցվածքների հետ՝ բացատրվում է ֆիզիոլոգիական ակտիվության բնույթը։

CRYSTAL AND MOLECULAR STRUCTURE OF B-DIETHYLAMINOETHYL DIPHENYLACETATE HYDROBROMIDE

E. R. ARAKELOVA, G. G. ALEXANDROV and U. T. STRUCHKOV

The crystal structure of β -diethylaminoethyl diphenylacetate hydrobromide was determined by the Patterson and Fourier methods from three-dimensional X-ray counter data. The material crystallizes in the monoclinic space group Cc with four molecules in the unit cell. The cell dimensions are $\alpha=8.394$ A, b=32.10 A, c=7.428 A, $\beta=93.06^\circ$.

The structure was determined by the block-diagonal least-square method to a value of R=0.102. The crystal structure has been solved as a part of program on the correlation between molecular configuration and pharmacological activity. The nature of the pharmacological activity of the compound was explained by comparing its structure with those of acetylcholine and arpenal.

ЛИТЕРАТУРА

- 1, R. Miesher, K. Hoffmann, Helv. Chim. Acta, 24, 458 (1941).
- 2. D. W. J. Cruickshank, "Computing Methods and the Phase Problem in X-ray Analisys". Paper 6, Oxford, 1961.
- 3. Р. Л. Авоян, Э. Р. Аракелова, А. А. Аветисян, Э. Г. Арутюнян, Арм. хим. ж., 25, 702 (1972).
- 4. Р. Л. Авоян, Э. Р. Аракелова, Э. Г. Арутюнян, Арм. хим. ж., 26, 713 (1973).
- «Арпенал и опыт его клинического применения», под ред. А. Л. Миджояна, Изд. АН Арм. ССР, Ереван, 1969.
- 6. Н. Г. Бокий, Ю. Т. Стручков, Д. Н. Кравцов. Е. М. Рохлина, ЖСХ, 14, 291 (1973).
- 7. В. И. Андрианов, З. Ш. Сафина, Б. Л. Таркопольский, «Рентген-75». Автоматизнрованная система программ для расшифровки структур кристаллов, ОИХФ АН СССР, 6 1975.
- 8. E. G. Cox, D. W. J. Cruickshank et al., Proc. Roy. Cos., A, 247, 1 (1958).
- L. Pauling, Nature of the Chemical Bond, Cornel University Press, 3d edition, 1960.
- 10. B. Pullman, Ph. Courrière, F. L. Coubells, Molecular Pharmacology, 7, 397 (1971).
- 11. E. G. Canepa, P. Pauling, H. Sorum, Nature, 210, 907 (1966).
- 12. F. Jellinek, Acta Cryst., 10, 277 (1957).
- 13. Р. Л. Авоян, А. А. Аветисян, Э. Р. Аракелова, Биол. ж. Армении, 25, 11 (1972).

XXXI, № 12, 1978

УДК: 541.1+531.1+541.128

ВЛИЯНИЕ ИОНОВ Ag+ И Cu²⁺ НА КИНЕТИКУ И МЕХАНИЗМ ОКИСЛЕНИЯ АМИНОСПИРТОВ ПЕРСУЛЬФАТОМ КАЛИЯ

Т. Т. ГУКАСЯН, Р. П. МХИТАРЯН и Н. М. БЕЙЛЕРЯН

Ереванский государственный университет

Поступило 3 11 1978

Изучено каталитическое влияние нонов Ag^+ и Cu^{2+} на кинетику реакции персульфата калия с диэтиламиноэтанолом в водных растворах, в атмосфере взота и на воздухе при разных температурах.

Показано, что в присутствии кислорода реажція протекает медленнее, чем в его отсутствие. На основании данных по измерению скорости поглощения кислорода реакционной системой сделано заключение о том, что в присутствии Cu^{2+} реакция протекает параллельно по радикальному и по нерадикальному механизмам, в то время как в присутствии Ag^+ реакция имеет в основном радикальный характер.

Рис. 3. табл. 1. библ. ссылок 5.

В работе [1] было показано, что системы амин—персульфат являются эффективными инициаторами для радикальной полимеризации. Известно, что аминоспирты в значительно большей степени увеличивают скорость распада персульфата калия, чем соответствующие амины [2, 3]. Кроме того, в [4] было установлено, что катионы переменной валентности (Ме+п) катализируют реакции аминоспирт-персульфат.

С этой точки зрения интересно выяснение механизма действия Ме^{+п} на кинетику указанного класса окислительно-восстановительных реакций.

В данной работе нами изучено влияние ионов Ag^+ и Cu^{2+} на кинетику реакции $S_2O_2^- + Et_2NC_2H_4$ —ОН в водных растворах как на воздухе, так и в инертной атмосфере. На рис. 1 приведены кинетические кривые расходования $S_2O_2^{--}$ в присутствии различных концентраций Cu^{2+} .

Изучение концентрационной зависимости скорости расходования $S_2O_8^{-}$ от $[P]_0$, $[A]_0$ и $[Me^{+\pi}]_0$ привело к следующим выражениям закона суммарной скорости:

$$W_{Cu^{2+}} = \frac{K' [Cu^{2+}]_0}{b + c [Cu^{2+}]} [P] [A]$$
 (1)

(При $[Cu^{2+}]_0 \gg 1 \cdot 10^{-4} \cdot 2 \cdot uon/A$ с $[Cu^{2+}]_0 \gg q$) и

$$W_{Cu^{2+}} = K_{Cu^{2+}}[P][A]$$
 (2)

$$W_{Ag^{+}} = K''[Ag^{+}]_{0}[P][A]$$

$$W_{Ag^{+}} = K_{Ag^{+}}[P][A]$$
(3)

Температурная зависимость $K_{{\rm Cu}^{2+}}$ и $K_{{\rm Ag}^{+}}$ приведена в таблице.

Таблица

Условия опытов

	<i>T</i> , °K						
K _{Meⁿ⁺} , M ⁻¹ мин ⁻¹	293	298	303	308	E_{N_3} , $\kappa \kappa a \lambda / \kappa o \lambda b$	Е _{в∞а.} , кка л моль	$\begin{bmatrix} E_{N_n} \\ Me^{+n} = 0 \end{bmatrix}$
K _{Cu²⁺}	15,8	26,2	38,9	63,3	11,5	16,1	17,5
KAg+	1-	10,25	16,75	24,0	13,7	14,6	17,5

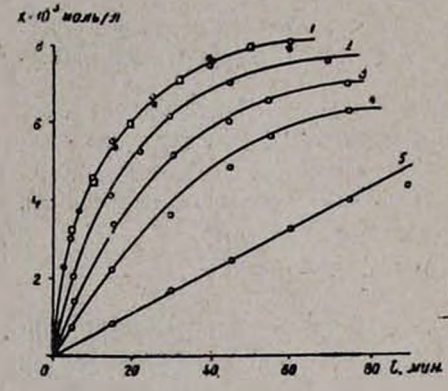


Рис. 1. Влияние Cu^{2+} на скорость реакции. Условия опытов: $[A]_0 = [P]_0 = 0.02$ моль/л, $t = 20^{\circ}C$ 1. $O = [Cu^{2+}]_0 = 1 \cdot 10^{-4}$ г·ион/л, $- [Cu^{2+}]_0 = 2 \cdot 10^{-4}$ г·ион/л, $- [Cu^{2+}]_0 = 3 \cdot 10^{-4}$ г·ион/л, 2. $[Cu^{2+}]_0 = 0.5 \cdot 10^{-4}$ г·ион/л; 3. $[Cu^{2+}]_0 = 1 \cdot 10^{-5}$ г·ион/л; 4. $[Cu^{2+}]_0 = 1 \cdot 10^{-6}$ г·ион/л; 5. $[Cu^{2+}]_0 = 0$

Из результатов, полученных в атмосфере N_2 , следует, что $(-d (S_2O_8^-]/dt)_{A_n^+} > (-d [S_2O_8^-]/dt)_{C_n^{-2+}}$

Однако несмотря на то, что $E_{\rm norm}^{{\rm Cu}^2+} > E_{\rm norm}^{{\rm Ag}^+}$, тем не менее на воздухе каталитическая активность ${\rm Cu}^{2+}$ больше, чем ${\rm Ag}^+$ (рис. 2). Из рис. 2 следует также, что в присутствии ${\rm Ag}^+$ средняя длина кинетической цепи больше, чем в присутствии ${\rm Cu}^{2+}$. Надо подчеркнуть, что в случае аминов, не содержащих ОН групп, на воздухе каталитическая активность ${\rm Ag}^+$ больше каталитической активности ${\rm Cu}^{2+}$ [5]. Для понимания причины обращения каталитической активности ${\rm Me}^{n+}$ в присутствии кислорода нами определена скорость поглощения кислорода системами

$$S_2O_8 + Et_2NC_2H_4OH + Cu^{2+} \times S_2O_8 + Et_2NC_2H_4OH + Ag^+$$

Из рис. 3 следует, что природа Меⁿ⁺ практически не влияет на скорость поглощения кислорода указанными системами.

При допущении, что О₂ поглощается только лишь аминоспиртовыми радикалами (A·), можно полагать, что

$$K[O_3][A]_{Cn^{2+}} = K'[O_3][A]_{Ag^+}$$

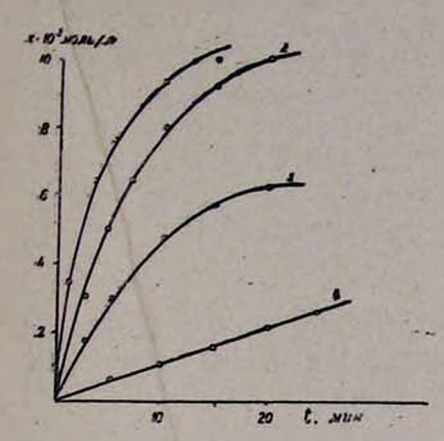


Рис. 2. Скорость реакции в азоте и на воздухе в присутствии: ионов Ag^+ и Cu^{2+} . Условия опытов: $[A]_0 = [P]_0 = 0.02$ моль/л. $[Ag^+]_0 = [Cu^{2+}]_0 = 1 \cdot 10^{-4}$ г чион/л. в азоте на воздухе

1. Ag⁺ 3. Cu²⁺ 2. Cu²⁺ 4. Ag⁺

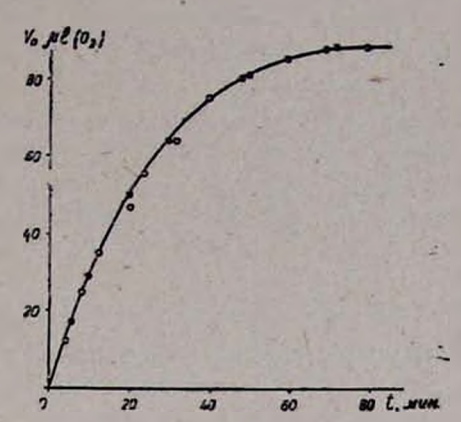


Рис. 3. Скорость поглощения кислорода. Условия опытов: $O - [A]_0 = [P]_0 = 0.02$ моль/л. $\bullet - [Ag^+]_0 = [Cu^{2+}]_0 = 1 \cdot 10^{-4}$ г иок/л. $t = 30^{\circ}$ С. Объем реакционной смеси равек 4 мл.

Для объяснения полученных нами кинетических данных мы предполагаем, что в присутствии Cu^{2+} имеются два пути реакции: нерадикальный и радикально-цепной, а в присутствии Ag^+ реакция носит преимущественно радикально-цепной характер:

$$W_{_{
m Cu}{}^{2+}} = W_{_{
m Hepaa.}} + W_{_{
m paa.-цепкой}}$$
 $W_{_{
m Ag}{}^+} = W_{_{
m paa.-цеп.}}$

На воздухе $W_{\rm pag.-цеп.} \to {}^1\!/_2 W_I$, а в атмосфере $N_{\rm s}$ благодаря тому, что $\bar{\nu}_{\rm Ag}^{\ +} > \bar{\nu}_{\rm Cu}^{\ 2+}$, получается

$$\left(-\frac{d\left[S_{2}O_{8}^{-}\right]}{dt}\right)_{Ag^{+}}^{N_{2}} > \left(-\frac{d\left[S_{2}O_{8}^{-}\right]}{dt}\right)_{Cu^{2+}}^{N_{2}}$$

Ag+ bվ Cu²+ ԻՈՆՆԵՐԻ ԱԶԴԵՑՈՒԹՅՈՒՆԸ ԿԱԼԻՈՒՄԻ ՊԵՐՍՈՒԼՖԱՏ ԴԻԷԹԻԼԷԹԱՆՈԼԱՄԻՆԻ ՌԵԱԿՑԻԱՅԻ ԿԻՆԵՏԻԿԱՅԻ ԵՎ ՄԵԽԱՆԻԶՄԻ ՎՐԱ

P. S. ՂՈՒԿԱՍՅԱՆ, Ռ. Պ. ՄԽԻԹԱՐՅԱՆ և Ն. Մ. ԲԵՅԼԵՐՅԱՆ

Ջրային լուծույթում օդում և ազոտի մթնոլորտում ուսումնասիրված է Cu²÷-ի և Ag+-ի կատալիտիկ ազդեցությունը պերսուլֆասով դիէթիլամինաէթանոլի օջսիդացման արագության վրա։ S_{n-1} է տրված, որ ազոտի մβնոլորտում ավելի մեծ է Ag^+ -ի, իսկ օդում՝ Cu^{2+} -ի կատալիտիկ ազդեցությունը, Ag^+ -ը և Cu^{2+} -ը գործնականորեն հավասարապես են ազդում $S_2O_-^+ + Et_2NC_2H_4OH$ ռեակցիոն խառնուրդի կողմեց ββվածնի կլանման արագության վրա։ Ենթադրված է, որ Cu^{2+} -ի ներկայությամբ հիշյալ ռեակցիան ընթանում է ինչպես ոչռադիկալային, այնպես էլ ռադիկալային շղթայական մեխանիզմով, իսկ Ag^+ -ի ներկայությամբ ռեակցիան հիմնականում ունի ռադիկալային-շղթայական բնույթ։

THE INFLUENCE OF Ag⁺ and Cu²⁺ IONS ON THE KINETICS AND MECHANISM OF THE OXYDATION OF AMINOALKOHOLS BY POTASSIUM PERSULPHATE

T. T. GHOOKASSIAN, R. P. MKHITARIAN and N. M. BEYLERIAN

The catalytical effect of Ag⁺ and Cu²⁺ ions on the reaction kinetics of potassium persulphate with diethanolamine in the presence of oxygen and nitrogen has been investigated.

It has been concluded from experimental data that in the presence of Cu²⁺ was the reaction proceeds both through radical and non-radical mechanisms, while the radical route predominates in the presence of Ag⁺ ions.

ЛИТЕРАТУРА

1. О. А. Чалтыкян, Н. М. Бейлерян, Изв. АН Арм.ССР, 14, 203 (1961).

2. А. Г. Хачатрян, Н. М. Бейлерян, О. А. Чалтыкян, Арм. хим. ж., 23, 485, (1970).

3. О. А. Чалтыкян, Н. М. Бейлерян, Изв. АН Ары.ССР, 14, 197, (1961).

4. Н. М. Бейлерян, О. А. Чалтыкян, Т. Т. Гукасян, ДАН Арм.ССР, 35, 37, (1968).

5. Н. М. Бейлерян, Дж. Г. Чимаритян, О. А. Чалтыкян, ДАН Арм.ССР, 15, 103 (1972).

XXXI, № 12, 1978

УДК 547.314.2'361.2:66.095.262.1

ИЗУЧЕНИЕ ЭЛЕМЕНТАРНЫХ АКТОВ В ПРОЦЕССЕ ПОЛИМЕРИЗАЦИИ ВИНИЛАЦЕТИЛЕНА

С. Т. БАРСАМЯН и Э. Т. ПОГОСЯН

Научно-производственное объединение «Наирит», Ереван

Поступило 9 XII 1977

На основании динамического подхода к термодинамическим исследованням предлагается более эффективный расчет мольной и элементарной энергий активации процесса полимеризации, что позволяет оценить разные элементарные акты в ходе полимеризации. На примере полимеризации винилацетилена показана регулирующая роль акта димеризации с энергетической точки эрения.

Рис. 4, библ. ссылок 12.

Блочная полимеризация представляет собой экзотермический процесс и выделенная теплота при ее радикальном механизме равна разности между энергней образования двух углеродных о связей и энергией разрыва п связей [1].

Целью настоящей работы является точное определение этой энергии, что очень важно не только для тщательного регулирования процесса полимеризации или свойств полученного полимера, но и создания безопасной технологии: ведь не единичны аварийные случаи в производстве винилацетилена [2, 3].

Энергия активации мономера в процессе полимеризации оценивается из температурной зависимости скорости реакции (аррениусовский подход), которая в настоящее время определяется в условиях изотермы, адиабаты или адиабато-изотермы [1, 4, 5]. Следует отметить недостаточность этих методов. Во-первых, при вышеизложенных условиях поли: меризация сопровождается технически неустранимым значительным разогревом смеси, во-вторых, при «малоинерционных» условиях [5] определяемые скорости, а затем относительная активность мономера не позволяют определить искомую энергию. Однако по Аррениусу увеличение скорости (w) реакции первого порядка с температурой (T) характеризуется логарифмической производной w от T [6] и, следовательно, чем больше эта производная, тем больше величина энергии активации

$$E = RT^2 \frac{d \ln w}{dT} \tag{1}$$

где R-универсальная газовая постоянная.

Величиной Е можно характеризовать процесс первого порядка при данной температуре, что является основой аррениусовского подхода для «активированного комплекса» в реакционной среде [7]. Процессы не первого порядка при вышеуказанных методах, безусловно, являются суммой различных элементарных актов, и, на наш взгляд, метод динамического линейного нагрева в этом случае более целесообразен исходя из следующих соображений.

- 1. В ходе динамического эксперимента до образования полимера в определенные интервалы температур мономер претерпевает превращения, характеризуемые реакциями первого порядка, об интенсивности которых можно судить оценкой E по зависимости (1).
- 2. В изотермическом режиме до установления требуемой температуры (T_1) реакционной среды мономер подвергается различным превращениям, энергия активации которых приписывается суммарной энергии полимеризации с учетом всех молекул мольного объема при этой температуре. В этом случае не учитывается доля молекул, ответственных за тепло, выделенное при данном изотермическом процессе (Т1), тогда как по формуле (1) энергия учитывает участие в превращении всех Nмолекул в мольном объеме. На наш взгляд, это тепло ошибочно считается критерием для определения скорости полимеризации особенно в жидкой среде [5], т. к. при данном изучаемом интервале температур может быть допустим не рост уже образованной цепи, а пока димеризация, инициирование или другой элементарный акт, тем более, если интервал температуры намного ниже, чем интервал интенсивного полимеризационного процесса. Следовательно, динамический подход дает возможность выявить интервал температур элементарных актов в полном цикле превращений от мономера до полимера.
- 3. Для получения температурной зависимости скорости реакции требуется всего один опыт, тогда как при изотермическом методе для каждой температуры необходим отдельный опыт. Таким образом, при динамическом режиме нагрева исключаются возможные экспериментальные неточности.

Из вышеизложенного следует, что задача сводится к получению динамической температурной зависимости скоростей реакций в ходе превращения мономера в полимер.

При этом реакционная среда нагревается по закону

$$T_1 = T_3 + vt \tag{2}$$

где v—скорость линейного нагрева (г/мин), t—время нагрева (мин).

. С другой стороны, в зависимости от теплоемкости С реакционной системы с учетом нагрева и тепловыделения скорость изменения температуры этой среды будет

$$v_{\rm c} = Qw \tag{3}$$

$$Q = \frac{C}{G} (T_1 - T_0) \tag{4}$$

где Q — теплота, необходимая для данного химического превращения, протеквющего со скоростью

$$w = \frac{dG}{dt} \tag{5}$$

где G—доля превращенного вещества (или промежуточного продукта, в частности полимера) от общего количества мономера.

Необходимо отметить, что даже при линейном нагреве (ур. 2) температура реакционной среды может меняться нелинейно из-за действия закона (3). Поскольку можно найти интервалы T_1 — T_0 на кривой T от t (времени), отвечающие закону (2), то для этих интервалов считаем справедливым заменить v на v_c в ур. 2

$$T_1 = T_0 + v_c t, \tag{6}$$

Далее из уравнений (5) и (6) получим

$$w = \frac{dG}{d(\Delta T)} v_{c} \tag{7}$$

и из температурной зависимости вычисляем $d \ln w$, пригодное для расчета E по формуле (1).

Согласно кауцмановскому подходу [8], с учетом вероятности завершения процесса превращения со стороны «активированного комплекса» относительная доля молекул, превращенных в полимер, выражается зависимостью

$$\frac{dN_1}{N_{A/2} - N_1} = \frac{-e_1}{e^{kT_1}}. (8)$$

где $N_{A/2}$ — число пар молекул в мольном объеме реакционной среды- $(N_A$ — число Авогадро); N_1 — число превращенных пар молекул с элементарной энергией активации ϵ_1 при данной температуре; k — постоянная Больцмана.

Легко заметить, что при логарифмировании уравнение (8) примет вид

$$\varepsilon_1 = -kT_1 \ln \frac{dG}{1 - G} \tag{9}$$

В итоге для N_1 получим уравнение

$$N_1 = \frac{E_1}{\varepsilon_1} \tag{10}$$

определяющее участвующее в процессе количество пар молекул в мольном объеме при данной температуре (T_1) , где E_1 —энергия, необходимая для данной глубины превращения в мольном объеме, оцениваемая по формуле 1. Однако E_1 никак не означает энергии активации всего моль-

Армянский химический журнал, ХХХІ, 12-2

ного объема и, как показывает формула 10, зависит от количества пре-

вращенной массы.

Таким образом, формула (9) позволяет рассчитать энергию активации элементарного акта при данной температуре реакционной системы, а формула (1)—для мольного объема с учетом доли данного элементарного акта в нем, если имеется возможность динамическим экспериментом отделить долю превращенного продукта (G) в реакционной среде. В результате, когда при широком интервале температур реализуется полное превращение мономера в полимер, будем иметь

$$N_{A/2} = \sum_{i=1}^{n} N_i \tag{11}$$

где п-количество актов превращений в полном цикле полимеризации. Установка для такого динамического метода представляет собой электрическую печь, в которую вмещаются несколько гильз, герметично закрывающихся предохранительным разрывным диском, выдерживающим внутреннее давление до 150 атм. Печь обеспечивает определенный линейный нагрев гильз при отсутствии каких-либо термических эффектов реакционной среды. Автоматически записывающая система снимает временные зависимости температур реакционной среды и инерционной гильзы (температуру печи). Это позволяет определить характерные для изучаемой реакции температурные интервалы и рассчитать для них скорость нагрева по формуле (6). Тем самым удается обнаружить эндо- и экзотермические эффекты реакционной среды. Точность измерения температур 1,5%. Для определения доли превращенных продуктов содержимое гильз через определенные интервалы температур подвергается количественному хроматографическому анализу, что обеспечивает точность в 0,5% при полном заполнении гильзы емкостью 5,3 см3. Далее строится температурная зависимость концентраций превращенных продуктов.

Ниже приводятся результаты исследования процесса полимеризации винилацетилена. Изучение процесса полимеризации жидкого винилацетилена в замкнутой системе преследует также прикладную цель (с точки зрения его «термостойкости»). В производстве хлоропрена из ацетилена в аварийных случаях винилацетилен подвергается динамическому режиму нагрева и его «оптимальное» ингибирование имеет первостепенное значение.

Благодаря наличию двойной связи в сопряжении с тройной, молекула винилацетилена очень активна к полимеризации по радикальному механизму с тепловыделением [9]. Начальным актом полимеризации без катализатора при нагреве винилацетилена и при высоких давлениях является димеризация с образованием циклобутановых соединений по механизму

Наличие циклобутановой структуры подтверждено данными ИК спектров (характерные пики в областях 910 и 1600 с.и - 1). Ранее показано [10], что экзотермический эффект акта (I) (димеризации) Q=80 ккал/моло намного превосходит тепловыделение от последующих актов.

Последующие акты превращения димера в полимер с переходом циклобутана в циклобутен следующие:

Ниже описывается ход эксперимента. 75—80% сбъема гильз заполнялось винилацетиленом чистотой 99.67 вес. % и нагревалось. Наблюдаемое (рис. 1) некоторое отступление (на 10—13°) температуры реакционной среды (кр. 2) от температуры стенки сосуда (кр. 1), по-видимому, вызвано теплопередачей от стенки к реакционной среде.

При температурах реакционной среды 53, 66, 80, 94, 109, 118, 123, 127° из отдельных гильз брались пробы для определения состава реакционной среды. Хроматографом типа ЛХМ-8 МД определялось количество винилацетилена. Выпариванием определялось количество димера. Оставшаяся в гильзе высококипящая темно-желтая вязкая масса представляла собой полимер. Расхождение в результатах трех опытов по концентрациям компонентов незначительное (~0,5%).

На рис. 2 представлены кривые динамического хода изменения концентраций винилацетилена (кр. 1), димера (кр. 2) и полимеров (кр. 3) в реакционной среде. По концентрационным данным димера и полимера при помощи формул (6) и (7) определены соответствующие скорости димеризации и полимеризации винилацетилена, а затем по формуле (1)—энергии мольного объема этих актов, температурная зависимость которых приведена на рис. 3.

По левой ветви кривой (рис. 3, кр. 1) димеризации видно, что нагрев приводит к снижению энергетического барьера превращения винилацетилена в димер. С 90° этот спад более интенсивен, а с 115° переходит в отрицательную область энергий, что свидетельствует о тепловыделении и экзотермическом ходе акта димеризации(I), т. к. в этом интервале температур (90—127°) образуется основное количество димера (рис. 2, кр. 2). Далее, по-видимому, выделенное тепло полимера расходуется на образование циклобутена (акт II) и затем полимера (акт III),

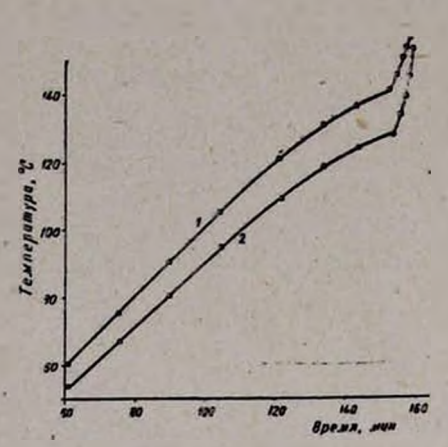


Рис. 1. Кривые зависимости температур печи (1) и реакционной среды (2) от времени нагрева.

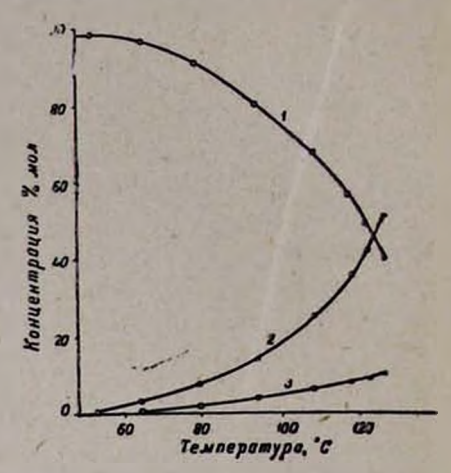


Рис. 2. Кривые, зависимости концентрации винилацетилена (1), димера (2) и полимеров (3) от температуры реакционной среды.

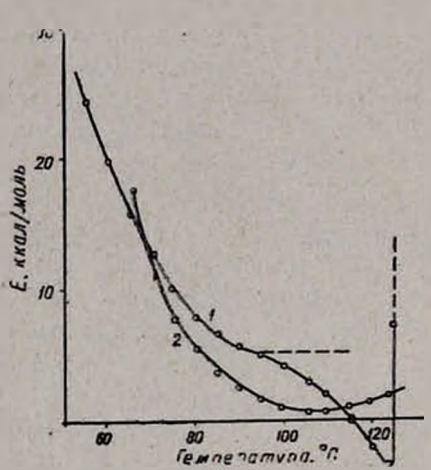


Рис. 3. Кривые температурной завимости мольной энергии активации актов димеризации (1) и полимеризации (2).

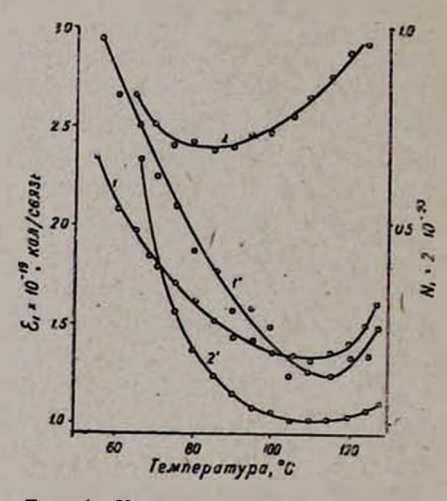


Рис. 4. Кривые температурных зависимостей элементарной энергии активации актов димеризации (1), полимеризации (2) и числа молекул (1', 2') в мольном объеме среды.

количество которого растет в области 127°. В этой области растет и Е (правая ветвь, рис. 3, кр. 2), однако образованный полимер винилацетилена (циклобутены) и другие продукты при этих температурах подвергаются разложению [10, 11] также с экзотермическим эффектом. Подтверждением этого является резкий рост температуры начиная с 127° (рис. 1, кр. 2), способствующий нагреву стенки сосуда (кр. 1) и в конечном итоге приводящий к взрыву и выбрасыванию из гильз обугленной массы. Следовательно, правая ветвь зависимости Е (кр. 1) не может ха-

рактеризовать изучаемый акт (1), т. к. значения энергий этой области (выше 127°) рассчитаны по значениям температур, связанным с другим конкурирующим актом, превосходящим по тепловому эффекту, превалирующему I акт. Температурная зависимость энергии активации элементарного акта димеризации (рис. 4, кр. 1), рассчитанная по формуле (9), полтверждает вышеизложенный результат-снижение барьера димеризании с нагревом среды. Однако этот барьер существует и тогда, когда Е отрицательная. Такая закономерность в согласуется с термодинамическими представлениями элементарных химических актов [7]. Указанный экзотермический эффект димеризации влияет также на интенсивность последнего (III) акта-роста цепи $(n \ge 2)$, несмотря на то, что он протекает с незначительной энергией E (рис. 3, кр. 2) по сравнению с димеризационной [9, 10]. Об интенсивности I и III актов можно судить также по температурной зависимости (рис. 4) числа молекул винилацетилена, участвующих в прощессах димеризации (кр. 1) и роста цепи (кр. 2), рассчитанных по формуле (10).

В процессе эксперимента было установлено, что при выдержке при 135° через 60—70 мин. все гильзы взрываются, что имеет место также при продолжении нормального нагрева стенки сосуда до 140°. Содержание же полимеров в системе на пороге взрыва составляет 50—51% взятого винилацетилена. Эта закономерность подтверждается результатами, полученными Франк-Каменецким [12] при исследовании полимеризации ацетилена, также протекающей по аналогичному механизму, а также тем, что сумма молекул винилацетилена, участвующих в I и III актах, рассчитанных по кривым рис. 4 на мольный объем, составляет ~50% числа Авогадро (~40% участвующих в димеризации и ~10% в полимеризации).

Таким образом, предложенный динамический метод исследования показал, что процесс полимеризации винилацетилена протекает с интенсивным тепловыделением. При высоких температурах этот окзотермический эффект приводит к автокаталитическому механизму реакции, в котором основную роль играет акт димеризации. В этом процессе закономерным является и тот факт, что в предшествующей взрыву реакционной системе содержится ~50% полимера.

Предполагается, что последнее можно исключить химическим ингибированием или усилением теплоотвода во время интенсификации акта димеризации, поскольку этими способами нам удалось снизить бурный автокаталитический рост скорости на 50% границе и довести систему до предельной полимеризации.

ՏԱՐՐԱԿԱՆ ԱԿՏԵՐԻ ՈՒՍՈՒՄՆԱՍԻՐՈՒԹՅՈՒՆԸ ՎԻՆԻԼԱՑԵՏԻԼԵՆԻ ՊՈԼԻՄԵՐՄԱՆ ՊՐՈՑԵՍՈՒՄ

Ս. Ք. ԲԱՐՍԱՄՅԱՆ և Է. Տ. ՊՈՂՈՍՅԱՆ

Թերմոդինամիկական հետազոտությունների դինամիկական մոդելացման հիման վրա առաջարկված է պոլիմերման մոլային և տարրական պրոցեսների ակտիվացման էներգիաների ավելի էֆֆեկտիվ հաշվարկի եղանակ, որը Հնարավորություն է տալիս գնահատելու մոնոմերի պոլիմերման ռեակցիայի ընթացքում հանդես եկող տարբեր տարրական ակտերը։

Վինիլացետիլենի պոլիմերման օրինակի հիման վրա էներգետիկ տես-

արիկուրին ձույն է անվին ժիղընկորը արաի իանժավանամ ժրևն։

INVESTIGATION OF ELEMENTARY ACTS IN THE VINYLACETYLENE POLYMERIZATION PROCESS

S. T. BARSAMIAN and E. T. POGHOSSIAN

A more effective calculation method of molar and elementary polymerization process activation energies has been proposed on the basis of a dynamic approach to thermodynamic investigations, permitting the evaluation of different elementary acts encountering during polymerization.

The regulating role of the dimerization act from an energetic viewpoint has been shown on the example of vinylacetylene polymerization.

ЛИТЕРАТУРА

- 1. Н. Н. Семенов, О некоторых проблемах хим. кинетики и реакц. способности, Изд. АН СССР. М., 1958, стр. 79.
- 2. J. Buehler, R. Freeman, R. Keister, M. Mc. Cready, B. Pesetsky, D. Watters, Chem. Engin., v-77, No. 19, p. 77, 1970.
- 3. G. Ritzel, W. Berthold, Ch. Ind. Techn., 45, T-3, 131, 1973.
- 4. Г. В. Королев, Б. В. Павлова, А. А. Берлин, ВМС, 1, 1936 (1959).
- 5. Г. В. Королев, Пластмассы, № 3, 51 (1963).
- 6. Н. М. Эмануель, Д. Кнорре, Курс хим. кинетики, Изд. 3, М., 1974, стр. 49.
- 7. С. Глесстон, К. Лейдлер, Г. Эйринг, Теория абсолютных скоростей реакций, ИЛ, М., 1948, стр. 583.
- 8. W. Kauzmann, Rev. Mod. Phys., 14, 12 (1942).
- 9. H. Nelson, VI Simposium Comb. (Intern.), 825 (1957).
- 10. H. Dykstra, J. Am. Chem. Soc., 56, 1625 (1934).
- 11. T. Ikegamy, The Rev. of Ph-Ch. of Jap., T-33, No 1, 15, 1963.
- 12. Д. А. Франк-Каменецкий, Термич. реакции ацетилена, ЖФХ, 18, вып. 9, 329 (1944)_

XXXI. № 12, 1978

ОРГАНИЧЕСКАЯ ХИМИЯ

УЛК 542.921 +547.33'34+547.435

ПОСЛЕДОВАТЕЛЬНОСТЬ РЕАКЦИЙ СТИВЕНСОВСКОЙ ПЕРЕГРУППИРОВКИ И ДЕГИДРОХЛОРИРОВАНИЯ СОЛЕЙ ДИАЛКИЛ (3-ХЛОР-2-БУТЕНИЛ) КАРБАЛКОКСИ-МЕТИЛАММОНИЯ ПОД ДЕЙСТВИЕМ ЭФИРНОЙ СУСПЕНЗИИ АЛКОГОЛЯТА НАТРИЯ

С. М. ОГАНДЖАНЯН, С. Т. КОЧАРЯН и А. Т. БАБАЯН Институт органической химии АН Армянской ССР, Ереван Поступило 23 V 1978

Установлено, что при взаимодействии бромистой соли диметил (3-хлор-2-бутенил)карбалкоксиметиламмония с эфирной суспензией метилата натрия сначала имеет место 3,2-перегруппировка Стивенса, а затем—дегидрохлорирование с образованием эфира 2диалкиламино-3-метил-2,4-пентадиеновой кислоты.

Библ. ссылок 1.

Ранее сообщалось [1], что аммониевые соли, содержащие наряду с карбалкоксиметильной группой 2-бутинильную (I) или 3-хлор-2-бутенильную (II) группу, под действием соответствующего алкоголята натрия в эфире подвергаются перегруппировке с образованием эфиров 2-диалкиламино-3-метил-2-4-пентадиеновой кислоты (III). Образование одного и того же конечного продукта из солей I и II свидетельствовало о том, что в случае соли II наряду с перегруппировкой имеет место также дегидрохлорирование по схеме 1, включающей две возможные последовательности для этих реакций.

Настоящее сообщение посвящено выяснению последовательности $_{\rm 5}$ этих реакций на примере соли $_{\rm 1}$ ($_{\rm 8}$ = $_{\rm 6}$ $_{\rm 6}$).

Можно было ожидать, что при применении эквимольного количества метилата натрия в случае пути (а) удасться зафиксировать образование хлорсодержащего аминоэфира IV. И действительно, в указанных условиях из соли IIа образуются хлорсодержащий продукт (в основном), дигновый аминоэфир IIIа и следы алленового аминоэфира Va. Однако в ИК спектре продуктов наряду с поглощением 1645 см⁻¹, характерным для концевой винильной группы, имеется и поглощение 1670 см⁻¹ трехзамещенной двойной связи, что можно объяснить частичной аллильной изомеризацией первоначально образовавшегося хлорсодержащего продукта IVa в соединение VIa по схеме 2.

$$\begin{array}{ccc} CH_3 & CI & CH_3 \\ (CH_3)_2NCHC-CH=CH_2 & \longrightarrow & (CH_3)_2NCHC-CHCH_2CI & (2) \\ \hline COOCH_3 & COOCH_3 & \\ (IVa) & (VIa) \end{array}$$

Экспериментальным подтверждением этого предположения является превращение смеси хлорсодержащих продуктов IVa и Vla в сопряженный диеновый аминоэфир IIIa под действием водно-спиртового раствора едкого кали.

IVa
$$\xrightarrow{\overline{O}H}$$
 (CH₃)₂NC=C-CH=CH₃ $\xrightarrow{\overline{O}H}$ VIa (3)

COOCH₃

По данным элементного анализа, молярное соотношение хлорсодержащих продуктов (IVa и VIa) и сопряженного диенового аминоэфира (IIIa) в продуктах реакции равно 1,5:1.

Для выяснения пути образования сопряженного диенового аминоэфира IIIа нами изучалась перегруппировка соли Іа в присутствии эквимольного количества метилата натрия. Продуктами реакции оказались алленовый (Va) и сопряженный диеновый (IIIa) аминоэфиры. Согласно ГЖХ, процентное соотношение этих продуктов в смеси составляет 70 и 30, соответственно. Таким образом, в этом случае основным продуктом является алленовый аминоэфир (Va). Как уже указывалось, в случае соли IIa образуются лишь следы алленового эфира (Va). Эти результаты дают нам основание считать, что в случае соли IIa образование IIIa происходит по пути (a) схемы 1.

Для выделения алленового эфира (Va) смесь подвергалась кислотной обработке, при этом из IIIa образуется кетоэфир VIIa [1].

IIIa
$$\xrightarrow{H^+}$$
 $CH_3CH=C-C-COOCH_3$ (4)

(VIIa)

Обычной обработкой выделялся алленовый аминоэфир Va, который очень легко подвергается изомеризации в IIIa под действием щелочи. Это находится в согласии с результатами перегруппировки солей I в присутствии избытка щелочи, приводящей исключительно к эфиру III [1].

Экспериментальная часть

Для снятия спектров использовали ЯМР спектрометр «Perkin Elmer R-12B» (ПМР, 60 M2 μ), ИК спектрометр UR-20. ГЖХ проведено на приборе «Хром-31» (колонка—апиезон 5%, твин 10% на целите, скорость Не 60—80 M2 μ 4 μ 6 μ 6 μ 7.

Взаимодействие хлористого диметил (3-хлор-2-бутенил) карбметоксиметиламмония (II) с метилатом натрия. К 12,1 г (0,05 моля) солн I в 50 мл абс. эфира при перемешивании по порциям добавлялось 0,05 моля метилата натрия. После окончания экзотермической реакции смесь 5 мин. нагревается при 30—35°, затем добавляется дистиллированная вода. Эфирный слой отделяется и высушивается над сульфатом магния. Перегонкой получено 5,9 г смеси метиловых эфиров 2-диметиламийо-3-хлор-3-метил-4-пентеновой (IVa), 2-диметиламино-3-метил-5-хлор-3-пентенсвой (VIa) и 2-диметиламино-3-метил-2,4-пентадиеновой (IIIa) кислот с средним мол. весом 192*, т. кип. 68—76°/5 мм. Найдено %: С 58,01; Н 8,27; СІ 11,41; N 7,40. ИК спектр. см-1:1640, 3095 (несопряженная концевая двойная связь), 1590, 1620, 3095 (сопряженная диеновая группировка), 1725, 1745 (сопряженная и несопряженная карбонильные группы), 1670 (замещенная двойная связь).

Титрованием реакционного остатка установлено образование 0,323 гат ионного хлора на моль исходной соли.

Взаимодействие смеси эфиров IIIa, IVa и VIa с водно-спиртовым раствором КОН. К 2 г (0,0104 моля) смеси эфиров IIIa, IVa и VIa добавляется 2,5 мл 4 н водно-спиртового раствора едкого кали. Реакционная колба встряхивается и через 5 мин. добавляется эфир и дистиллированная вода. Перегонкой эфирного экстракта получено 1,3 г (76%) аминоэфира IIIa с т. кип. 78—80°/10 мм, пр 1,4980 [1].

Титрованием водного слоя установлено образование 0,647 *г-ат* нонного хлора на моль исходной смеси.

Перегруппировка хлористого диметил (2-бугинил) карбметоксиметиламмония (Ia) под действием эквимольного количестви метилата натрия. Аналогично предыдущему опыту из 10,2 г (0,05 моля) соли Іа и 0,05 моля метилата натрия получено 5,5 г (65%) смеси метиловых эфиров 2-диметиламино-3-метил-2,4-пентадиеновой (IIIa) [1] и 2-диметиламино-3-метил-3,4-пентадиеновой (Va) кислот, соотношение которых (по ГЖХ) в смеси составляет 30 п 70%, соответственно.

[•] Определено по данным элементного анализа.

4 г смесн (IIIа н Va) подкисляются 3κ водным раствором соляной кислоты. Через полчаса реакционная смесь экстрагируется эфиром. Эфирная вытяжка высушивается над сульфатом магния и перегоняется. Получено 0.8 г (20%) метилового эфира метилэтилиденпировиноградной кислоты, т. кип. $77-79^\circ/7$ мм, n_D^{20} 1.4565 [1]. К остатку добавляется эфир и осторожно $(10-15^\circ)$ обрабатывается бикарбонатом натрия. Пегонкой эфирного экстракта получено 2.4 г (60%) алленового аминоэфира (Va), т. кип. $56-57^\circ/6$ мм, n_D^{20} 1.4660. Найдено %: С 63.65; Н 9.10; N 7.85. Вычислено %: С 63.96; Н 8.87; N 8.28. ИК спектр, см-1: 1980 (аллен. группировка), 1745 (карбонил. группа). Спектр ПМР: 1.72 т $(3H, CH_3C=)$, 2.32 с $(6H, (CH_3)_2)$, 3.53 искаженный т (1H, CH), 3.66 с $(3H, CH_3O)$, 4.7 м $(2H, CH_2)$.

Изомеризация метилового эфира 2-диметиламино-3-метил-3,4-пентадиеновой кислоты (Va) в метиловый эфир 2-диметиламино-3-метил-2,4пентадиеновой кислоты (IIIa). К 1,5 г алленового аминоэфира (Va) добавляется 1 мл 3 н водно-спиртового раствора едкого кали. Смесь взбалтывается 5 мнн., затем добавляется эфир и вода. Перегонкой эфирного
экстракта получено 1,2 г (80%) дненового аминоэфира (IIIa), т. кип.
78—80°/10 мм, про 1,4980 [1].

ԴԻԱԼԿԻԼ(3-ՔԼՈՐ-2-ԲՈՒՏԵՆԻԼ)ԿԱՐԲԱԼԿՕՔՍԻՄԵԹԵԼ ԽՄԹԵՐ
ՊԱՐՈՒՆԱԿՈՂ ԱՄՈՆԻՈՒՄԱՅԻՆ ԱՂԵՐԻ ՍՏԻՎԵՆՍՅԱՆ ՎԵՐԱԽՄՐԱՎՈՐՄԱՆ ԵՎ ԴԵՀԻԴՐՈՀԱԼՈԳԵՆԱՑՄԱՆ ՌԵԱԿՑԻԱՆԵՐԻ
ՀԱՋՈՐԴԱԿԱՆՈՒԹՅՈՒՆԸ ՆԱՏՐԻՈՒՄԻ ԱԼԿՈՀՈԼԱՏԻ
ԵԹԵՐԱՅԻՆ ՍՈՒՍՊԵՆՋԻԱՅԻ ԱԶԴԵՑՈՒԹՅԱՆ ՏԱԿ

U. U. OZULZULBUL, U. S. PAQUEBUL L U. P. PUPUBUL

Տույց է տրված, որ նատրիումի ալկոհոլատի եներային սուսպենզիայի հետ փոխազդելիս դիալկիլ(3-ջլոր-2-բուտենիլ)կարբալօքսիմենիլ խմբեր պարունակող ամոնիումային աղերը նախ եննարկվում են ստիվենսյան 3,2-վերախմբավորման, ապա դեհիդրոհալոգենացման։

SEQUENCE OF THE STEVENS REARRANGEMENT AND DEHYDROHALOGENATION REACTIONS IN DIALKYL-(3-CHLORO-2-BUTENYL)-CARBALKOXYMETHYL AMMONIUM SALTS

S. M. OHANJANIAN, S. T. KOCHARIAN and A. T. BABAYAN

It has been shown that when dialkyl(3-chloro-2-butenyl)-carbalk-oxymethyl ammonium salts are treated with sodium alkoxide in an ether solution the Stevens 3,2-rearrangement takes place followed by dehydro-halogenation.

JUTEPATYPA

1. С. Т. Кочарян, С. М. Оганджанян, А. Т. Бабаян, Арм. хим. ж., 29, 407 (1976).

XXXI, Nº 12, 1978

УДК 547.253.3+547.281.+347.288.2

АЛКИЛИРОВАНИЕ N-БЕНЗИЛКЕТИМИНОВ СТИРОЛОМ

А. Ц. КАЗАРЯН, С. О. МИСАРЯН и Г. Т. МАРТИРОСЯН

Ереванский государственный медицинский институт Научно-производственное объединение «Нанрит», Ереван

Поступило 20 IV 1978

Изучено алкилирование N-бензилиминов вцетона, метилэтилкетона и ацетофенона стиролом в присутствии каталитических количеств натрия. Показано, что если в случае N-бензилимина ацетофенона имеет место исключительное «3+2»-циклоалкилирование, то в случае N-бензилиминов ацетона и метилэтилкетона наблюдается также с-Салкилирование по карбонильной части молекулы и циклоалкилирование алкилирования продуктов.

Библ. ссылок 5.

Недавно нами было установлено, что при алкилировании N-бензилиминов циклических кетонов и альдегидов стиролом имеют место «3+2»циклоалкилирование, α-C-алкилирование и имин-иминная изомеризация [1, 2].

Настоящая статья посвящена изучению взаимодействия N-бензилиминов ацетона, метилэтилкетона и ацетофенона со стиролом в присутствии натрия. Показано, что в случае α-метилбензилиденбензиламина (I) имеет место исключительное «3+2»-циклоалкилирование с образованием 2-метил-2,3,5-трифенилпирролидина (II) с выходом 82%.

$$\begin{array}{c} C_{6}H_{5}CH_{2}N=C-C_{6}H_{5}+CH_{2}=CHC_{6}H_{5} & \xrightarrow{Na} & C_{6}H_{5}CH & C-C_{6}H_{5} \\ CH_{3} & CH_{2}-CH-C_{6}H_{5} \\ \end{array}$$

При переходе к изопропилиден- (III) и 1-метилпропилиден бензиламинам (IV) картина значительно осложняется. Так, при взаимодействии III со стиролом продукт анионного циклоалкилирования—2,2-диметил-3,5-дифенилпирролидин (V) получается с 55% выходом. Наряду с этим из продуктов реакции нами выделены 5-фенилпентанон-2 (VI) (4%), 3-(β-фенилэтил)-5-фенилпентанон-2 (VII) (6%), бензиламин (8%) и 2-метил-2-(γ-фенилпропил)-3,5-дифенилпирролидин (VIII) (12%).

При проведении реакции в бензоле получены V, VI и VII с выходами 52, 5 и 8%, соответственно.

$$C_{e}H_{5}CH_{2}N = C \xrightarrow{CH_{3}} + CH_{2} = CHC_{e}H_{5} \xrightarrow{IN_{8}} C_{e}H_{5}CH \xrightarrow{C-CH_{3}} + CH_{2} = CHC_{e}H_{5} \xrightarrow{IN_{8}} C_{e}H_{5}CH \xrightarrow{C-CH_{3}} + CH_{2} = CHC_{e}H_{5} \xrightarrow{IN_{8}} C_{e}H_{5}CH \xrightarrow{C-CH_{3}} + CH_{2} = CHC_{e}H_{5} \xrightarrow{C-CH_{3}} + CH_{2} = CH_{2} = CH_{3} \xrightarrow{C-CH_{3}} + CH_{2}CH_{2}C_{e}H_{5}$$

$$+ C_{e}H_{5}CH_{2}N = C \xrightarrow{C-CH_{3}} + C_{e}H_{5}CH_{2}N = C \xrightarrow{C-CH_{3}} CH(CH_{2}CH_{2}C_{e}H_{5})_{2}$$

$$+ C_{e}H_{5}CH_{2}NH_{2} + O = C \xrightarrow{C-CH_{3}} CH(CH_{2}CH_{2}C_{e}H_{5})_{2}$$

$$+ C_{e}H_{5}CH_{3}NH_{2} + O = C \xrightarrow{C-CH_{3}} CH(CH_{2}CH_{2}C_{e}H_{5})_{2}$$

Строение VIII доказано данными элементного и ИК спектрального анализов, а также встречным синтезом из 1-метил-4-фенилбутилиденбензиламина (IX) и стирола по схеме

$$C_{0}H_{3}CH_{2}N=C \xrightarrow{(CH_{2})_{3}C_{0}H_{5}} + CH_{2}=CHC_{0}H_{5} \xrightarrow{Na} C_{0}H_{0}CH_{2}CH_{0}CH_{3}$$

$$C_{0}H_{3}CH_{2}N=C \xrightarrow{(CH_{2})_{3}C_{0}H_{5}} + CH_{2}=CHC_{0}H_{5}$$

$$CH_{3}CH_{2}CH_{2}CH_{2}CH_{3}CH_{3}CH_{5}$$

$$CH_{3}CH_{2}CH_{2}CH_{5}$$

Помимо этого, нами осуществлено N-алкилирование V стиролом, в результате чего получен N-(β-фенилэтил)-2,2-диметил-3,5-дифенил-пирролидин (XI) с выходом 53%, который неидентичен с VIII.

$$C_{e}H_{5}CH_{2}CH_{3} + CH_{2}=CHC_{e}H_{5} \xrightarrow{Na} C_{e}H_{5}CH \xrightarrow{C}CH_{2}CH_{2}CH_{3}$$

$$CH_{2}-CH_{3}+CH_{2}=CHC_{e}H_{5} \xrightarrow{Na} CH_{2}-CH_{3}$$

$$CH_{2}-CH_{3}+CH_{2}=CHC_{e}H_{5}$$

$$CH_{2}-CH_{3}+C$$

Аналогично протекает и взаимодействие IV со стиролом. При этом получены 2-метил-2-этил-3,5-дифенилпирролидин (XII) (55%), 2-метил-2-[α -(β -фенилэтил)] этил-3,5-дифенилпирролидин (XIII) (5%), бензиламин (10%) и 3-метил-5-фенилпентанон-2 (XIV) (6%).

$$C_{e}H_{5}CH_{2}N = C - CH_{2}CH_{3} + CH_{2} = CHC_{e}H_{5} \xrightarrow{N_{3}} C_{e}H_{5}CH \xrightarrow{C} C - CH_{2}CH_{3} + CH_{2}CH_{2}CH_{3} + CH_{2}CH_{2}CH_{3} + CH_{2}CH_{3}CH_{3} + CH_{2}CH_{3}CH_{3} + CH_{3}CH_{3$$

Строение XIII доказано взаимодействием 1,2-диметил-4-фенилбутилиденбензиламина (XV) со стиролом, приведшим к XIII (37%), 1,7дифенил-3-метилгептанону-4 (XVI) (21%) и бензиламину (15%).

$$C_{e}H_{5}CH_{2}N = C - CH(CH_{2})_{2}C_{e}H_{5} + CH_{2} = CHC_{e}H_{5} \xrightarrow{Na}$$

$$CH_{3} CH_{3}$$

$$XV$$

$$CH_{3}$$

$$H CH(CH_{2})_{2}C_{e}H_{5}$$

$$C_{e}H_{5}CH C - CH_{2} + C_{e}H_{5}CH_{2}N = C \xrightarrow{(CH_{2})_{3}C_{e}H_{5}} \xrightarrow{1. H^{+}}$$

$$CH_{2}-CH-C_{e}H_{5}$$

$$CH_{3}$$

$$CH$$

Экспериментальная часть

IX и XV получены по [3]. IX (60%), т. кип. 157—162°/1 мм, d_{1}^{20} 0,9996, n_{2}^{20} 1,5610. Найдено %: С 86,65; Н 8,06; N 5,07. $C_{18}H_{21}N$. Вычислено %: С 86,05; Н 8,36; N 5,57. XV (55%), т. кип. 197—200°/5 мм, d_{1}^{20} 0,9892, n_{2}^{20} 1,5531. Найдено %: С 86,27; Н 8,42; N 5,92. $C_{19}H_{23}N$. Вычислено %: С 86,03; Н 8,68; N 5,68.

Взаимодействие I со стиролом. Смесь 17,9 г (0,086 моля) I, 9 г (0,086 моля) стирола и 0,05 г натрия нагревалась до 100°, при этом температура реакционной смеси самопроизвольно поднялась до 170°. После охончания экзотермического процесса продукт реакции обрабатывался

130 мл 10% серной кислоты и экстрагировался эфиром. Подщелочением кислого слоя получено 22 г (82%) II с т. кип. 207—208°/3 мм. пр 1,6060. Найдено %: С 88,29; Н 7,18: N 4,62. С23Н23N. Вычислено %: С 88,17,

Н 7,36, N 4,47. R₁0.79 (эфир-бензол, 1:12). ИК спектр: 3300 см-1 NH). Взаимодействие III со стиролом. Опыт проведен аналогично преды-

дущему. При нагревании реакционной смеси до 70° температура поднялась до 175°. Из 14,7 г (0,1 моля) III, 10,4 г (0,1 моля) стирола и 0,05 г натрия получено 13.8 г (55%) V т. кип. 163—166°/3 мм, d 0,0989, п 1.5694. Найдено %: С 86,27; Н 8,11; N 5,69. С 18 Н 21 N. Вычислено %: С 86,05; Н 8,36; N 5,57; 2,1 г (12%) VIII с т. кип. 235—238°/2 мм, п 1.5823. Найдено %: С 87,55; Н 8,32; N 4,11. Вычислено %: С 87,88; Н 8,17;

N 3,94. R, 0,85. (эфир—бензол, 1:10). ИК спектр: $3300~cm^{-1}$ (NH)], 0.9 г (8%) бензиламина с т. кип. $90^\circ/12~mm$, n_D^{20} 1,5440 [4], 0,65 г (4%) VI с т. кип. $93-95^\circ/1~mm$, n_D^{20} 1,5090 и 1 г (6%) VII с т. кип. $188-190^\circ/3~mm$, n_D^{20} 1,5460 [5].

При проведении реакции в бензоле (смесь кипятилась 3-4 часа)

получены V (52%), VI (5%) и VII (8%).

Взаимодействие IX со стиролом. Опыт проведен аналогично предыдущему. Смесь нагревалась при 120—130° 3 часа. Из 12,5 г (0,05 моля) IX, 5,2 г (0,05 моля) стирола и 0,05 г натрия получено: 11 г (65%) VHI, т. кип. 235—238°/2 мм, про 1,5823; 0,3 г (2%) VII, т. кип. 198—200°/4 мм, про 1,5409; 0,4 г (2%) X, т. кип. 202—204°/2 мм, про 1,5645 [5] и 0,2 г (3%) бензиламина, т. кип. 90°/12 мм, про 1,5452.

Взаимодействие V со стиролом. Опыт проведен аналогично предыдущему. Из 10,1 z (0,04 моля) V, 4,2 z (0,04 моля) стирола и 0.05 z натрия получено 7,6 z (53%) XI, т. кип. 225—227°/3,5 мм, n_D^{20} 1,5862. Найдено %: С 87,32: Н 8,37; N 3,61. $C_{26}H_{29}N$. Вычислено %: С 87,88; Н 8,17; N 3,94.

Взаимодействие VI со стиролом. Опыт проведен аналогично предыдущему. При нагревании реакционной смеси до 65° температура поднимается до 150°. Из 16,1 г (0,1 моля) IV, 10,4 г (0,1 моля) стирола и 0,05 г натрия получено: 15,1 г (57%) XII [т. кип. 162—166°/2 мм, ф 0,9973, п 0 1,5690. Найдено %: 86,33; Н 8,42; N 5,67. С₁₉Н₂₃N. Вычислено %: С 86,03; Н 8,68: N 5,28], 1 г (5%) XIII с т. кип. 222—225°/2 мм, п 1,5851. Найдено %: С 87,67; Н 8,71; N 3,50. С₂₇Н₃₁N. Вычислено %: С 87,80; Н 8,40; N 3,79. ИК спектр: 3300 см 1 (NH)], 1 г (6%) XIV, т. кип. 78—80°/1 мм, п 20 1,5050 [5] и 1,1 г (10%) бензиламина, т. кип. 90/12 мм.

Взаимодействие XV со стиролом. Опыт проведен аналогично предыдущему. Смесь нагревалась при 120—130° 3 часа. Из 15,9 г (0,06 моля) XV, 6,3 г (0.06 моля) стирола и 0,05 г натрия получено 8,2 г (37%) XIII, т. кип. 222—225°/2 мм, пр 1,5851; 3,5 г (21%) XVI, т. кип. 179—181°/2 мм, пр 1,5440 [5] и 1 г (15%) бензиламина, т. кип. 90°/12 мм.

N-P662614686ՄԻնՆԵՐԻ ԱԼԿԻԼՈՒՄԸ ՍՏԻՐՈԼՈՎ

2. 8. AUGUEBUL, U. O. UPUUEBUL & A. P. UUESPENUBUL

Ուսումնասիրված է ացետոնի, մենիլէնիլկետոնի և ացետոֆենոնի N-բենդիլիմինների ալկիլումը ստիրոլով նատրիումի կատալիտիկ ջանակունյունների առկայունյամբ։ Ցույց է տրված, որ տեղի է ունենում «3+2» ցիկլոալկիլում՝ սիրոլիդինի ածանցյալների առաջացմամբ, α-C-ալկիլում, ինչպես նաև ալկիլված արգասիջների հետագա ցիկլոալկիլում։

ALKYLATION OF N-BENZYLKETIMINES WITH STYRENE

A. Ts. KAZARIAN, S. O. MISSARIAN and G. T. MARTIROSSIAN

The alkylation of N-benzylimines of acetone, methylethylketone and acetophenone with styrene in the presence of catalytic amounts of metallic sodium has been studied.

It has been shown that "3+2"-cycloalkylation takes place with the formation of pyrrolidine derivatives, as well as a-C-alkylation and further cycloalkylation of the alkylated compounds thus obtained.

ЛИТЕРАТУРА

- 1. А. Ц. Казарян, С. О. Мисарян, Л. В. Ревазова, Г. Т. Мартиросян, Арм. хнм. ж., 30, 316 (1977).
- 2. А. Ц. Казарян, С. О. Мисарян, Э. А. Григорян, Г. Т. Мартиросян. Арм. хнм. ж., 30, 674 (1977).
- 3. D. G. Norton, V. E. Haury, J. Org. Chem., 19, 1054 (1954).
- 4. А. Е. Агрономов, Ю. С. Шабаров, Лабораторные работы в органическом практикуме, Изд. «Химия» М., 1974 г. стр. 85.
- 5. Э. А. Григорян, А. Ц. Казарян, К. С. Лусарарян, Г. Т. Мартиросян, Арм. хнм. ж., 27, 304 (1974).

XXXI, № 12, 1978

УДК 547.314

КОНДЕНСАЦИЯ АЦЕТАМИНОАЦЕТОУКСУСНОГО И АЦЕТАМИНОМАЛОНОВОГО ЭФИРОВ С ЭПИХЛОРГИДРИНОМ

Э. Г. МЕСРОПЯН, Г. Б. АМБАРЦУМЯН, М. А. ШЕЙРАНЯН н М. Т. ДАНГЯН

Ереванский государственный университет Поступило 17 III 1978

Конденсяцией ацетаминовцетоуксусного [!] и ацетаминомалонового эфиров [2] с эпихлоргидрином получены 2-ацетамино-2-ацетил-3-гидроксиметил- и 2-ацетамино-3-гидроксиметил-2-этоксикарбонил-4-бутанолиды, щелочным гидролизом которых с последующей обработкой соляной кислотой получена хлористоводородная соль 2-амино-3-гидроксиметил-4-бутанолида.

Биол. ссылок 4.

На основании литературных данных [3], свидетельствующих о высокой биологической активности 2-амино-4-бутанолида, получающегося конденсацией окиси этилена с N-ацетилмалоновым эфиром в присутствии металлического натрия, нами исследовалось взаимодействие ацетаминоацетоуксусного (I) и ацетаминомалонового эфиров (II) с эпихлоргидрином в присутствии металлического натрия в среде апротонного растворителя—эфира. В результате реакции образуются соответственно 2-ацетамино-2-ацетил-3-гидроксиметил-4-бутанолид (III) и 2-ацетамино-3-гидроксиметил-2-этоксикарбонил-4-бутанолид (IV). Реакция в среде эфира без металлического натрия не приводит к образованию продуктов III и IV.

Исследовано также непосредственное взаимодействие эпихлоргидрина с I и II при более высоких температурах. Установлено, что при этом также получаются продукты III и IV, физико-химические константы которых соответствуют указанным лактонам III и IV.

Реакция протекает по схеме

$$XCHCOOC_2H_5 + CICH_2-CH-CH_2$$

$$NHCOCH_3$$

$$I, II$$

$$NHCOCH_3$$

$$X-C-COOC_2H_5$$

$$HOH_2C-CH-CH_2CI$$

$$Ia, IIa$$

$$I, III. X = COCH_3; II, IV, X = COOC_2H_5.$$

Лактоны III и IV обладают анальгетическим эффектом, сильнее выраженным у лактона III [4].

Лактоны III и IV были подвергнуты щелочному гидролизу и декарбоксилированию до лактона V.

Структура хлористоводородной соли 2-амино-3-гидроксиметил-4бутанолида (V) подтверждена данными ИК спектров.

Экспериментальная часть

ГЖХ проводилась на приборе ЛХМ-8МД. ИК спектры записаны на слектрометре ИКС-14.

Ацетаминоацетоуксусный эфир получен по [1], а диэтиловый эфир ацетаминомалоновой кислоты—по [2].

Реакция I с эпихлоргидрином в эфире в присутствии металлического натрия. К 90 мл абс. эфира при перемешивании добавляют 1,7 г (0,074 моля) мелконарезанного натрия и 15 г (0,0802 моля) этилового эфира ацетаминоацетоуксусной кислоты. Реакционную смесь нагревают 10 час. при 40° , затем по каплям добавляют 0,11 моля эпихлоргидрина и нагревают смесь 10 час. при 45° . Образовавшуюся соль отделяют от эфирного слоя. После удаления эфира остаток перегоняют в вакууме. Получено 5,68 г (32%) 2-ацетамино-2-ацетил-3-оксиметил-4-бутанолида, т. кип. $123-128^\circ/0,5$ мм, т. пл. 42° . Найдено %: С 50,90: Н 6,30; N 5,99. С₉Н₁₉О₅N. Вычислено %: С 50,23; Н 6,05; N 6,50.

Реакция I с эпихлоргидрином непосредственно. K 9,9 ϵ (0,053 моля) этилового эфира ацетаминоацетоуксусной кислоты чри перемешивании добавляют по каплям 4,9 ϵ (0,053 моля) эпихлоргидрина. Смесь нагревают 6 час. при 60°, затем перегоняют в вакууме. Получено 7 ϵ (63%) лактона III, τ кип. 125—126°/0,5 мм, τ . пл. 42°. Найдено %: C 50,00; C 6,00; C 6,00. C 113 C 126°/0,5 мм, C 126°/0,5 мм,

Взаимодействие II эпихлоргидрином в эфире в присутствии металлического натрия. К 80 мл абс. эфира при перемешивании добавляют 1,5 г (0,065 моля) мелконарезанного натрия и 15 г (0.07 моля) диэтилового эфира ацетаминомалановой кислоты. Реакционную смесь нагревают 10 час. при 45° затем по каплям добавляют 9 г (0,106 моля) эпихлоргидрина и нагревают смесь 10 час. при 45°. Образовавшуюся соль отделяют от эфирного слоя и после удаления эфира остаток перегоняют

в вакууме. Получено 7,00 г (40%) 2-ацетамино-3-оксиметил-2-этоксикарбонил-4-бутанолида, т. кнп. 165—170°/9 мм, т. пл. 88°. Найдено %: С 49,30; Н 6.06; N 5,24. С₁₀Н₁₅О₆N. Вычислено %: С 48,98; Н 6,12; N 5,71.

Взаимодействие II с эпихлоргидрином непосредственно. Қ 3 г (0,014 моля) диэтилового эфира ацетаминомалоновой кислоты при перемешивании добавляют по каплям 1,3 г (0.014 моля) эпихлоргидрина. Реакционную смесь нагревают 4 часа при $100-120^\circ$. Получено 2 г (59%) лактона IV, т. кип. $127-130^\circ/2$ мм, т. пл. 88° . Найдено %: С 49,07; Н 6,08. С $_{10}H_{15}O_6N$. Вычислено %: С 48,98; Н 6,12. Растворимость и ИК спектр IV аналогичны III.

Щелочной гидролиз лактона III. Смесь 3 г лактона III. 1,68 г гидроокиси натрия, 1,7 мл воды кипятят 4 часа, затем растворяют в воде, экстрагируют эфиром. Водный слой подкисляют соляной кислотой, выпаривают. Получено 1,3 г (52%) хлористоводородной соли 2-ямино-3-гидроксиметил-4-бутанолида.

Аналогично подвергают щелочному гидролизу и лактон IV. Из 0,7 г лактона IV получено 0,25 г (46%) лактона V. Найдено %: Cl 20,40.

C₅H₁₀O₃NCl. Вычислено %: Cl 21,20.

ԱՑԵՏԱՄԻՆՈԱՑԵՏՈՔԱՑԱԽԱԹԹՎԻ ԵՎ ԱՑԵՏԱՄԻՆՈՄԱԼՈՆԱԹԹՎԻ ԷԹԻԼԷՍԹԵՐՆԵՐԻ ԿՈՆԴԵՆՍԱՑԻԱՆ ԷՊԻՔԼՈՐՀԻԴՐԻՆԻ ՀԵՏ

t. a. appliable, a. e. thalanter. a. m. coscatsus t a. s appliant

Ացնտամինոացնառքացախաքիվի էնիլէսների և ացնտամինոմալոնանիվի էնիլէսների և էպիքլորհիդրինի կոնդննսումից ստացվել են 2-ացնտամինո-2ացնտիլ-3-օջսիմենիլ- և 2-ացնտամինո-3-օջսիմենիլ-2-կարբէնօջսի-4-բուտանոլիդներ, որոնց հիմնային հիդրոլիզից և դեկարթօջսիլումից ստացվել է 2-ամինո-3-օջսիմենիլ-4-բուտանոլիդի ջլորաջրածնային ազը։

Նշված բուտանոլիդները ցուցաբերում են անալգետիկ հատկություն։

CONDENSATION OF ETHYL ACETAMINOACETATES AND ACETAMINOMALONATES WITH EPICHLOROHIDRIN

E. G. MESROPIAN, G. B. HAMBARTZOUMIAN, M. A. SHEYRANIAN and M. T. DANGHIAN

2-Acetamino-2-acetyl-3-hydroxymethyl and 2-acetamino-3-hydroxymethyl-2-carbethoxy-4-butanolides have been obtained by the condensation of ethyl acetaminoacetate and acetaminomalonate with epichlorohydrin. Alkaline hydrolysis and decarboxylation of these condensation products resulted in the formation of 2-amino-3-hydroxymethyl-4-butanolide hydrochloride. The butanolides mentioned above exhibit analgesic activity.

ЛИТЕРАТУРА

- 1. N. F. Albertson, B. F. Pullar, J. A. King, B. B. Fishburn, S. Archer, J. Am. Chem. Soc., 70, 1150 (1948).
- 2. K. Shaw, Ch. Nalon, J. Org. Chem., 22, 1668 (1957).
- 3. Яп. пат. 5878 (1954); С. А. 50, 7126с (1956).
- 4. Э. Г. Месропян, Г. Б. Амбарцумян, М. Т. Дангян, Авт. свид. СССР, № 2462163/04, 014705, 1978 г.

XXXI, № 12, 1978

УДК 541.183:546.49:547.26:547.46

СОВМЕСТНАЯ АДСОРБЦИЯ АКРИЛОНИТРИЛА И АМИЛОВОГО СПИРТА НА РТУТИ. II.

А. Г. МАРТИРОСЯН, А. П. МАРТИРОСЯН и Г. А. ТЕДОРАДЗЕ

Ереванский политехнический институт им. К. Маркса

Поступило 10 I 1978

Установлено, что уравнения совместной адсорбани двух веществ несовместимы при высокой степени заполнения ими поверхности ртутного электрода. Одной из причин несовместимости являются троиные взаимодействия адсорбированных молекул.

Табл. 2. библ. ссылок 10.

В первом сообщении [1] нами была рассмотрена совместная адсорбция акрилонитрила и амилового спирта на границе раздела ртуть-водный раствор хлористого калия при условии полного покрытия поверхности ртути смесью органических веществ. Было указано на вероятность существования притягательного взаимодействия между адсорбированными молекулами спирта и нитрила. В работе [2] была количественно оценена степень этого взаимодействия и показано, что она ниже степени взаимодействия между адсорбированными молекулами спирта или нитрила. Однако оказалось, что такой расчет удается провести лишь при малых суммарных заполнениях поверхности органическими веществами. При больших суммарных заполнениях система уравнений, используемых для данной цели, оказалась несовместимой. В работе [3] указывалось, что наиболее вероятной причиной несовместимости этих уравнений может быть изменение значения аттракционных постоянных. В данной статье излагаются результаты дальнейших исследований в указанном направлении.

Впервые представление о возможности взаимодействия адсорбированных молекул одного рода ввел Фрумкин [4], который предложил ввести в уравнение Шишковского

$$\Delta z = -RT\Gamma_e \ln (1 - \theta) \tag{1}$$

член, учитывающий взаимодействие адсорбированных молекул

$$\Delta z = -RT\Gamma_{-} \ln \left(1 - \theta\right) + 2a\theta^{2} \tag{2}$$

где R— газовая постоянная, T— абсолютная температура, Γ_* — максимальная адсорбция, θ — степень заполнения ($\theta = \Gamma/\Gamma_*$, где Γ — величина адсорбции при данной концентрации), a— аттракционная постоянная.

Если продифференцировать уравнение (2) по концентрации и полученную величину $\frac{\partial \sigma}{\partial c}$ подставить в уравнение изотермы адсорбции Гиббса

$$\Gamma = -\frac{c}{RT} \left(\frac{\partial \sigma}{\partial c} \right)_T \tag{3}$$

то после интегрирования получится

$$Bc = \frac{\theta}{1 - \theta} \exp\left[a_{11}\theta\right] \tag{4}$$

где B—функция энергии адсорбции, не зависящая ни от концентрации, ни от степени заполнения, $a_{11} = -2a$, причем положительное значение величины a_{11} соответствует отталкивательному, отрицательное—притягательному взаимодействию.

Известно, что такое преобразование с использованием уравнения (1) приводит к уравнению изотермы Ленгмюра, являющемуся частным случаем изотермы Фрумкина при a_{11} =0.

Впервые взаимодействие в адсорющионном слое при совместной адсорющии двух веществ рассмотрел Темкин [5], который взял за основу уравнение состояния адсорющионного слоя, отличающееся от формул (1) и (2).

В серии работ Аракеляна и Тедорадзе (напр., [6]) рассмотрена совместная адсорбция двух адсорбирующихся веществ на ртути. При этом использовались идеи Темкина, но другое уравнение состояния адсорбционного слоя—(2). В этом случае получается система уравнений, связывающих степень заполнения первого вещества (θ_1), его аттракционную постоянную a_{11} , функцию энергии адсорбции (B_1), объемную концентрацию (c_1) с аналогичными параметрами второго вещества. Одновременно в этих уравнениях появляется константа взаимодействия между адсорбированными частицами первого и второго рода (a_{12}):

$$B_1 c_1 = \frac{\theta_1}{1 - \theta_1 - \theta_2} \exp\left[a_{11}\theta_1 + a_{13}\theta_2\right] \tag{5}$$

$$B_2 c_2 = \frac{\theta_1}{1 - \theta_1 - \theta_2} \exp\left[a_{22}\theta_2 + a_{13}\theta_1\right] \tag{6}$$

Положительное значение величин a_{11} , a_{12} и a_{22} соответствует отталкивательному, отрицательное—притягательному взаимодействию.

Аракелян и Тедорадзе провели ряд расчетов зависимости степени заполнения поверхности от потенциала, использовав уравнения (5) и (6) совместно с уравнением

$$q = q_0(1 - \theta_1 - \theta_2) + q_1\theta_1 + q_2\theta_3 \tag{7}$$

где q — заряд двойного электрического слоя при данном значении θ_1 и θ_2 , q_0 — то же при $\theta_1=\theta_2=0$, q_1 — то же при $\theta_1=1$, q_2 — то же

при $\theta_*=1$. Это уравнение является аналогом оправдавшего себя при адсорбции одного вещества уравнения двух параллельных кондеисаторов

 $q = q_0 (1 - \theta) + q_1 \theta \tag{8}$

предложенного впервые Фрумкиным [7]

В дальнейшем в работах Дамаскина с сотр. [8, 9] были использованы формулы (5), (6) для расчета совместной адсорбции различного типа органических молекул. В частности, Дамаскин, Фрумкин и Боровая [10] использовали совместное решение (методом подбора) уравнений (5), (6) и уравнения

$$C = C_0 \left(1 - \theta_1 - \theta_2 \right) + C_1 \theta_1 + C_2 \theta_2 \tag{9}$$

Уравнение (9) получается дифференцированием (7) по потенциалу в условиях $\frac{d\theta_1}{d\phi} = \frac{d\theta_2}{d\phi} = 0$. Здесь C— емкость двойного слоя при потенциале максимальной адсорбции, C_0 — емкость при $\theta_1 = \theta_2 = 0$, C_1 — емкость при $\theta_1 = 1$ и C_2 — емкость при $\theta_2 = 1$.

В работах [2, 3] нами проведены аналогичные расчеты графическим методом и показано, что данной величине С могут соответствовать пары значений θ_1 , θ_2 и θ_{12} . Показан способ выбора истинных значений этих параметров. Кроме того, показано, что при близости суммы $\theta_1 + \theta_2$ к единице уравнения (5), (6) и (9) несовместимы.

Одной из возможных причин несовместимости могла быть погрешность в определениях B_I , a_{Ik} и C. Однако наши расчеты показали, что такие погрешности должны выходить далеко за пределы истинных величин погрешностей. Поэтому причины несовместимости уравнений (5,6 и 9) следовало искать в другом.

Следует подчеркнуть, что как в уравнении (2), так и в уравнении состояния, использованном Темкиным, рассматриваются лишь парные взаимодействия (взаимодействие двух молекул). Между тем в условиях близости суммарной степени заполнения к единице, по-видимому, нельзя пренебречь и тройными взаимодействиями. Используя идеи, развитые Темкиным и Фрумкиным, можно предположить, что такие взаимодействия приведут к появлению в правых частях уравнений (5) и (6) множителей

$$\exp\left[a_{111}\theta_{1}\theta_{1}+a_{111}\theta_{1}^{2}\right]$$
 и $\exp\left[a_{221}\theta_{1}\theta_{2}+a_{222}\theta_{2}^{2}\right]$

Как видим, первое слагаемое учитывает взаимодействие двух молекул одного рода (вещества, степень заполнения поверхности которых выше) с одной молекулой второго рода. Второе слагамое учитывает взаимодействие трех молекул вещества, находящегося в избытке Если учесть лишь первый эффект, уравнение (5) примет вид

$$B_{l} c_{l} = \frac{\theta_{l}}{1 - \theta_{l} - \theta_{k}} \exp\left[a_{ll}\theta_{l} + a_{lk}\theta_{k} + a_{jll}\theta_{l}^{2}\right]$$
 (10)

А учитывая оба упомянутых выше эффекта, получим

$$B_i c_i = \frac{\theta_i}{1 - \theta_i - \theta_k} \exp\left[a_{ii}\theta_i + a_{ik}\theta_k + a_{iik}\theta_i\theta_k + a_{iik}\theta_i^2\right] \tag{11}$$

Если степень заполнения одним из веществ (k) значительно меньше единицы, слагаемыми, учитывающими взаимодействия с участием двух или более молекул этого вещества $(a_{lk}, \theta_l, \mu, a_{kk}, \theta_k^2)$, можно пренебречь и в случае l=1 и k=2 степени заполнения поверхности будут связаны с объемной концентрацией системой уравнений

$$B_1c_1 = \frac{\theta_1}{1 - \theta_2 - \theta_2} \exp\left[a_{11}\theta_1 + a_{12}\theta_2 + a_{112}\theta_1\theta_2 + a_{111}\theta_1^2\right] \tag{12}$$

$$B_{2}c_{3} = \frac{\theta_{2}}{1 - \theta_{1} - \theta_{2}} \exp\left[a_{23}\theta_{2} + a_{13}\theta_{1}\right]$$
 (13)

Уравнение (13) идентично уравнению (6), т. к. при условиях $\theta_1 > \theta_2$ вероятность взаимодействия 2—2—1 мала.

Аналогично в условиях $\theta_2 > \theta_1$ получится система уравнений

$$B_1 c_1 = \frac{\theta_1}{1 - \theta_1 - \theta_2} \exp\left[a_{11}\theta_1 + a_{12}\theta_2\right] \tag{14}$$

$$B_{2}c_{2} = \frac{\theta_{2}}{1 - \theta_{1} - \theta_{2}} \exp\left[-a_{22}\theta_{2} - a_{21}\theta_{1} + a_{222}\theta_{1}\theta_{2} + a_{223} + \theta_{2}^{2}\right]$$
(15)

Другой возможностью снятия несовместимости уравнений (5, 6 и 9) является учет площадей, занимаемых молекулами. Эту возможность мы в настоящее время исследуем. Здесь рассматривается лишь первый луть—учет тройных взаимодействий.

Используя уравнения (13) и (9) в условиях $\theta_1 > \theta_2$ или уравнения (14) и (9) в условиях $\theta_2 > \theta_1$, мы рассчитали значения θ_1 и θ_2 , предполагая, что остальные параметры $(B_1, B_2, a_{11}, a_{12}, a_{22})$ остаются такими же, как в условиях $\theta_1 + \theta_2 \leqslant 0.8$, когда уравнения (5, 6 и 9) совместимы [2]. Приблизительным критерием того, что $\theta_i > \theta_k$, принималось неравенство $B_i c_i > B_2 c_k$. В дальнейшем этот критерий проверялся с помощью уравнений (13) и (9) или (14) и (9).

Таким образом, рассчитывались значения θ_1 и θ_2 при данной концентрации, которые подставлялись в уравнение (12) или (15). В результате в указанных уравнениях оставались два неизвестных—коэффициенты, учитывающие тройные взаимодействия. Проводя аналогичные расчеты для другой концентрации, мы получали второе уравнение типа (12) или (15) с теми же неизвестными a_{112} и a_{111} (или a_{122} и a_{222}). Естественно, при этом предполагалось, что эти коэффициенты от величин θ_1 и θ_2 не зависят. Система из упомянутых двух уравнений позволяла определить значения параметров a_{222} и a_{231} . Такой расчет показал, что для

системы амиловый спирт + пропионитрил (вещество 1) величина a_{232} изменяется в пределах 1,32-1,50 при изменении θ_2 от 0,61 до 0,91. Величина a_{231} в тех же условиях изменялась от 4,7 до 5,2 (табл. 1). Еще лучшее постоянство упомянутых коэффициентов было достигнуто для смеси амиловый спирт + акрилонитрил (вещество 1). Для этой смеси $a_{231}=1,5+1,7$; $a_{321}=5,1+5,9$ (табл. 2).

Таблица I Параметры, учитывающие тройное взаимолействие для системы пропионитрил—амиловый спирт (вещество 2); $a_{11}=-2.342$. $a_{22}=-3$; $a_{11}=-1.72$; $B_{11}=1.5$; $B_{22}=55$ л/моль

Nen	c1	c2	6,	02	a ₃₃₃	a221
1	0,1434	0,1120	0,0468	0,9131	1,500	5,250
2	0,3160	0,1120	0,0919	0,8736	1,300	4,564
3	0,4300	0,1120	0,1608	0,7956	1,450	5,093
4	0.8030	0,1120	0,3514	0,6035	1,520	5,131
5	0,9750	0,1120	0,3939	0,5658	1,480	4,802
6	1,1400	0,1120	0,4375	0,5255	1,460	4,728
7	0,6880	0,0825	0,3380	0,6103	1,320	4,704
8	0,6880	0,1120	0,2550	0,7048	1,353	4,660
9	0.6880	0,1500	0,1976	0,77(6	1.371	5,000

Таблица 2 Параметры, учитывающие тройное взаимодействие для системы акрилонитрил—амиловый спирт (вещество 2); $a_{11}=-1,4$; $a_{22}=-3$; $a_{13}=-0.6$; $B_{11}=2$; $B_{23}=55$ л/моль

Nº No	c ₁	<i>c</i> ₃	81	0,	a ₁₇₁	a ₂₃₁
1	0,8500	0,0600	0,3223	0,5932	1.50	3,6384
2	0,8500	0,0937	0,2641	0,6638	1,60	5,1046
3	0,8500	0,1162	0,2147	0,7247	1,65	5,3835
4	0,8500	0.1492	0,2040	0,7381	1,85	5,9070
5	0,2185	0,1162	0,0320	0,9279	1,57	5,4286
6	0,3569	0,1162	0,0713	0,8752	1,80	5,6050
7	0,5000	0,1162	0,1043	0,8413	1,70	5,7400
8	0,6070	0,1162	0,1466	0,7923	1,70	5,9670
9	0,8500	0,1162	0,2145	0.7250	1,65	5,1862
10	1,0320	0,1162	0,3024	0,6319	1,70	5,1750
11	1,2100	0,1162	0,4306	0,4971	1,70	5,8739

Следовательно, взаимодействие во всех случаях отталкивательное. Таким образом, проведенные нами расчеты указывают на одну из причин несовместимости уравнений (5), (6) и (9): при фиксированных

значениях адсорбционных параметров, полученных при суммарных заполнениях поверхности $\theta_1 + \theta_2 \geqslant 0.8$, величины θ_1 и θ_2 , рассчитанные из уравнений (6) и (9), не позволяют уравнять левую и правую стороны уравнения (5). Такое уравнивание достигается лишь видоизменением этого уравнения путем введения дополнительных членов.

ԱԿՐԻԼՈՆԻՏՐԻԼԻ ԵՎ ԱՄԻԼԱՅԻՆ ՍՊԻՐՏԻ ՀԱՄԱՏԵՂ ԱԴՍՈՐԲՑԻԱՆ ՍՆԴԻԿԵ ԵԼԵԿՏՐՈԴԻ ՎՐԱ. II.

Ա. Գ. ՄԱՐՏԻՐՈՍՅԱՆ, Ա. Գ. ՄԱՐՏԻՐՈՍՅԱՆ և Գ. Ա. ԹԵԳՈՐԱՋԵ

Երկու Նյուների Համատեղ ադսորբցիայի Համար Ա. Ն. Ֆրումկինի և θ . Ա. Տյոմկինի պատկերացումների հիման վրա ստացված բանաձևերը սնդիկի մակերեսի լցման բարձր աստիճանի դեպքում $(\theta_1+\theta_2>0.8)$ Համատեղելի չեն։ Սույն աշխատանքը նվիրված է այդ անհամատեղելիունյան պարզաբանանուր

Իրրև դրա պատճառներից մեկը նշվում է ադսորբված մոլեկուլների եռակի փոխազդեցության հնարավորությունը, որի հիման վրա բանաձևերի մեջ ուղղում է մտցվել ու նրանցով հաշվարկվել եռակի փոխազդեցության «222 և «221 հաստատունները պրոպիոնիտրիլ—ամիլային սպիրտ և ակրիլոնիտրիլ—ամիլային սպիրտ սիստեմների համար։ Այդ հաստատունների դրական և իրար մոտ արժեջները ցույց են տալիս, որ համատեղ ադսորբցիայի ժամանակ իրոջ գոյություն ունի մոլեկուլների եռակի փոխազդեցություն և որ այն վահնողական բնույթի է։

THE SIMULTANEOUS ADSORPTION OF ACRYLONITRILE AND AMYL ALCOHOL ON THE MERCURY ELECTRODE. II.

A. G. MARTIROSSIAN, A. P. MARTIROSSIAN and G. A. TEDORADZE

The formulas obtained for the simultaneous adsorption of two substances in the case of a high degree filling of mercury surface are incompatible.

In the present a triple interactions of the adsorbed molecules has been taken into consideration, this being one of the reasons for the above mentioned incompatibility.

ЛИТЕРАТУРА

- 1. А. Г. Мартиросян, Г. А. Тедорадзе, А. П. Мартиросян, Межвузовский сборник науч. тр., сер. 19, хим. технология, вып. І, Ереван, 1974, стр. 154.
- 2. А. Г. Мартиросян, А. П. Мартиросян, Г. А. Тедорадзе, Межвузовский сборник науч. тр., сер. 19, хим. технология, вып. 11, Ереван, 1975, стр. 19.
- 3. А. Г. Мартиросян, А. П. Мартиросян, Г. А. Тедорадзе, Уч. зап. ЕГУ, № 3, 72 (1977), Ереван.

- 4. А. Н. Фрумкин, Тр. ниститута им. Л. Я. Карпова. 4, 56 (1925), 5, 3 (1926).
- 5. М. А. Темкин, ЖФХ, 14, 1153 (1940). 15, 296 (1941).
- 6. Г. А. Тедорадзе, Р. А. Аракелян, Е. Д. Белоколос, Электрохимия, 2, 563 (1966).
- 7. А. Н. Фрумкин, Б. Б. Дамаскин, в сб «Современные аспекты электрохимин», Изд. «Мир», М., 1967, стр. 170.
- 8. Б. Б. Дамаскин, Электрохимия, 5, 346 (1969).
- 9. B. Damaskin, J. Electroan. chem., 21, 149 (1969).
- 10. Б. Б. Дамаскин, А. Н. Фрумкин, Н. А. Боровая, Электрохимия, 8, 807 (1972).

2 Ц 3 Ч Ц 4 Ц 6 Р Г Р Ц 4 Ц 6 Ц Г И Ц 4 Р Р АРМЯНСКИЙ ХИМИЧЕСКИЙ ЖУРНАЛ

XXXI, № 12, 1978

₩ УДК 541.64:678.84

СТАБИЛИЗАЦИЯ ПОЛИХЛОРОПРЕНА ТРИАЛЛИЛИЗОЦИАНУРАТОМ

Р. А. ПЕТРОСЯН, К. А. ОРДУХАНЯН. Р. В. БАГДАСАРЯН и В. Дж. ТОНОЯН

Вессоюзный научно-исследовательский и проектный институт полимерных продуктов, Ереван

Поступило 12 VI 1978

Исследованы светозащитные свойства триаллилизоцианурата (ТАИЦ) гри различных способах его подачи в полихлоропрен: при осаждении полимера и в две стадин—в начале и в конце процесса эмульсионной полимеризации. Осуществлена структурная модификация полихлоропрена на основе парофазиой прививки ТАИЦ к полимеру с помощью УФ облучения. Определены синергические композиции ТАИЦ с моно- и бифункциональными антиоксидантами П-23 и 2246.

Рис. 4, табл. 1, библ. есылок 5.

В литературе имеются ограниченные сведения по синтезу и эффективности антиоксидантов, способных сополимеризоваться с эмульсионными каучуками. Так, например, в [1] в качестве таковых используются 4-иитрозодифениламины. Однако последние токсичны и вызывают подвулканизацию, поэтому они не нашли широкого практического применения.

Принципиально новые возможности в направлении синтеза самостабилизированных полимерных материалов открывает метод парофазной привитой полимеризации посредством инициирующего излучения [2].

В настоящей работе мы предприняли попытку проведения фотохимической парофазной прививки ТАИЦ к полихлоропрену с целью повышения его светостойкости. Параллельно исследовали антиокислительную активность этого соединения в качестве светостабилизатора хлоропренового каучука при различных способах введения в полимер.

Экспериментальная часть

Фотохимическая парофазная прививка ТАИЦ к полихлоропрену конверсии 98% проводилась в специально изготовленной установке из оптически прозрачного кварца. Исследуемые образцы—пленки толщиной 25—30 (±5) мк, получаемые известным методом [3], помещались в реактор перпендикулярно световому пучку от источника УФ облучения—ртутно-кварцевой лампы ПРК 4. Для предотвращения окислительной де-

струкции облучение проводили в отсутствие кислорода воздуха пр натной температуре (25°). Для каждого эксперимента применяли вор 20 мл этилового спирта с 5 мл ТАИЦ. Его нагревали при 80°. ходимое количество газовой смеси создавали путем впуска в пред тельно вакуумированиую систему определениых порций паров ТА этаноле. Контрольными измерениями было установлено, что в отсут паров спирта не происходит прививки антноксиданта к полимеру.

За ходом прививки следили по ИК спектрам, регистрируемы спектрофотометре «Hylger H-800». Концентрацию привитого ТАИІ ределяли по оптической плотности полосы поглощения 1680 см-1 (сманурового кольца) [4] с применением калибровочной кривой. Фокислительная деструкция полихлоропрена сопровождается появлен полос поглощения карбонильных (1720 см-1) и карбоксиле (1780 см-1) групп, наблюдаемых в спектральной области 1801 см-1 [3]. Экстракцию стабилизированных образцов проводилацетоне в течение 24 час.

Результаты и их обсуждение

Парофазная прививка ТАНЦ к полихлоропрену, инициируемая облучением. Из ИК спектров поглощения полимера (рис. 1) следует. за время УФ облучения происходит прививка ТАИЦ. Изменения, связа за время в собтупенти появлению полосы поглощения, связаные с прививкой, приводят к появлению полосы поглощения 1680 смные с привывкой, кр. порторциональна степени прививки антиоксида кинетическа та. На рис. 2 присодния витого антноксиданта, носящая S-образный характер. Из кривой сл дует, что на начальном этапе облучения (до 15 мин.) прививка прот дует, что на начально. Дальнейшее увеличение продолжительност кает с малои способствует резкому возрастанию доли привитого ТАИL излучения способствует в малучения способствует привитого ТАИL которая за 1 час УФ воздействия достигает некоторого предельного зна которая за 1 час в с водиненией пленки в подобный характер кривой объясняется изменением структуры чения. Подобный даристаллизованной пленки в результате прививки. Учн поверхности закристаллическое состояние полимерной матрицы, можно тывая полукристаллическое процесса ТАИЦ прививается преимущест предположить, что в на предположенным в аморфных участках пленки. В дальнейшем ТАИЦ прививается, очевидно, и к плотноупакованным В дальнением типе в кристаллическим участкам, оказывая при этом определенное разрыхляющее действие, т. к. образцы с высокой степенью прививки теряют ляющее деиствие, т. ... геряют кристалличности равна 19,8% [3]). Пленка при этом из матовой в исходном состоянии становится полностью прозрачной. Спектрально эти изменения отражены на рис. 1 в области 1500—1400 см -1, где имеет место перераспределение интенсивностей дублетной полосы с максимумами при 1450 (транс-поворотный изомер) и 1440 см⁻¹ (цис-поворотный изомер) [5]. И, как следствие, увеличение относительной доли цис-поворотных изомеров сопровождается исчезновением так называємой «кристаллической полосы»—780 см-1 [5].

Образцы полихлоропрена с привитым ТАИЦ были подвергнуты световому старению. Кинетические кривые окисления указанных образцов приведены на рис. 3, из которого следует, что фотодеструкция полихлоропрена с долей прививки 0,5 вес. % (рис. 3, кр. 6 и 8) протекает с минимальной скоростью. Период индукции (время, за которое оптическая плотность карбонильных групп D₁₇₂₀ достигает значения 0,1) при этом максимален—290 мин. В аналогичных измерениях образцы с большим содержанием ТАИЦ более активно подвержены фотостарению, а при степени прививки, составляющей 2 вес. %, светостарение полимера протекает со скеростями, превышающими скорость фотоокислительной деструкции нестабилизированных образцов (рис. 3, кр. 1 и 3). Кривая зависимости периода индукции от весовой доли привитого ТАИЦ (рис 4) показала, что оптимальной является степень прививки, соответствующая 0,5% от весовой доли полимера. Избыток сверх оптимального количества выступает как инициатор фоторасиада полимерной цепочки.

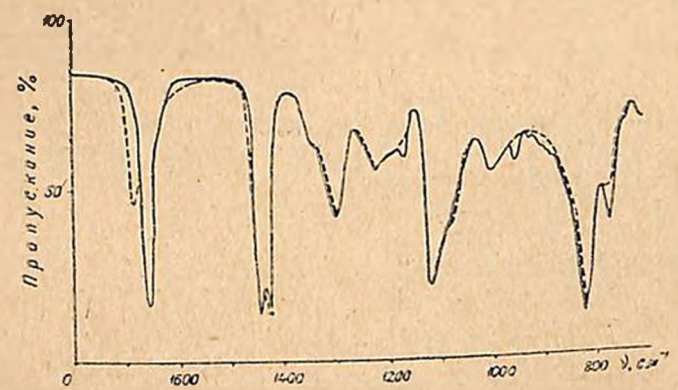


Рис. 1. ИК спектры поглощения полихлоропрена конверсии 98°/о: — без стабилизатора, - - - с привитым ТАИЦ.

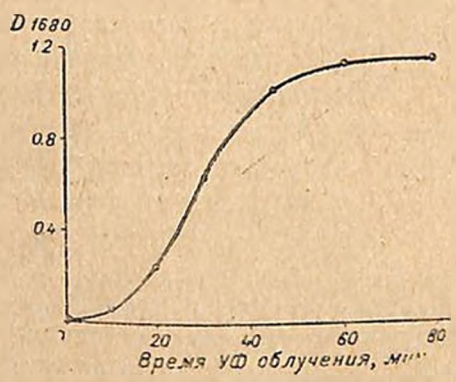


Рис. 2. Кинетическая кривая накопления привитого ТАИЦ.

Стабилизация полихлоропрена введением ТАИЦ в две стадии. Если ТАИЦ подается в полимер в две стадии: 0,3 вес % с мономером в начале и 0,2 вес. % в конце процесса эмульсионной полимеризации, то период индукции равен 156 мин. После окончания индукционного периода скорость фотодеструкции минимальна. (рис. 3, кр. 4 и 7). Эффективность

стабилизации при таком способе подачи объясняется равномерным распределением антиоксиданта в объеме полимера и подавлением вторичных реакций [3]. Тем не менее между полимером и добавкой, как показали спектральные исследования, отсутствует химическое взаимодействие. В силу этого длительная экстракция образцов приводит к полиому вымыванию добавки из полихлоропрена и окисление последнего идет идентично фотостарению нестабилизированных образцов.

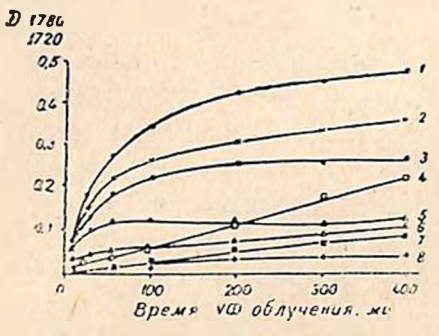


Рис. 3. Кинетика роста карбонильных $(1720\ c.u^{-1})\ (1,2,4,6)$ и карбоксильных $(1780\ c.u^{-1})\ (3,5,7,8)$ групп в структуре облученного в вакууме полихлоропрена без стабилизатора (5,2) и содержащего $0.5^{\circ}/_{\bullet}\ (6,8),\ 2^{\circ}/_{\bullet}\ (1,3)$ привитого ТАИЦ; $(4,7)-0.3^{\circ}/_{\bullet}\ TАИЦ\ (в начале) + 0.2^{\circ}/_{\bullet}\ TАИЦ\ в конце процесса полимеризации.$

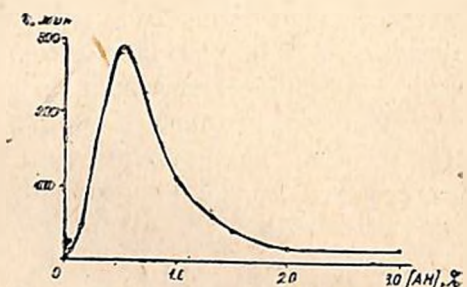


Рис. 4. Зависимость индукционного периода от весовой доли привитого ТАИЦ при УФ облучении полихлоропрена.

Введение ТАИЦ в эмульсионную систему при осаждении полимера. Светозащитное действие ТАИЦ при последнем способе стабилизации сопоставлялось со стабилизирующими свойствами фенольных антиоксидантов П-23 и 2246, применяемых в настоящее время в производстве синтетических каучуков. Результаты исследований сведены в таблицу, из которой следует, что светостабилизирующее действие ТАИЦ, оцениваемое по величине периода индукции (т) и скорости фотодеструкции (w), пропорциональной тангенсу угла наклона кинетических кривых к оси абсцисс, сравнимо с 2246 и более, чем в 4 раза превышает т для П-23.

Таблица Относительная эффективнось стабилизатора и их смесей при светостарении полихлоропрена

Добавка стабилизаторов	т, мин	ω≈ tg α
2°/ ₀ II-23	10	1,75
20/2 2246	43	0,55
2°/, ТАИЦ	45	0,60
10/, ТАИЦ + 10/, 2246	85	0,30
10/0 ТАИЦ + 10/0 П-23	75	0,83

Из таблицы видно также, что бинарные композиции из ТАИЦ с П-23 и 2246 проявляют синергизм, неаддитивно усиливающий ингибирующие свойства компонентов смеси.

Таким образом, ТАИЦ можно успешно применять в качестве светостабилизатора полихлоропрена, который при обычном способе стабилизации (при осаждении полимера) сравним с дорогостоящим антиоксидантом 2246. При 2-разовой подаче и парофазной прививке эффективность ТАИЦ возрастает. В последнем случае стабилизатор, привитый к полихлоропрену, не экстрагируется в органических растворителях и не выпотевает. В конечном счете в случае прививки величина оптимальной концентрации добавки сокращается до 0.5 вес. % вместо обычно употребляемой в 2 вес. %.

ՊՈԼԻՔԼՈՐՈՊՐԵՆԻ ԿԱՅՈՒՆԱՑՈՒՄԸ ՏՐԻԱԼԻԼԻԶՈՑԻԱՆՈՒՐԱՏՈՎ

Ռ. Ա. ՊԵՏՐՈՍՅԱՆ, Կ. Ա. ՕՐԳՈՒԽԱՆՅԱՆ, Ո. Վ. ԲԱՂԳԱՍԱՐՅԱՆ և Վ. Ջ. ՏՈՆՈՅԱՆ

Ուսումնասիրված են տրիալիլիզոցիանուրատի (ՏԱԻՑ) լուսապաշտպաբնր հղանակներից․ պոլիմերի նստացնելու ժամանակ և երկու ստադիալով՝ Էմուլսիոն պոլիմերնման սկղբում և վերջում։

իրականացված է պոլիքլորոպրենի ստրուկտուրային մոդիֆիկացիա պոլիմերին ուլտրամանուշակաղույն Տառագայիների օգնությամբ գոլորշի ֆապայում ՏԱԻՑ պատվաստելու Հիման վրա։ Որոշված են ՏԱԻՑ սիներգետիկ կոմպողիցիաները մոնո-, բիֆունցիոնալ հակաօքսիդիչների՝ [1—23-ի և 2246-ի հետ։

STABILIZATION OF POLYCHLOROPRENE WITH TRIALLYLISOCYANURATE

R. A. PETROSSIAN, K. A. ORDUKHANIAN, R. V. BAGDASSARIAN and V. J. TONOYAN

The light-protective properties of triallylisocyanurate have been studied by using varios means of its addition to polychloroprene viz. during the precipitation of the polymer and at the beginning and at the end of the emulsion polymerization process in two steps. The structural modification of polychloroprene has been carried out on the basis of vapour phase grafting of triallylisocyanurate to the polymer by UV radiation. The synergistic compositions of triallylisocyanurate with mono- and bifunctional antioxidants I1-23 and 2246 have been determined.

ЛИТЕРАТУРА

- 1. B. T. Ashworth, B. N. Leyland, P. M. Quan, Rubbercon, 1972, Proc. Lnt. Rubberconf. Brighton, 1972 (London) 1972, F6/1-F6/8; P. XIIII, 17, 1149 (1974).
- 2. B. L. Cetlin, Industrial uses of large radiation sources, vol. 1. Vienne, JAEA, 1963, p. 289.
- 3. Р. А. Петросян, К. А. Ордуханян, Р. В. Багдасарян, Высокомол. соед., 17, 1831 (1975).
- 4. Джон Р. Дайер, Приложение абсорбционной спектроскопии органических соединений, Изд. «Химия», М., 1970, стр. 43.
- 5. К. А. Асланян, Р. В. Багдасарян, Е. А. Кафадарова, Изв. АН Арм.ССР, Физика, 1, 60 (1970).

XXXI, № 12, 1978

КРАТКИЕ СООБШЕНИЯ

УДК 553.61+541.183.24

О МЕХАНИЗМЕ ИЗВЕСТКОВАНИЯ ДИАТОМИТА ОКИСЬЮ КАЛЬЦИЯ

А. М. АРУТЮНЯН, К. А. БАЛЯН и С. Г. БАБАЯН Ереванский отдел неорганических материалов ВНИИ «ИРЕА» Поступило 31 III 1977

Ранее нами было показано, что в процессе известкования диатомита наблюдаются значительные изменения текстурных характеристик и высказано предположение о возможном механизме известкования, связанного с образованием на поверхности диатомита гидросиликатов кальция путем замены водородов гидроксильных групп поверхности на ионы кальция [1].

С целью подтверждения указанного механизма было проведено комплексное исследование полученных образцов с привлечением методов термогравиметрии, рентгенофазового анализа и ИК спектроскопии. Полученные результаты приведены на рис. 1—3 и в таблице.

Как следует из кривых ДТА (рис. 1), у образцов, подвергнутых известкованию при 840 и 850°, наблюдается экзоэффект, свидетельствующий о полиморфном превращении силиката кальция [2] и отсутствующий у образцов, подвергнутых последующей кислотной обработке.

Для проведения рентгенофазового анализа произвесткованные образцы подвергались термообработке при 850° в течение 2 час. Исследования проводились на дифрактометре ДРОН-2.

Тоблица Данные рентгенофазового анализа произвесткованных образцов днатомита

Образцы	d	J	Обнаружен- ная фаза
Диатомит + 10°/ ₆ СаО	2,728	60	2-Ca ₂ SiO ₄
	3,046	80	α-Ca ₂ SiO ₄
	3,227	100	CaSiO ₃
Диатомит + 20°/ ₀ CaO	3,007	100	z-Ca ₂ SiO ₄
Диатомит + 30°/ _• CaO	2,749	85	z-Ca ₂ SiO ₄
	3,031	100	z-Ca ₂ SiO ₄

d — межплоскостные расстояния; J — интенсивность.

Армянский химический журнал, XXXI, 12-4

Таким образом, данные термогравиметрического и рентгенофазового анализов свидетельствуют о наличии на поверхности произвесткованного диатомита силиката кальция.

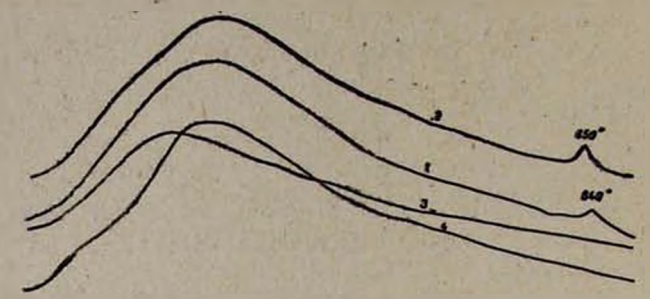


Рис. 1. Кривые ДТА из дериватограмм образцов диатомита, подвергнутых известкованию и кислотной обработке (1—10°/ $_{\odot}$ CaO; 2—30°/ $_{\odot}$ CaO; 3—10°/ $_{\odot}$ CaO + HCl; 4—30°/ $_{\odot}$ CaO + HCl).

В ИК спектрах образцов днатомита, подвергнутых известкованию, появляется полоса в области 970—1000 см⁻¹, относительная интенсивность которой увеличивается с увеличением количества СаО, используемого для известкования (рис. 2, кр. 2—5). Сравнивая ИК спектры произвесткованных образцов с ИК спектрами силиката кальция (рис. 2, кр. 1), можно сделать вывод об образовании на поверхности днатомита силиката кальция.

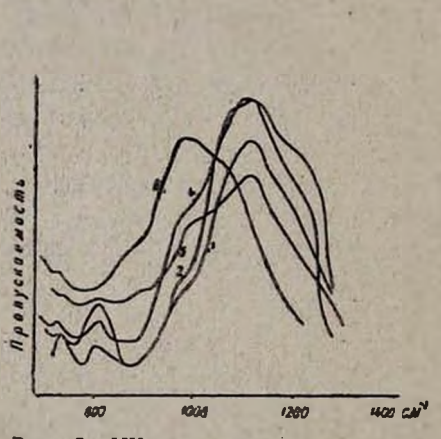


Рис. 2. ИК спектры 1—силиката кальция и образцов диатомита, подвергнутых известкованию $(2-5^{\circ})_0$ СаО; $3-10^{\circ})_0$ СаО; $4-20^{\circ})_0$ СаО; $5-30^{\circ})_0$ СаО).

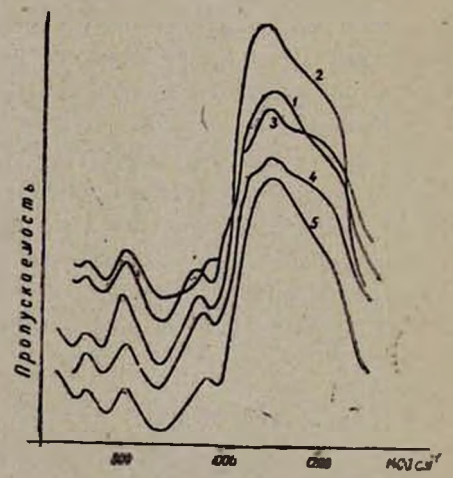


Рис. 3. ИК спектры 1- днатомита и произвесткованных образцов, обработанных $15^{\circ}/_{\circ}$ HCI $(2-5^{\circ}/_{\circ}$ CaO + HCI; $3-10^{\circ}/_{\circ}$ CaO+HCI; $4-20^{\circ}/_{\circ}$ CaO+HCI; $5-30^{\circ}/_{\circ}$ CaO + HCI).

Последующая кислотная обработка произвесткованных ображов приводит к «регенерации» диатомита путем обратной замены конов Са²⁺ на ионы Н⁺ и вымыванию адсорбированного СаО, что подтверждается данными химического анализа [1] и ИК спектрами образцов, подверг-

нутых кислотной обработке, идентичными ИК спектру природного диа-томита (рис. 3).

Резюмируя полученные в [1] и настоящем сообщении данные, можно сказать, что процесс известкования протекает с образованием на поверхности диатомита гидросиликатов кальция, сопровождающимся объемным поглощением некоторого количества окиси кальция.

ЛИТЕРАТУРА

1. К. А. Балян, А. М. Арутюнян, С. Г. Бабаян, Арм. хим. ж., 29, 1001 (1976)... 2. М. А. Bredig, J. Amer. Ceram. Soc., 33, 188 (1950). XXXI, № 12, 1978

УДК 547,87+547.26+547.29.02'.26

СИНТЕЗ СЛОЖНЫХ ЭФИРОВ ПРОИЗВОДНЫХ ИЗОЦИАНУРОВОЙ КИСЛОТЫ

М. Л. ЕРИЦЯН и Р. А. КАРАМЯН

Государственный научно-исследовательсмий и проектный ниститут полимерных клеев им. Э. Л. Тер-Газаряна, Кировакан

Поступило 5 V 1977

Ряд производных изоциануровой жислоты широко используется в синтезе полиэфиров и при модификации полимеров, имеющих реакционноспособные функциональные группы [1, 2].

В данном сообщении описано получение сложных эфиров на основе ди- и триметилольных производных изоциануровой кислоты. 1,3-Диоксиметилизоцианурат получен взаимодействием мононатриевой соли изоциануровой кислоты с формальдегидом и переведен взаимодействием с ангидридами двухосновных кислот в соответствующие эфиры.

Реакцией соединений (III) с формальдегидом получен 1,3-диметилендикарбожсиэтилен (алкенилен) изоцианурат (IV).

Взаимодействие 1,3,5-триоксиметилизоцианурата и продукта (IV) с ангидридами малеиновой и фталевой кислот приводит к образованию трис-замещенных сложных эфиров изоциануровой кислоты (V).

Экспериментальная часть

Мононатриевая соль изоциануровой кислоты получена и выделена по методике [3]. Фталевый (ФА) и малеиновый (МА) ангидриды использовались марки «х.ч.». 1,3,5-Оксиметилизоцианурат (ТОМИЦ) получен по [4, 5].

1,3-Диоксиметилизоцианурат (ДОМИЦ). К 0,04 моля мононатриевой соли изоциануровой кислоты постепенно добавляют 0,1 моля 30% водного раствора формальдегида, затем при интенсивном перемешивании температуру реакционной среды доводят до 98—108° и проводят реакцию при этой температуре 4,5—5 час. В вакууме отгоняют воду и непрореагировавший формальдегид. Смолообразный бесцветный продукт растворяют в диметилформамиде (ДМФА), где растворяется только продукт реакции. Нерастворившуюся часть отделяют фильтрованием, из фильтрата в вакууме отгоняют ДМФА и выделяют бесцветный продукт. Выход 75,5%. Найдено %: С 31,35; Н 3,6; № 22,1. С₅Н₂№3О₅. Вычислено %: С 31,7; Н 3,7; № 22,2.

1,3,-Диметилендикарбоксиятиленизоцианурат (МДКЭИЦ). К 50 мл ДМФА и 8,4 г (0,04 моля) ДОМИЦ при нагревании на водяной бане добавляют 10,87 г (0,12 моля) МА и 0,03—0,04 мл серной кислоты (d 1.834). Реакцию проводят в течение 3,5—4 час. Затем смесь охлаждают, в вакууме отгоняют растворитель. Темно-красный смолообразный продукт экстрагируют этиловым спиртом. После удаления спирта в вакууме выделяют продукт, который неоднократно промывают водой и сущат в вакууме при 40—45° 12 час. Выход 80,3%. Найдено %: С 40,1; Н 2,68; N 10,3. С₁₃Н₁₁N₃O₁₁. Вычислено %: С 40,5; Н 2,85; N 10,9.

1,3-Диметилендикарбоксифениленизоцианурат (МДКФИЦ). Аналогично предыдущему, из 17,76 г (0,12 моля) ФА получено 47% продукта. Т. пл.—330°. Найдено %: С 51,0; Н 2,9; N 8,1. $C_{21}H_{15}N_3O_{11}$. Вычислено %: С 51,9; Н 3,09; N 8,6.

1,3-Диметилендикарбоксиэтилен-5-оксиметиленизоцианурат. Смесь 6 г (0,13 моля) МДКЭИЦ, 30 мл (0,3 моля) 30% водного раствора формальдегида нагревают при перемешивании 95—105°5 час. Воду отгоняют в вакууме, оставшееся высоковязкое вещество темно-красного цвета экстрагируют водой, в вакууме отгоняют воду и выделяют продукт.

Выход 72,5%. Найдено %: С 40,32; Н 3,09; N 10,07. С₁₄H₁₃N₃O₁₂. Вычислено %: С 40,48; Н 3,13; N 11,3.

1,3,-Диметилендикарбоксифенилен-5-оксиметилизоцианурат. Аналогично предыдущему из 6,2 г (0,12 моля) МДКФИЦ после нагревания, растворения в ацетоне, фильтрации, отгонки ацетона и сушки в вакууме при 40—45° получено 64,3% продукта. Т. пл. 182,5—183°. Найдено %: С 50,11; Н 2,95: N 8,03. $C_{22}H_{17}N_3O_{12}$. Вычислено %: С 51,24; Н 3,30; N 8,15.

1,3,5-Триметилендикарбоксиэтиленизоцианурат. Смесь 11,8 г (0,054 моля) ТОМИЦ, 21,16 г (0,21 моля) МА, 50 мл ДМФА и 0,03—0,04 мл серной кислоты (d 1,834) при перемешивании нагревают при 85—90° 4—4,5 часа. Смесь охлаждают, в вакууме отгоняют ДМФА. Остаток про-

мывают спирто-водным раствором (1:1), удаляют непрореагировавшие МА и ТОМИЦ и сушат продукт в вакууме при 40—45°. Выход 45,7%. Т. пл. 150°. Найдено %: С 41,9; Н 2,86; N 8,09. $C_{18}H_{15}N_3O_{15}$. Вычислено %: С 42,1; Н 2,98; N 8,25.

1,3,5-Триметилендикарбоксифениленизоцианурат. Смесь 11,8 г (0,041 моля) ТОМИЦ, 23,7 г (0,164 моля) ФА и 0,02—0,04 мл серной кислоты (d 1.834) при перемешивании нагревают при 87—95° 4,5—5 час., затем в вакууме отгоняют ДМФА и выделяют продукт. Выход 50,5%. Т. пл. 119,5—128°. Найдено %: С 54,1; Н 3,8; N 6.21. С₃₀Н₂₁N₃O₁₅. Вычислено %: С 54,28; Н 31, N 6,34.

ЛИТЕРАТУРА

- 1. В. Г. Островерхов, М. Л. Гончаренко, Л. А. Корниенко, Укр. хим. ж., 37, 1129 (1971).
- 2. Англ. пат. 1319627 (1971).
- 3. В. Г. Остроиерхов, И. С. Вакарчук, Укр. хнм. ж., 28, 95 (1962).
- 4. Англ. пат. 420523 (1933).
- 5. Франц. пат. 769919 (1934).

ՀԵՂԻՆԱԿՆԵՐԻ 8ԱՆԿ

when has de a se	
թեարկ - իլիկամողի իոնափոխանակման ունակությունը ըստ Na, K իոնների	11-822
Արովյան է. Ս., <i>տե՞ս</i> Շկույյով Վ. Ա.	
Արբանամյան Ա. Ա., տե՛ս Խանգադյան Հ. Խ.	1. 7.
Աբրանամյան Ա. Ա., Խանգադյան Հ. Խ. — Ֆաորի և ազոտի ու ֆաորի համատեղ	
ժիկրոորոշումը օրգանական միացություններում	10790
Արբանավյան Ժ. Ի., տե՛ս Չուխաջյան Գ. Ա.	1.190
Ազատյան Ն. Ա. — Էթիլրենգոլի օգտիդացման արդելակումը հիդրագիններով։ [1_53
Ազատյան Ն. Ա. Մանթաշյան և Հ. — է թիլթենորի օգտիդացման ռետկցիայում	
1-ա-ժեթ	1000
nearedhaufpreßjacher II	1_61
Արանասյան Ե. Ն., տե՛ս Հաբությունյան Ռ. Ս.	
Ալավերդյան Ս. Բ., տե՛ս Ներսեսյան Գ. Մ.	
Upfowegray 4. 4., wh's Unsuffinder t. ft.	
Ակլյան Ժ. Ա., Խաչատրյան Ռ. Ա., Իննիկյան Մ. Հ. — Արևառևի հետ բրոժական	
արիֆենիլ(3-ֆենիլարոպադիենիլ)ֆոսֆոնիումի փոխաղդումը	_3_194
Աղաջանյան 8. Ե., Հարությունյան Ա. Դ., Մովսեսյան Ռ. Ա., Չաչոյան Ա. Ա., Մու-	45
րադյան Ռ. Ե. — Աժիծաթթուներ և պեպահրձեր։ XIV, [2 ժոլեկուլ	
իոլիզին պարունակող պեպաիդների և նրանց անալոգների սինթեզը և իուլյան «, «, ա ա-ր	
	009
	11-862
Աղասարյան Ա. Վ., <i>տե՛ս</i> Երիցյան Մ. Լ.	
Ազասյան Պ. Կ., Սիրականյան Մ. Ա., Քրիսասստուրյան Ե. <i>Թ. — Քացախաբթվա</i> -	18 19
jhu apimed multer mountable dem bot /bp2+ apicole abaneale	
էլեկարաբիմիական բնույթը	_3_113
Ազբալյան Ս. Գ., հայիկյան Ռ. Ջ., Թումանյան Կ. Ի. — Մոնո- և դիէթանոլ-	
ամինների գետկցիան β-արոիլակրիլաββուների նետ	_3_168
Ազբալյան Ս. Գ., Խաչիկյան Ռ. Ջ., Թումանյան Կ. Ի. — Ալիֆատիկ ամինոթթու-	
ների նուկլեոֆիլ միացման ռեակցիան β-արսիլակրիլաթթուներին	4-273
Արհկյան Ա. Ա., Գիրջանով Լ. Շ., Մարգարյան Է. Ա. — Արիլալկիլաժինների ածան-	
այալներ, XIV. Մի ջանի արիլալկիլաժինների սինթեզ	9_689
Այնշահյն Վ. Գ., Դավթյան Գ. Ա., Գրիգորյան Ռ. Վ իրդանի բանաձնի որոշ	
պարաժեարերի վերարերյալ ,	_3_134
Ալվագյան Գ. Բ., տե՛ս Օւդյան Մ. Բ.	
Այվազյան է. Մ., <i>աե՛ս</i> Ղափլանյան է. Ե.	
Ալվագյան Տ. Մ., ան՛ս Վարդանյան Ռ. Լ.	
Աշայան Ա. Պ., տե՛ս Դևուգյան Մ. Գ.	
Առաքիլյան Ա. Ս., տե՛ս Գեուգյան Ա. Ա.	
Առաջիլյան Ռ. Ա., Քիլիյան Ա. Պ., Պողոսյան Ռ. Կ. — <i>Կրկծակի Էլեկարական շերաի</i> ունակության չափումը 1,4-դիշջսանի և տետրանիդրոֆուրանի Զերմային	
	40 000
[ncboc] [Stepend	10-732
Առաքելովա Է. Ռ., Ալեբսանդրով Գ. Գ., Սարուչկով Ցու. Տ. — Դիֆենիլածիա Բ. Բ.ի	3 4584
β-զիէ թիլաժիծաէ թիլի էս թերի չիգրորումիզի թյուրեզական և ժոլեկուլյար	1.125

Առուստամյան Ա. Մ., Շաննազարյան Ի. Կ., Նալբանդյան Ա. Բ. — Ածխածնի արգի օջսիդացման ռևակցիայի կինևաիկայի ուսումնասիրությունը չբաժնի առկայությամբ, IV. կախվածությունը ընդնանուր ճնշումից և ջրածնի	
www.chubacBinchin	1-20
Առուստամյան Ա. Մ., Շաննազարյան Ի. Կ., Փիլիպոսյան Ա. Գ., Նալբանդյան Ա. Բ.—	
Ած խած եր օբսիդի օբսիդացման ռևակցիայի կինևարկայի ուսումնասիրու-	
թյունը գրածնի առկայությամբ։ II. Ջերմասաինանային կախվածությունը Առուստամյան Ա. Մ., Շաննազարյան Ի. Կ., Փիլիպոսյան Ա. Գ., Նալբանդյան Ա. Բ.	13
Առուստամյան Ա. Մ., Շահնագարյան Ի. Վ., Փրլիպոսյան Ա. Ի., Ծալբանդյան Ա. Ի.— Ածխածնի օջսիդի օջսիդացման ոնակցիայի կիննաիկայի ուսումնասի-	
րությունը գրածնի առկայությամբ։ III. Ինքնարոցավառման երկրորդ	
ոտչվարև՝	1-14
Առատրյան Ի. Հ., տե՛ս Պողոսյան Գ. Մ.	. 1
Աոլանյան Ս. Ա., տե՞ս Գևուգյան Մ. Գ.	
Ավագյան Ա. Ս., տե՛ս Մարգարյան է. Ա.	
Ավագյան Ս. Վ., տե՛ս Գևուգյան Ա. Ա.	
Ավանեսյան Է. Ս., Ջապլիշնի Վ. Ն., Պողոսյան Գ. Մ. — 2-36 Logup-4,6-բիս/4'-	
վարրոզակֆենիլ)-s-արիագինի, նրա ըլորանկորիդի և դրանց միման վրա	
աղոլիմերծերի տինթեգ	8-627
Ավաճեսյան է. Ս., <i>տե՛ս</i> Պողոսյան Գ. Մ.	
Ավաճեսյան Ն. Ա., <i>տե՛ս</i> Օւդյան Մ. Բ.	
Ավաճեսովա Լ. Մ., տե՛ս Օվչիյան Վ. Ն.	
Ավետիսյան Ա. Ա., Նազարյան Ռ. Հ., Դանդյան Մ. 8. — Ուսու մնասիրու թյուններ	
չնադեցած լակտոնների բնագավառում։ XXVIII. Ցեղակալված -լ-լակտոն-	
անրի սին թեղը և բրորդային «-կետոսպիրտի և անդակալված մալոնա թթվի	
<i>էPիլէ-Pերհերի կոնդենոմամբ</i>	7506
չնագերած լակտոնների բնագավառում։ XXXVII. Տեղակալված վ-լակտոն-	
րրեր որընդան բոնսեմայից «-իրասումինարրենը ը արմարայվաց ամրասե- Տասերնաց [ամասութներ եմամասումինարրենը ը արմամանվաց մնամասա-	
մախանեվի բերքոնբերբեր վորմբըողաղե	0 661
Ավհաիսյան Ա. Ա., տե՛ս Սաբգոյան Ս. Ն.	9-665
Ավհայան Շ. Ա., <i>տե՛ս</i> Իշադյան Մ. Ա.	
Ավհտյան Վ. Ք., տե՛ս Շիբոյան Ֆ. Ռ.	1
նրսենաև Ս. Դ., Մանրաշյան Ա. Հ. — Ակտիվ կենտրոնները էթիլենի գագաֆագ	
օրսիդացվան ահակցիայում	9-648
Արսենաև Ս. Դ., Մանթաշյան Ա. Հ. — Գերօգսիդային ռադիկալների հայանարե-	
րումը օլեֆինների թերժիկ օգոիդացման ռեակցիաներում	9700
Արստամյան Ժ. Մ., <i>տե՛ս Գ</i> առայան Վ. Մ.	
Բաթայան Ա. 🖦 տե՛ս Մկոտչյան Ռ. Ս., Քոչարյան Ս. Տ., Օնանջանյան Ս Մ.	
Բաբայան Ա. Թ., Չուխաջյան Է. Հ., Մանասյան Լ. Հ. — Հետապոտություններ	
աժինների և աժոնիումային ժիացությունների ընտդավառում։ CXXXVII.	
Դիալեիլպրոպարդիլ (=լեիլ) (3 - պ - ջլորֆեսիլպրոպարդիլ) ամոնիումային	
maph chatud ammitiaded spingulparimite affilurate	7-489
Բաբայան Ա. Թ., Քոչարյան Ս. Ց., Օճանջանյան Ս. Մ. — Վի <i>եիլաիրադոլիեի առա</i> -	
Տանուղն չիմեամիրչիմնատի բ ահիանկինոնսառանձին ու 3-միրինաևսառան-	
գրլաժոնիում ազերի փոխաղգեցությունից .	11—876
Բաբայան Ս. Գ., <i>տե՛ս</i> Բալհկաև Ա. Գ., Հա ւությունյան Ա. Մ. Բադալյանց Ի. Պ., <i>տե՛ս</i> Խաժակյան է. Վ.	
Բադանյան Շ. Հ., <i>տե՛ս</i> Խոբմյան Ա. Պ., Խուդոյան Գ. Գ., Մակաբյան Գ. Մ.	
Մխիթաշյան Գ. Ռ., Մուլյան, Ն. Մ., Ոսկանյան Մ. Գ., Սաւգոյան Մ. Ս.	
հաղանյան Շ. Հ., Մինասյան Ց. Ց. — <i>Չեագեցած ժիացությունների «հակցիաներ</i> ։	
XLIX. Վինիլացետիլենային կետոնների սինթեղ	
³ ադանյան Շ. Հ., Քինոյան Ֆ. Ս., Միթարյան Գ. Ռ., Խրիմյան Ա. Գ. — <i>Ամբիֆու</i> Հ.	6-452
նիսրու անիքանաանանքինջանսերջինրընի սրաննիար ապիրջրեն չրա	11 979
Բալայան Մ. Ա., տո՛ս Բալեկաև Ա. Գ.	-1010

Բալեկաև Ա.Գ., Բալայան Մ.Ա., Լազլագյան Ս.Հ., Փիլոյան Հ.Հ., Բաբայան Ս.Գ.— Միլիցիումի դիօքսիդի տարբեր ձևափոխությունների թյուրեղացման պրո-	
gka ի հետադոտություն	5-390
րալյան Կ. Ա., <i>տե՞ս</i> Հաrությունյան Ա. Մ.	
քաղդասառյան Ռ. Վ., <i>տե՛ս</i> Պետոսսյան Ռ. Ս.	
Բաrատով Ա. Ն., <i>տե՛ս</i> Մկrյան Տ. Գ.	
Ռարսամյան Ս. Թ. — <i>էլեկտրական բևեռացվան պրոցեսի Թերմոդինամիկա</i> ն պո-	
լիմեր բերառմ։	4-354
Րարսամյան Ս. Թ. — Գոյիժերներում էլեկտրական բեեսացման պրոցեսի Թերժո-	
կինետիկ ձետազոտություն։ 11. Բևեռացվան տարրական ակտի գնա-	
humanle	4-276
Բարսամյան Ս. Թ. — Գոլիմերծերում էլեկտրական բևեռացման պրոցեսի բերմո-	
կինետիկ ձևտաղոտություն, [[], Բևեռացման պրոցեսի կինետիկա	3-304
Ռարսամյան Ս. Բ., Պողոսյան Է. Տ. — <i>Տարրական ակահրի ուսումնասիրությունը</i>	
վինիլացետիլենի պոլիմերման ոլրոցեսում	12-201
Բելյակովա Լ. Դ. Կալպակյան Ա. Մ. — Քսենոնի ցածրջերժաստիճանային ադ-	
աորդակայի միջոցավ կորալաի բլորիդների մակերեսի անհամասեռության	
ուսումնասիրությունը	9 _ 353
քեյլերյան Ն. Մ., տե՛ս Գևորգյան Մ. Գ., Հարությունյան Ռ. Ս., Ղուկասյան Բ. Տ.,	
Մարգաբյան Շ. Ա., Մեյիքսեթյան Ռ. Պ., Մխիթաբյան Ս. Լ., Սողոմոնյան Բ. Մ.,	
Սաբուխանյան է. Ռ., Փիբումյան Գ. Պ.	
Բեյլերյան Ն. Մ., Պողոսյան Ժ. Ա., Մարմարյան Գ. Ա.— <i>ԲԳ</i> —ֆեն <i>իլգիէ Թանոլաժ ին</i>	
համակարգով հարուցված մեթիլմետակրիլատի պոլիմերման կինետիկա	10-783
Բունիաթյան Ժ. Մ., <i>տե՛ա</i> Շկուլյով Վ. Ա.	
Դարբիելյան Հ. Ա., տե՛ս Պետրոսյան Վ. Ա.	
Գյոզալյան Հ. Ի., <i>տե՛ս</i> Գևուգյան Ա. Ա.	
Գյուլբուղաղյան է. Վ., Վան-Նզոկ-Խիոնգ, Դուրգարյան Վ. Հ. — <i>ԴիջլորմեԹիլ-ն-</i>	
մե Pիլ-2,3-դիհիդոո Pիննո(3,2-C) ջինոլինների նուկլեոֆիլ տեղակալման	
ատակցիաներ	4-254
Դրիգորյան Ա. Ս., <i>տե՛ս</i> Դուրգարյան Ա. Հ.	
Գրիգորյան Գ. Գ., <i>տե՛ս</i> Փիրումյան Գ. Պ.	
Գրիգորյան Գ. Գ., Մուշեղյան Ա. Վ. — SiO ₃ -ի տրիդիմիտային և կրիստորալի-	
տային ստրուկաուրաների մակերեսային հիդրօջոիլ խմբերի կոնֆորմայիոն «	
	11-811
հատկությունների հաշվարկը	11-011
Գրիզույան Գ. Լ., <i>տե՛ս</i> Մինասյան Վ. Թ.	
Գրիգույան Գ. Հ., տե՛ս Մակարյան Է. Մ.	
Գրիգույան Ն. Ա., տես Մնջոյան Հ. Լ.	7_533
Գրիգորյան Ռ. Գ. — Կաշվի կարված պոլիժերների տռաջացուժը	1-223
Գրիզորյան Ռ. Բ., Զաիկին Վ. Գ., Թադևոսյան Կ. Ա., Կուռոյան Ռ. Ա., Սանակովա	
կ. Է. — 2-Ալկիլտեղակալված 4-աժինո-4-ֆորժիլտետրանիդրոպիրանների	
մասս-սպեկարոմեարիկ ուսումնասիրություն	5-403
Գրիգույան Ռ. Թ., <i>տե՛ս</i> Սոլոմինա Լ. Պ., Վարդանյան Ս. Հ.	
Գրիզորյան It. Վ., տե՛ս Այնջտեյն Վ. Գ.	
Գրիգորյան Ս. Կ. — <i>Երկարժեք կորալաի և պղնձի իոնների ազդեցությունը կո</i> ւ-	
արի գինումի անակարագային արանական արանական անաներ	
միջավայրում	3-337
Գրիգորյան վ. Ձ. — CaO-As ₂ O ₃ -H ₂ O սիստեմի ուսումնասիրությունը	-3-127
Գրիգույան Վ. Վ., տե՛ս Քոչարյան Ս. Տ.	
Գուլլեr Բ. Դ., տե՛ս Կոստանյան Ա. Կ.	
Գևորգյան Ա. Ա., Առաքելյան Ա. Ս., Քիզանցյան Ն. Մ. — Արոժատիկ ածխավը»-	
ծինների ալկիլումը դիհիդրոպիրաններով	2-3-186
Գևորգյան Ա. Ա., Թորմաջյան Գ. Գ. — Ալիլկարբինոլների և սպիրտների են եր-	
Shel albert to 8 8 allton 1 8 annuls Shel makes Sheet and	7_436

Գոորգյան Ա. Ա., Կոսյան Ս. Մ., Գյոզալյան Ջ. Ի. — 4-Մեթիլգինիդրո-211-պիրանի նիման վրա ալկիլկարբինոլների սիսթեղը և դիներրոպիրանային օղակի	
makaningang thand all gath authrephiletet hangir	6-436
Գևորգյան Ա. Ա., Ղազարյան Փ. Ի., Ավագյան Ս. Վ. — Գրիեյարի ռետկարկների	
	157
dhigaduspand	_3_188
Գևորգյան Ա. Ա., Ղազարյան Փ. Ի., Ավազյան Ս. Վ. — 4.4-Դիմենիլ-1,3-դիօջսանը որպես լուծիչ ակարկ մենիլենային միացունյունների նիմբերի ներկայու	
թյազը ունիլանրընու գաղարան	D 434
Գեորգյան Ա. վ., Հովսեփյան Մ. Ե., Սաֆարով Ա. Շ. — Հուժույթում բձեռային	0036
(արդյար) մակրոմոլեկուլների համատեղելիության մասին	_8107
Դեուգյան Գ. Ա., տե՛ա Չուխաչյան Գ. Ա.	
Գերոգյան Մ. Ա., տե՛ս Կոժեմյաչենկո Լ. Ի.	
Գեւրգյան Մ. Գ., Բեյլերյան Ն. Մ., Աշայան Ա. ۹. — Նատրիումի պետտադեցիլ-	
սուլֆոնատի ազդեցությունը դիֆենիլանին-կալիումի պերսուլֆատ	
տետկցիայի կինետիկայի վբա	5-291
Գեորգյան Մ. Գ., Բեյլերյան Ն. Մ., Ասլանյան Ս. Ա., Ղամբուրյան Ռ. կ., Դավ-	
թյան Ա. Գ. — Մակերեսորեն ակաիվ հյութերի միցելների ազգեցությունը	
inthursh debauridmoud mphipph obnhamagang Apppapitable dam Samite	
հ ջրա-էթանոլային լուծույթներում	8553
Գեորգյան Մ. Գ., Կարապետյան Թ. Ղ., Մարյանյան Ա. Ի., Լևոնյան Ա. Վ., Մել-	
թո6յան L. Գ. — Ոչիոծոգհե ժակերևսորեն ակտիվ նյունի փոջը ավելցուկ-	
apbb madpaurbiurgie abhapplimapp faifuregb apbnaridmu upmpahmib	
4156-14-14 dru	5-296
Iharqimi f. 4. wh's operation 4. 4.	
Գեուգյան Ռ. Ա. տե՛ս Դովլարյան Վ. Վ.	
Գևուգյան Ս. Բ., տե՛ս Հակորյան Լ. Ա.	
Sharque V. R. ma's Huparjue V. V.	
Գեուգյան Ս. Ս., տե՛ս Կոժեմյաչենկո Լ. Ի.	
Դանիելյանց է. Ս., <i>տե՛ս</i> Օվչիյան Վ. Ն. Դանդյան Մ. Տ., <i>տե՛ս</i> Ավետիսյան Ա. Ա., Զալինյան Մ. Գ., Հախնազաբյան Ա. Հ.,	
Հարությունյան Վ. Ս., Մեստոպյան է. Գ.	
Դավրյան Ա. Գ., <i>տե՛ս</i> Գևուգյան Մ. Գ.	
Դավթյան Գ. Ա., տե՛ս Այնջահյն Վ. Գ.	
Դավիդովա Ն. Մ., <i>տե՛ս</i> Մանվելյան Մ. Գ.	
Դավիդյան Դ. Բ. — Էլեկարոկինետիկական պոտենցիալի տուսցացվան մի Հետ-	
բավոր մեխանիզմի մասին	5-313
Դոնսկիխ Ի. Բ., Մաթևոսյան Ռ. Հ. — <i>Լուծիչի ազդեցությու</i> նը <i>հիդրազի</i> ննե <i>րի ալի</i> կ	0-013
երքանդար արարնիայի վետ	5-368
Դոնակիխ Ի. Բ., <i>տե՛ս</i> Մարևոսյան Ռ. Հ.	
Դոնսկիխ Օ. Բ., տե՛ս Մաթեոսյան Ռ. Հ.	
Դովլաթյան Վ. Վ., Գևորգյան Ռ. Ա. — Գեստիցիդների սինթեգ։ Հալոգեննիարիլ-	
երի ռետկրիան սիմ-արիադինիլգիտիոկարթագինատների հետ	11-851
Դուրգարյան Ա. Հ., Գրիգորյան Ա. Ս., Թերլեմեզյան Ժ. Ն. — <i>Տեղակալիչ հերի ազ-</i>	
գեցությունը ֆուծկցիոնալ խմբերի ռեակցիոնունակության և բենդայգև-	
ւթե-ոտիրոն չապատմանիդբետնդար պարնիակի վետ	6381
Պութգաթյան Վ Հ., տե.ս Գյուլթուդաղյան է, Վ.	
Եդիգաբյան Ա. Ա., տե՛ս Ներսեսյան Գ. Մ.	
Եդիազաշյան Ա. Մ., <i>տե՛ս</i> Նիկողոսյան Լ. Լ.	
շնցոյան Ա. ♦., Լուկյանենկո Ն. Լ., Խաժակյան Լ. Վ., Մինասյան Ս. Ա., Նա-	
գարյան Վ. Մ., Մարգարյան Է. Ա. — Դիաստերեռիդոմեր 3-մեթիլ-4N-դիայ-	
ֆիլաժինո-2-րուտանոլների նարարերական կոնֆիզուրացիայի ուսումնա-	
	11-825
արան Կ. Ա., <i>տե՛ս</i> Երիգյան Մ. լ.	

նրիցյան Մ. Լ., Մարության Հ. Հ., Աղասարյան Ա. Վ. — 1,3-Դիրևնդիլ-5-ալիլիդո-	
ցիանուրատի սինթեգը	5_338
նրիցյան Մ. Լ., Քարամյան Ռ. Ա. — Իգոցիանուրա ₽ թվի դի- և արիաժանցյալների	40 200
թարդ եքերենրի ոինքեզ	13-334
(տաքաննվի ահերդրիդ)իդոցիահուրատի ալիֆատիկ և արոմատիկ ամիննե-	
իսվ արձանդար դրիարիմդի սշոււդրասիսություրը ՝ ՝ ՝ ՝ ՝ ՝ ՝ ՝ ՝ ՝ ՝ ՝ ՝ ՝ ՝ ՝ ՝ ՝ ՝	4-279
Սրիցյան Մ. Լ., Քարամյան Ռ. Ա., Հարությունյան Բ. Ս., Եսայան Կ. Ա. — <i>Տրի</i> ա-	
(սաթանթվի աննիգրիդ)իզոցիանուրատի և նրա վրա հիմնված խեժերի	
manageryle	4-282
<u> Հաիկին Վ. Գ., տմ ս Գրիգույան Ռ. Թ.</u>	
Չալինյան Մ. Գ., տե՛ս Հաrությունյան Վ. Ս.	
Չալինյան Մ. Գ., Հարությունյան Վ. Ս., Դանգյան Մ. S. — Մի բանի կետոկաներ-	
րրեփ ֆետանրար անվարդիրի կասանումինաասվ վենակարությար դա-	
մանակ	6-412
Չալինյան Մ. Գ., Հարությունյան Վ. Ս., Դանդյան Մ. Տ. — Մի թատի կետոլակտոն-	
արեն վրե-մարմրուգն անհուդիրի իմստեստնիրատով · · · · · · · · · · · · · · · · · · ·	7-5/8
Հապլիջնի Վ. Ն., <i>տեւ</i> ս Ավանհայան Է. Ս., Պողոայան Գ. Մ.	
ջինյուկ Ռ. Յու. տե՛ս Կոստանյան Ա. Կ.	
Թադևոսյան Գ. Տ., <i>տե՛ս</i> Պողոսյան Ս. Հ.	
Իադևոսյան Կ. Ա., <i>տե՛ս</i> Գրիգորյան Ռ. Թ., Վարդանյան Ս. Հ.	
Իաղևոսյան Ն. ö <i>տե՛ս</i> Ղափլանյան է. b.	
Թանմազյան Կ. Մ., <i>ան՝ ա</i> Մկոտչյան Ռ. Ս.	
քառայան Վ. Մ., տե՛ս Միրզոյան Ֆ. Վ.	
Թառայան Վ. Մ., Պողոսյան Ա Ն., Արստամյան Ժ. Մ. — Գալիումի եջոտրակ-	
ցիոն-արտորդակումնարիկ որոշումը պիրոնին Ж-ով	7 _ 482
Physradd 9. U., wh's Unraprasjue U. 9.	
Թեւգյան Ա. Գ., <i>տե՛ս</i> Պողոսյան Ս. Հ. Իեւլեմեզյան Ժ. Ն., <i>տե՛ս</i> Դոււգաւյան Ա. Հ.	
Թորգոմյան Ա. Մ., Հովակիմյան Մ. Ժ., Իննիկյան Մ. Հ. — 1-Ալկօբ»ի-2-բրոմէթիլ	
կամ 1-այկօբոիեթիլ խումբ պարունակող ֆոսֆոնիումային ացերի և քրի	
արտանորանորը և և և և և և և և և և և և և և և և և և և	9_669
Քորոսյան Ա. Գ., Միրզոյան Ռ. Հ., Իրադյան Մ. Ա. — Իժիղագոլի ած≃նցյալներ։	
X. Տեզակալված 4(5)-ֆենիլիմիդագոլների թրոմածանցյալների սինթները	
h dwww-wybhopadkmphh hkommannadp	5-383
Paranjul Գ. Հ., ան'ս Մկրայյան Ռ. Ս.	
Թոքմաջյան Գ. Գ., տե՛ս Գևուգյան Ա. Ա.	
Թումանյան Կ. Ի., <i>տե՛ս</i> Ադրայյան Ս. Գ.	
Իննիկյան Մ. Հ., տե՛ս Ակլյան Ժ. Ա., Թուգոմյան Ա. Մ.	
իսշանլյան Ռ. Գ., <i>տե՛ս</i> Վարդանյան Ռ. Ս.	
Իրադյան Մ. Ա., տե՛ս Բորոսյան Ա. Գ.	13327
իրադյան Մ. Ա. Իրադյան Ն. Ս., Ավհայան Շ. Ա. — <i>Իմիդազոլի ածանցյալներ</i> ։	
XI. Տեղակալված 1-րենդիլ-4-նիարո- և 1-րենդիլ-2-մեթիլ-4-նիարաիմի-	
գաղոլների բրոմացման ռեակցիայի հետաղոտումը	6-436
Իրադյան Ն. Ս., <i>տե՛ս</i> Իրադյան Մ. Ա.	
լագլագյան Ս. Հ., <i>տե՛ս</i> Բալեկաև Ա. Գ.	
կուկլանենկո Ն. Լ. <i>տե՛ս</i> ծնգոյան Ա. Փ.	
լևոնյան Ա. Վ., <i>տե՛ս</i> Գևուգյան Մ. Գ.	
<mark>հաժակյան Լ. Վ., Բադալյանց Ի. Պ., Մկրաչյան Հ. Պ., Նորավյան Ա. Ս. — Թի</mark> ո-	
ֆենի շարջի մի ջանի ամինա- և ամիդաթթուների կառույցի ուսումնա-	
աիհաշել հաշրն ից սանբկահան արունիմի օմրոշել հաղև · · · · · · · · · · · · · · · · · · ·	7-516
հաժակյան է. Վ., <i>տե՛ս</i> Ենգոյան Ա. Փ.	
հանամիրյան է. Ա., Շանինյան Ա. Ա. — <i>Ելեկտրոլիտի ազդեցությունը անիոնայի</i> ն	
ՄԱՆ-ից և ջրալույծ պոլիմերից բաղկացած խառը ադրեգատների կա-	9_703
max sale dam	

հանգադյան Հ. հ., Աբրանամյան Ա. Ա. — <i>Օրգահական ժիացություններում</i>	
ագոտի. ֆաորի և հալոգեծների (Cl. Br. I) համատեղ միկրոորոշումը	1079:
խանգաղյան Հ. Խ., տե՛ս Արբանամյան Ա. Ա.	
հանուկանա Ն. Ս., <i>տե՛ս</i> Վարդանյան Ռ. Լ.	
հայասույան Գ. Ս. տե՛ս Մուլյան Ն. Մ.	
հայատրյան է. Ա., Մանթաշյան Ա. Հ. — <i>Ռեակտորի մակերեսի ազդեցու Բյու</i> Նը	
էթանի գագաֆազ օբոիդացման վըա	4-208
հայատրան է, Ա., <i>տե՛ս</i> Մանրաշյան Ա. Հ.	
հայատրյան Ռ. Ա. <i>տե՛ս</i> Ակլյան Ժ. Ա.	
Խաչատրյան Ռ. Մ., <i>տե՛ս</i> Վարդանյան Ս. Հ.	
խաչատրյան վ. է., <i>տե՛ս</i> Միրզոյան Ռ. Գ.	
հաչիկյան Ռ. Ջ <i>տե՛ս</i> Աղբալյան Ս. Գ.	
հայկավանքգյան Շ. Ս., տե՛ս Արաքյան Կ. Ս.	
հեչումյան Ե. Մ., <i>տե՛ս</i> Մակաբյան Է. Մ.	
հորհմյան Ա. Գ., Բադանյան Շ. Հ. — Ձհագեցած միացությունների ռեակցիաներ։	
IV. ըրրորդային վինիլարոպարգիլային թլորիդների վերականգնումը	
The making durided	7_498
երիմյան Ա. Գաղանյան Շ. Հ. — Ձնագեցած միացությունների ռեակցիաներ։	7—100
IVI. Մի ջանի ժոնո- և դիջլորացետիլենային ածիաքրաժինների վերա-	
	0 400
կանգնում <i>ը դինկ — պզինձ զույգով</i>	9682
արրսյան Կ. Կ., <i>ան և</i> Բադասյան Մ. Հ. Ռուդոյան Գ. Գ., <i>ան՝ ս</i> Ոսկանյան Մ. Գ.	
հուղոյան Գ. Գ., Ոսկանյան Մ. Գ., Բադանյան Շ. Հ. — Ձետգեցած միացություն-	
ահրի ռեակցիաներ։ LII. Վինիլաբոպարդիլային միացությունների տեղա-	
կալման ռետկցիաների որոշ առանձնահատկությունների մասին	11 - 840
Կալպակյան Ա. Մ., <i>տե՛ս</i> Բելյակովա Լ. Դ.	
Կառապետյան Զ. Ա., <i>տե՛ս</i> Միոզոյան Ֆ. Վ.	
Կառապետյան Բ. Գ., <i>տե՛ս</i> Պողոսյան Գ. Մ.	
Կառապետյան Թ. Ղ., տե՛ս Գևուգյան Մ. Գ.	
Կոգորովիցկի Ա. Bu., Մանաննիկով Բ. ۹. — Կաթնաթթվի ստարման նոր հղանակ	9_715
Կոժեմյայենկո Լ. Ի., Գևորգյան Ս. Ս., Գևորգյան Մ. Ա. — Գոլիութե Թանային կառո	
չուկ CKV-8A-ի հիման վրա սոսինձների ամբության հետադոտումը	9_717
Կոսյան Ս. Մ., տե՛ս Գևուգյան Ա. Ա.	
հոստանյան Ա. Կ., Գուլլեր Բ. Դ., Զինյուկ Ռ. Յու., Պոգին Մ. Ե. — Ահերգրերի	
րյուրեղացման ուսումնասիրությունը ֆոսֆորաթթվական լուծույթներում	5-320
Կոստանյան Կ. Ա., Հակոբյան Ա. Ձ.— <i>Գերժանատային ապակիների ածային</i>	0
ընդարձակման գործակիցը	8 190
հաստանյան Կ. Ա., <i>տե՛ս</i> Ջավադյան Վ. Գ.	_5140
Կոստանյան Կ. Ա., Ջավադյան Վ. Գ., Հունանյան Լ. Գ. — RO—B ₂ O ₃ —GeO ₂ հա-	
դարանձի լիրվիմանվով տանակիրբերի տանակրնդար ֆրեդասաիջարջբերի բ	
	10 740
կուկոյև Վ. Պ., <i>տե՛ս</i> Չուխաջյան Գ. Ա.	10-746
Կուռոյան Ռ. Ա., <i>տե՛ս</i> Գրիգորյան Ռ. Թ.	
Հախնագարյան Ա. Հ., Մանուկյան Մ. Ա., Դանդյան Մ. Ց. — 2,7-Դիալկիլ-2-աժի-	
	_3167
Հախնազարյան Ա. Հ., Մանուկյան Մ. Ա., Դանդյան Մ. Տ. — Որոշ ժոնո- և դիլակ-	
madhipp uptipliq	5387
Հակոթյան Ա. Հ., <i>տե՛ս</i> Կոստանյան Կ. Ա.	
Հակոբյան Լ. Ա., Համբարձումյան Գ. Վ., Հովակիմյան Է. Վ., Գևորգյան Ս. Բ.,	
Մացոլան Ս. Գ. — 1,8-Դիացետիլենային միացությունների փոխարկումը	
դրատմափողանրընսանիր ըատանիմատանորեկ որևկանաբելուն հագե	7-510
Հակոթյան Հ. Հ., <i>տե՛ս</i> Օւղյան Մ. Բ.	
Հակոթյան Ս. Վ., <i>տե՛ս</i> Մաանիջյան Հ. Ա.	
Հակորյան Տ. Ռ., <i>տե՛ս</i> Վարդանյան Ս. Հ.	

Համբաբձումյան Գ. Բ., տե՞ս Մհորոպյան Է. Գ.	
Համրա-ձումյան Գ. Վ., <i>տե՛ս Հ</i> ակորյան Լ. Ա.	
Հայրապետյան Դ. Կ., <i>տե՛ս</i> Մարգարյան Է. Ա.	
Հաrությունյան Ա. Դ., <i>տե՛ս</i> Աղաջանյան 8. b.	
Հարությունյան Ա. Մ., Բալյան Կ. Ա., Բաբայան Ս. Գ. — Կալցիումի օգոիդով դի-	
ատոմիաի կրայնացման մեխանիզմի մասին`	12935
Հաբությունյան Ռ. Ս., <i>տե՛ս</i> Եբիցյան Մ. Լ.	
Հարությունյան Ռ. Ս., Բեյլերյան Ն. Մ., Աթանասյան Ե. Ն., Սիմոնյան Լ. Խ. — Մի	
ետրի օևմարավար դավրքուներրեի տանրնուն յուրն ըատեխուդի անրոսա-	
արանիլոսուլֆորատի կոլոիդադիսիական հատկություններ վրա	8-560
Հարությունյան Ս. Ա., տե՛ս Մկրյան Տ. Գ.	
Հաrությունյան Վ. Ս., տե՛ս Զալինյան Մ. Գ.	
Հարությունյան Վ. Ս., Զալինյան Մ. Գ., Գանդյան Մ. Տ. — Մի ջանի կետորթու-	. 70.00
ների էսթերներ	6-421
Հարությունյան Վ. Ս., Ռոստոմյան Լ. Հ., Զալինյան Մ. Գ., Դանզյան Մ. Տ. — Դի-	
կարթոնաթթուների խառը և սիմետրիկ էսթերների սինթեղ	5-341
Հովակիմյան է. Վ., տե՛ս Հակորյան Լ. Ա.	
Հովակիմյան Մ. Ժ., <i>տե՛ս Թ</i> ուգոմյան Ա. Մ. Հովճաննիսյան Գ. Բ., Մնացականյան Վ. Հ. — <i>Դիտերպենային լակառ</i> ն՝ տ <i>եռուկրի</i> ն	
	10-768
H1-ի կառուցվածքը	10-705
H2-ի կառուցվածքը	10_776
Հովճաննիսյան է. Բ., տե՛ս Մանվիլյան Մ. Գ.	10-110
Հովճաննիսյան Կ. Բ. <i>տե՛ս</i> Մանվելյան Մ. Գ.	
Հովսեփյան Մ. Ս., տե՛ս Գևուգյան Ա. Վ.	
Հունանյան Լ. Գ., <i>ան՝ս</i> Կոստանյան Կ. Ա.	
Ղազարյան կ. Գ., Ղարիբյան Թ. Ա., Նալբանդյան Ա. Բ. — <i>Շղթայի հարուղվա</i> ն	
ավաի սշոսշությարինուդն անիկինոկիմբերի ճանճանդար մբոնքուդ · · ·	1-27
Ղազարյան Հ. 8., Միսարյան Ս. 0., Մարտիրոսյան Գ. Թ. — N- <i>Բեեզիլկետիմիե</i> -	
ների ալկիյումը ստիրոլով	12_913
Ղազաբյան Փ. Ի., <i>տե՛ս</i> Գևուգյան Ա. Ա.	
Ղամթության Ռ. Կ., տե՛ս Գևուգյան Մ. Գ.	
Ղարիբյան Ե. Գ., Մուրադյան Ա. Ա., Ղարիբյան Թ. Ա. — Հիգրոպերօջանգային և	
ալկիլպերօգոիգային ռագիկալների բանակական որոշումը ԷԳՌ ոպեկտր-	
They who gly	1-67
Ղարիբյան Ե. Գ., Մուրադյան Ա. Ա., Ղարիբյան Թ. Ա. — Բուտիլահրօբսիդային	-1
աադիկալեերի վաճարա օրինաչափությունը տարբեր վակերեսեերի վրա	7-466
Ղաբիբյան Ք. Ա., տե՛ս Ղազաբյան Կ. Գ., Ներսիսյան Լ. Ա., Ղաբիթյան Ե. Գ.	
Ղափլանյան Է. Ե., Այվազյան Է. Մ., Մկրյան Գ. Գ., Թադևոսյան Ն. Ց., Մկրյան	
Գ. Մ. — Հետազոտություններ չնագեցած միացությունների բնադավ=-	
aned: IV. 1,4-Դիցլոր-2-մեթիլ-2-րուտենի ցածրջերմաստինանային ջլո-	
ևանղար անմվուրերբեն բ ընտրն լիղար վետ իմսաների տգաբնվանրեկ	100
ատացումը	9-660
Ղուկասյան Ա. Հ., Շաննազարյան Գ. Մ. — Դիֆենիլարիֆառըմեթիլկարըինոլի	
ցիկլոգենիդրատացումը 9-արիֆտորժեթիլֆլուորենի	9-711
Ղուկասյան Թ. Տ., Մխիթարյան Ռ. Պ., Բեյլերյան Ն. Մ. — Ag^+ 4 Cu^{2+} իոնհերի	
ազդեցությունը կալիումի պերսուլֆատ-դիէթիլեթանոլաժինի ռեակցիայի	40 000
կիծհարկայի և մետանիզմի վրա	12897
Ղուկասյան Գ. Ս., Մանրաշյան Ա. Հ., Սայադյան Ռ. Հ. — Քացախալդենիդի ավե-	n 101
լացումների ազդեցությունը պրոպանի կայունացված սառը բոցի վբա	7—461
Մաթեռոյան Ռ. Հ., <i>տե՛ս</i> Դոնսկիխ Ի. Բ., Նիկողոսյան է է.	6-446
Մարևոսյան Ռ. Հ., Դոնսկիխ Ւ. Բ., Դոնսկիխ Օ. Բ., Մանանիկով Բ. Պ. — պ- <i>Գիկ-</i> բիլառլուիդինի պոլիմորֆ մոդիֆիկացիաների հատկությունների ռասում-	0
րտորիստը կարդան կարդարի իրարարում	6-450
Մալիասյան Ա. 8., <i>տե՛ս</i> Սուքիասյան Գ. Գ.	- 100
vallending of the a difficulting in the	

Մալխասյան Ա. 8., Զանջուլյան Ժ. Լ., Մարտիրոսյան Գ. Ք. — Արոժատիկ աժին-	11 070
ների ալկիլումը չնագեցած միացություններով	11-000
Մալիասյան Ռ. 8., տե՛ս Սարգսյան է. Գ.	
Մակարյան Գ. Մ., Սարգսյան Մ. Ս., Բադանյան Շ. Հ. — Ձնագեցած ժիացություն- ծերի սեակցիաներ։ XLVII. Եիկելի (II) խելատների ռեակցիաները պրոպար-	
րբերի որումներութրև։ YTAII. Օրվուն (II) հունասանե ապանհատանն անեսանաև-	
արիլային հայոցների հետ	4-340
Մակարյան Է. Մ., թեչունյան Ե. Ս., - բրեգորյան Ի. Հ. — Վալցրուսի սուլֆատի դիոսցման պրոցնոր Թերմոդինամիկան ածխածնի և որլիցիումի ոջսիղի	
ատիայության և բացակայության դեպջում	8572
Մանանիկով Ռ. Պ., <i>տե՛ս</i> Մարևոսյան Ռ. Հ., Կոզուովիցկի Ա. Յա.	
Մшնширшն Լ. Հ., տե՛ս Раршյան Ա. Р.	
Մանթացյան Ա. Հ., տե՛տ Ազատյան Ն. Ա., Առսենտե Ս. Դ., Ղուկասյան Գ. Ս., Խա-	
յատրան վ. Ա.	
Մանթաշյան Ա. Հ., հաչատրյան է. Ա., Նիազյան Օ. Մ. — <i>Շզթաների դարդացման</i>	
ժեխանիդմր է թանի թերմիկ օջսիզացման ռեակցիայում	1-40
Մանվելյան Մ. Գ., Գավիդովա Ն. Ս. — Անտիրիստիկների ֆիլտրման պրոցեսում	
\$ himp-dingue 4 however	_3_147
Մանվելյան Մ. Գ., Հովճաննիսյան Կ. Բ Ավտոկլավում երկրաչափականորեն	
մոդիֆիկացված ոիլիկանողի ուլարածակոտկեն կառուցվածջի հռակալումը	4-220
Մանվելյան Մ. Գ., Հովճաննիսյան Կ. Բ., Հովճաննիսյան Է. Բ., Վարուժանյան	
և և - Հեֆելինային տիենիաների մշակումից տաացված տիլիկանոգի	
ուլաբածակոտիեն կառուցվածջի եռակալումը	_3_139
Մանուկյան Մ. Ա., տե՛ս Հախնազաբյան Ա. Հ.	
Մատնիշյան Հ. Ա., Հակոբյան Ս. Վ. — Գոլիագոֆենիլենների ստացումը	6-441
Մարգարյան է. Ա., տե՛ս Աղեկյան Ա. Ա., Ենգոյան Ա. Փ., Սոլոժինա Լ. Պ.	
Մարգարյան Է. Ա., Ավագյան Ա. Ս. — Արիլ-լկիլ-մինների ծ-նրյ-լներ, XII.	
4,4-Գիֆենիլ-3-մեթիլ-3-րուտիլաժինների սինթեղ	6-434
Մարզարյան Է. Ա., Հայրապետյան Գ. Կ. — Իզոբինոլինի աժանցյալներ։ XIII.	
1-Արիլալկեսիլ(կամ ալկեսիլ)-3,8,7-տեղակալված իզորինոլինների հիգրո-	
թլորիդների և վերականգնված ածանցյալների սինթեղ	10-737
Մարգարյան Է. Ա., Մինասյան Ս. Ա., Նազարյան Վ. Մ., Ոսկանյան Ս. Վ. — 3-Մե-	
Phi-4-ababphi- 4 3-46Phi-4N-abtphimafan-2-pnemmaniahph and aba-	
Pեզը և Նրանց բաժանումը գիաստերեռիզոժերների	11_947
Մարգարյան Շ. Ա., Փիրումյան Գ. ۹., Բեյլերյան Ն. Մ 9nifogaht Phitimgdat	
հերսադեկանոլ-20-ի հիդրատացիայի ուսումնասիրությունը ՄՄՌ մեթադով	4-824
Մարզոյիս Լ. Յա., տե՛ս Ներսիսյան Լ. Ա.	
Մաշվաբյան Գ. Ա., <i>տե՛ս</i> Բիլլեբյան Ն. Մ.	
Մարյանյան Ա. Ի., տե՛ս Գևուգյան Մ. Գ.	
Մարտիրոսյան Ա. Գ., Մարտիրոսյան Ա. Պ., Թեդորաձե Գ. Ա. — Ակրիլոնիացիլի	
	13-922
Մաստիրոսյան Ա. Պ., <i>տե՛ս</i> Մաստիրոսյան Ա. Գ.	
Մաստիրոսյան Գ. Տ., տե՛ս Ղազաբյան Հ. Ց., Մալիսասյան Ա. Ց., Սուքիասյան Գ. Գ.	
Մարաիրոսյան վ. Ա. — Քրոժային հանջերուժ պարունակվող օջոիդների բլորա-	
ջրածնով ըլորացման արացեսի Թերմոգինամիկայի մասին	2-3-92
Մարաիրոսյան Վ. Ա. — Քրոմային հանջերում պարունակվող բարդ օրոիդների	
ֆլոբացժան պրոցեսի Թերժողինաժիկայի մասին	_3_100
Մաrուքյան Հ. Հ., տե՛ս Երիցյան Մ. Լ.	
Մացոյան Ս. Գ., տե՛ս Հակորյան Լ. Ա., Պողոսյան Գ. Մ.	
Մելիքյան Տ. Ռ., տե՛ս Մկրտչյան Ռ. Ս.	
Մելիթսեթյան Ռ. Պ., Բեյլերյան Ն. Մ. — Ջրային լուծույթում $S_3O_8^{2-}+$	
+R NCH1CH1OR1 հաժակարգերով հարուցված ակրիլամիդի արլի-	
Skydante hitakanhila	11_893
Մելիք-06անջանյան Ռ. Գ., տե՛ս Միբզոյան Ռ. Գ.	11-09
Միլքոնյան է. Գ., <i>տե՛ս</i> Գևուգյան Մ. Գ.	

* 28-11	-de glanglagengungengungen de ngalagengen gegengungengen de de generalengen de
998-11	- մարլան Ն. Մ., հարարդար Դ. Ս., Բաղանյան Շ. Հ. — Մալոեաթթվական, ացե-
	. d., me'w dangwelgme 8. d d., me'w dangwelgme 8. d d d., me'w dangwelgme 8. d d d. d. d. d. d. d. d. d. d. d
4-250	դային ամանիումային աղերը
828-9	
	purpline il. P. — thomagomack jarkebe mahbebegh և mankparamite dem-
	Մկշտչյան Հ. Պ., տե՛տ հաժակյան է. Վ. Մերաչյան Ռ. Ս., Մելիքյան Տ. Ռ., Թորոսյան Գ. Հ., Թանմագյան Է. Ծ., Բա-
32-I	թթվածնի ռեակցիայի ուսումնասիրությունը CF ₃ BI-ի ձետ
225-0	դաֆադ ռեակցիայի ուսումաանիրությունը ահարագադարդիրուկը ան ին արարգայան է, Ն., Բարաապակ Ա. Ն. — Ատոմար
	Մփբյան Գ. Մ., տե՛ս Ղափյանյան է. Ե. Մփրյան Տ. Գ., Հարությունյան Ս. Ա., Սարգոյան Է. Ն. — Ատոմար թթվածնի դա-
882-9	Մերբանի Գ. Գ. անու Ղափլանիացետատի պոլիսերացված ժամահանը
	ւրագրեր միացություն իրագրության Թ. Ռ. Մխիթարյան Ո. Պ. տես Ղուկասյան Թ. Ռ. Միրերարյան Ս. Լ. Ռեյլերյան Մ. Մ. — Ասինասարիտաները որպես չղիա փոխան-
102-2	Միրիարդան Գ. Ռ. Քինոյան Ֆ. Ս., Բաղանյան Շ. Հ. — ՉՀագերած միացություն»- հերի ռևակցիաներ։ Լ.Լ. Վինիլային ածանցյալների սինթերը ալիլացեաի-
027-2	
269-8	արագրերության արերական Ա. Վ., Սասկիրան Ա. ա. — Ծատորերությերը և Որոշ արոտոնա
	Tangangal d., Bunamyah d., U., Abampangah d. d Apalangh behnapangang d. d., Bunamang d. d., Bunamang d. d., Bunamang d. d., Bunamang d. d., d., d., d., d., d., d., d., d.,
\$\$I —8	- դերա մալգորի — Ա. Ձ. արաակապարել , Մ. յի նարարակ ֆ. վ., ժարորդին ցություն բարակարության իր իր իր հականարություն արև հարար գության դիր արագադ
055-0	գրորակրիժիզին հերի հետրի իպումերների որոշուժը մասս-սպե կաթոժետրիկ մեկնոդով Մերգոյան Ո. Հ., ան՝ « Բուոցյան Ա. Գ.
161-2-	Thpannach f. 4., Ubihp-Obungunling A. 4 Uifogehpebufplungungenigen
292-8	Prade ft. 4 baryampine 4. 5., Ubihp-Ohwegeneine ft. 4. 4. Litereteret
•0-	Միրդարան Ս. Օ., տե՛ս Ղազաբյան Հ. 8. Միրդախանյան Ռ. Մ. — Շարժվող հատիկավոր չհրտի հրդրավևիկական դիմադրու-
97-1	Upenulme S. S., mb'n Amquelme 5. 2.
	The world d. P., Peptappad P. L., duppunging U. A. — Remedy etropological descriptions of the properties.
916— 21	հերի կանդենաացիան եպիրլունիչը են
	-444-41444 4449-4-1 mbridhumbem 2 4499-4-1-1-1-1-1-1-1-1-1-1-1-1-1-1-1-1-1
28	
	Մելնոշյան է. Ն., տես Հուրարյան Գ. Ա. Շեյրանյան Մ. Ա., Դանդյան Մ. Տ. —

Մուլյան Ն. Մ., <i>տե՛ս</i> Նիկողոսյան Լ. Լ.	
Մուջեղյան Ա. Վ., <i>տե՛ս</i> Գրիգորյան Գ. Գ.	
Մուսադյան Ա. Ա., տե՛ս Ղարիթյան Ե. Գ., Ներսիսյան Լ. Ա.	
Մուշաղյան Ռ. Ե., <i>տե՞ս</i> Աղաջանյան Ց. Ե.	
Նագաւյան Մ. Վ., տե՛ս Շաննագաւյան Դ. Մ.	
Նազաբյան Ռ. Հ., տ <i>ե՛ս</i> Ավետիսյան Ա. Ա.	
Նազաբյան վ. Մ., տե՛ս Ենգոյան Ա. Փ., Մարգաբյան է. Ա	
Նալթանդյան Ա. Ռ., <i>տե՛ս</i> Առուստամյան Ա. Մ., Ղազա բյան Կ. Գ., Մինասյան Վ. Թ., յան Լ. Ա.	munita-
Նհոսիսյան Գ. Մ., Ալավերդյան Ս. Բ., Եդիզարյան Ա. Ա. — Մոլիբդենի անոդային	
վարթը հալված ապակե դանգվածում	8579
Ներսհսյան է. Ա Ղարիբյան Թ. Ա., Մարգոլիս է. Ցա., Նայբանդյան Ա. Բ. —	
Մրջնալդենիդի նետերողեն-հոժողեն օբսիդացուժը։ 11. Մրջնալդենիդի օբ-	
որմանուղն տներուգիրի շեռիմի բրերակությացը	1-39
Ներսիսյան Լ. Ա., Մուրադյան Ա. Ա., Ղարիբյան Թ. Ա., Մարգոլիս Լ. Ցա., Նալ-	
բանդյան Ա. Բ. — Մրջնալդենիդի հետերոգեն-հոմոգեն օբաիդացումը։ I.	
Մրջնալդենիդի օբսիդացուժը սիլիկադելի ներկայությամբ	1—13
Նիազյան Օ. Մ., տե՛ս Մանթաշյան Ա. Հ.	
Նիկողոսյան է, է., Եղիազարյան Ա. Մ., Քիրամիջյան Կ. Պ., Մորլյան Ն. Մ., Մա-	
թնոսյան Ռ. Հ. — Դիալկիլ-պ-(2-dbPիլ-5-հեջոեն-8-ին)ֆենիլֆոսֆատների	
աին թեղը և ռադիկալային պոլիմերացման ուսումնասիրությունը	3-338
Նուավյան Ա. Ս., <i>տե՛ս</i> հաժակյան Լ. Վ.	
Շաճինյան Ա. Ա., <i>տե՛ս</i> Խանամիշյան է. Ա.	
Շանխաթունի Հ. Կ., Շիրոյան Ֆ. Ռ., Պարթև Դ. Ձ. — Ինդոլի ածանցյալներ։ LXI.	
3-Ալկիլ-11-մե թոջաի-120-մե թիլ-1,2,3,4,6,7,8,120-օկտահիղրոինդոլո(3,2-2)-	
գինոլիդիններ	11-857
Շաճնազաբյան Գ. Մ., <i>տե՛ս</i> Ղուկասյան Ա. Հ.	
Շաճնազարյան Գ. Մ., Նազարյան Մ. Վ. — Դիբլորբբոժժեթանի կոնդենսուժը	
ացետոնի մետ	9-708
Շաճնազարյան Գ. Մ., Շաղբաթյան Շ. Լ. — բիս- <i>քլոբ- և</i> բիս- <i>ղիգլորվինիլային</i>	
դիանսշել արդրել որանուդն ճնսնանիքենսերդրեր անինայիջ դրանսեմրբեր	
արքողեկրանդագե բերքանի ըրերքանաշելաղե	4-239
Շաճնազաբյան Ի. Կ., <i>տե՛ս</i> Առուստամյան Ա. Մ.	
Շադրաթյան Շ. Լ., տե՛ս Շաննազաբյան Գ. Մ.	
Շամամյան Ա. b., տե՛ս Արաջյան Կ. Ս.	
Շեյբանյան Մ. Ա., <i>տե՛ս</i> Մհստոպյան է. Գ.	
Շիրոյան Ֆ. Ռ., Ավետյան Վ. Թ. — <i>Ինդոլի ածանցյալներ։</i> LIX, <i>Չ-Ալկիլ(ֆենիլ)</i> -	
12b-ֆենիլօկտանիպորինդոլո(2,3-2)ջինոլիզիններ	_3_170
Շիրոյան Ֆ. Ռ., Ավհայան Վ. Թ. — Ինդոլի ածանցյալներ։ LV. 10-Մեթթօբակ(թեն-	
զիլօբսի)-3-ժե թիլ-15,16,17,18,19,20-մերսանիդրոիոնիմրանները	5 - 263
Շիբոյան Ֆ. Ռ., տե՛ս Շանխաթունի Հ. Կ.	
Շկուլյով Վ. Ա Աբովյան Լ. Ս., Սահփանյան Ն. Օ., Սապոնջյան Լ. Գ., Մնջոյան	
2. 1. — Բենդոլսուլֆոնիլժիզանյութերի աժանցյալներ։ II. N-(2-Մեթիլ-4-	
ալկօքսիրենզոլսուլֆոնիլ)-N'-ալկիլմիզանյութերի սինթեզ և հիպոգլիկե-	
միկ ակտիվության ուսումնասիրություն	8-621
Շկուլյով Վ. Ա., Քոչարով Ս. Լ., Ստեփանյան Ն. Օ., Բունիաթյան Ժ. Մ., Մնջոյան	
Հ. Լ. — Բենզոլսուլֆոնիլմիզանյութերի աժանցյալներ։ I. N-(2-Մեթիլ-4-	
ալիօջսիրենդոլսուլֆոնիլ)-N'-ալկիլմիդանյութերի սինթեղ և հիպոդլիկեմիկ	
ակաիվության ուսումնասիրություն	8-614
Ոսկանյան Մ. Գ., Խուդոյան Գ. Գ., Չոբանյան Ժ. Ա., Բադանյան Շ. Հ. — Ձհագև-	
ցած միացությունների ռեակցիաննը։ LIII. Գրոպարգիլային և ալենային	
աիպի հալոգենիդների կատալիտիկ վերականդնումը միարժեջ պղնձի ագե-	
որվ և հրա առանձնանատերա Թլունները	9675

Ոսկանյան Մ. Դ., Փաշայան Ա. Ա., Բադանյան Շ. Հ. — ՉՀագեցած միացություն- ծերի ռեակցիածեր, LIV. Մի ջանի սինթեղներ տեղակալված վինիլէթինիլ- կարրինիլ:ալող ենիդների հիման վրա	19—750
Ոսկանյան Ս. Ս., տե՛ս Օվչիյան Վ. Ն.	
Ոսկանյան Ս. Վ., տե՛ս Մարզարյան է, Ա	
Չաչոյան Ա. Ա., տե՛ս Աղաջանյան Ց. Ե. Չորանյան Ժ. Ա., տե՛ս Ոսկանյան Մ. Դ.	
Չորանյան Մ. Ա., <i>տե՛ս</i> Մկբյան Տ. Գ.	
Չուխացյան Գ. Ա., Աբրանամյան Ժ. Ի., Կուկոլև Վ. Գ., Գևորգյան Գ. Ա., Տոնյան	
Գ. Մ., Մելթոնյան Լ. Ն. — Արետիլենային ժիացությունների փոխարկում-	
իրեր գորական գրաագրերի վատկորային երո-անրային բողանք եսրեր	
աղգեցության տակ	8_607
Չուխաջյան է. Հ <i>տե՛ս</i> Բարայան Ա. Թ.	
Չումաչենկո Մ. Ն., Վարդերեսյան Գ. 8. — Թիվածնի որոշումը ֆոսֆորօրդա- Նական միացություններում	_3_159
Կաբրև Դ. Ջ., <i>տե</i> ՛ Շանխարունի Հ. Կ., Պողոսյան Ս. Հ.	_0_103
Պաշոնիկյան Ե. Գ., <i>տե՛ս</i> Վաշդանյան Ս. Հ.	
Պետորսյան Ա. Ա., տես Միոզոյան Ֆ. Վ.	
Պետրոսյան Ռ. Ա., Օրդուխանյան Կ. Ա., Բաղգասարյան Ռ. Վ., Տոնոյան Վ. Ջ. —	
Գոլիբլորոպրենի կայունացումը արիալիլիզոցիանուրատով	12-928
Պետրոսյան Վ. Ա., Գաբրիելյան Հ. Ա., Ռոզովին Չ. Ա. — Ակրիլոերարիլի և իզո-	
արբենի մանրանել առաջացնող համապոլիներների ստացումը	9-604
Գիրջանով է. Շ., տե՛ս Աղեկյան Ա. Ա.	
Պոզին Մ. Ն., տե՛ս Կոստանյան Ա. Կ.	
Պողոսյան Ա. Ն. տե՛ս Բառայան Վ. Մ.	
Պողոսյան Գ. Մ., Ասաարյան Ի. Հ., Զապլիշնի Վ. Ն. — 2- <i>Տեղակալված 4.6</i> -բիս- (պ- <i>կարըօգոիֆենօգոի</i>)-սիմ- <i>արիազինների հիման վրա պոլիաննիչըիդներ</i>	4_267
Պողոսյան Գ. Մ., <i>տե՛ս</i> Ավանհոյան է. Ս.	
Պողոսյան Գ. Մ Զապլիշնի Վ. Ն., Ավանեսյան Է. Ս. — <i>Մոնոալկօբոիտեղակալ</i> -	
	8_634
Պողոսյան Գ. Մ., Կարապետյան թ. Գ., Ավանեսյան Է. Ս., Մացոյան Ս. Գ.—	
2-Վինիլգենզոյական թթվի մի գանի չնադեցած Էսթերների և ալիլամիդի	11 11 11
սինթեզը և պալիժերումը	_3_176.
Պողոսյան Գ. Մ., Մկրաչյան Ա. Տ., Մացոյան Ս. Գ. — Մի բանի 4-վինիլրենդի-	
լիգենաժինների սինքեզ և պոլիժերուժ	_3_131
Anganymi t. 3., wh's furumdymi V. f.	
Պողոսյան Ժ. Ա., տե՛ս Բիյլիշյան Ն. Մ.	
Պողոսյան Ռ. Կ., <i>տե՜ս</i> Առաքելյան Ռ. Ա. Պոզոսյան Ս. Հ., Թերզյան Ա. Գ., Թադևոսյան Գ. Տ., Պարթև Դ. Զ., Վլասենկո	
ի, Վ. — Ինդոլի աժանցյալներ։ LX, 1,2,8,4,43,5,7,8,18b,18c-2եկանիզրո-	
18	
դեկա երգրոխզորագուլա (1,2-2) ինգոլա (2,3-0) ապետլիններ	4-260
Հավագյան Վ. Գ., Կոստանյան Կ. Ա. — Ոչքիժնային բորոգերժանատային ապա-	
կիների կմարգի ռեֆրակցիան և կառույցը	11-316
Հավադյան Վ. Գ., <i>տե՛ս</i> Կոստանյան Կ. Ա.	4
Հանջուլյան ժ. <i>ե. տե՛ս</i> Մալիսասյան Ա. 8.	
Ռաջիդյան Լ. Հ., <i>տես</i> Օւդյան Մ. Բ.	
Մոզովին Ձ. Ա., <i>տե՛ս</i> Պետտոսյան Վ. Ա.	1345
Ռոստոմյան Լ. Հ., տե՛ս Հաrությունյան Վ. Ս.	
Սաճակովա Կ. Է., <i>տե՛ս</i> Գրիգույան Ռ. Թ. Սանշադյան Լ. Ի., <i>տե՛ս</i> Սաշգոյան Ս. Ն.	1 12
Սամվելյան Ս. հ. <i>տե՛ս</i> Մխիթաբյան Ա. Վ.	1000
Սայադյան Ռ. Հ., <i>տե՛ս</i> Ղուկասյան Վ . Ս.	1-15-15
Սապանցյան Լ. Գ., <i>տե՛ս</i> Շկուլյով Վ. Ա.	15 70 70
Апманский киминеский жупин ХХХІ 19—5	60000

Սարգսյան Է. Գ. Մալիասյան Ռ. Տ. — CH ₂ O-ի օբսիդացման վերջանյութերի մանրակրկիտ մասս-սպեկտրաչափական անալիզը և դերմըջնա <i>թթվ</i> ի	
մասա-ուկեկարթը	1-76
Սարգսյան է. Ն., տե՛ս Մկրյան Տ. Գ.	
Մարգսյան Մ. Ս., Բադանյան Շ. Հ. — Չ÷ագեցած ժիացությունների ռետկցիաներ։	
XLVIII. 2-Հալոգենվինիլալուպարգիլային եթերների փոխազդեցությունը	
Գրինյարի ռեագինաի հետ։ Հալոարոպիայի ծոր տեսակ	8-416
Սարգսյան Մ. Ս., <i>տե՛ս</i> Մակարյան Գ. Մ.	
Սարգսյան Ս. Դ., Ավհաիսյան Ա. Ա., Սահրադյան Լ. Ի. — Ռոգիում (III)-ի միա-	
արւթյունները բուտենոլիդների հետ	7538
Սարգսյան Ս. Ն., Ավետիսյան Ա. Ա., Սանրադյան Լ. Ի., Տրոիցկայա Ա. Դ. — Մահ-	- 1.
դան (II)-ի կոմպլեցս միացությունները բուաննոլիդների հետ	7-542
Սարուխանյան Է. Ռ., Բեյլերյան Ն. Մ. — Դիֆենիլաժին բենզոիլպերօբսից ռեակ-	
shulf urnergmakturflured begand fomeguebaget, fr furght bm-	
դագրության ազդեցությունը	7-477
Սարուխանյան Է. Ռ., Բեյլերյան Ն. Մ. — ԷԳՈ հղանակով թենդոիլպերօգ - իր դի-	
որ արկարիկը արակնիայի ուսուղրասինություրն երըոսն-անինինիր բ երբ-	
դոլ-հեջսան բինար խառնուրդներում	9-645
Սարուխանյան Է. Ռ., Բեյլերյան Ն. Մ.—Դիֆենիլաժին— բենզոիլակութակ ռեակ-	
ցիայի կինհաիկայի ուսումնասիրությունը բինաբ խառնուրդներում։ II.	
Չերժաստիճանի ազդեցությունը	10—727
Սաֆարյան Մ. Ա., Գևորգյան Ս. Ձ. — : իմեասիլիկատային լուծույթներից CO2	
public throughout 1. Supply subungulphs CO_3^2 - published throughout	
դախվածության ուսումնասիրությունը	6-399
Սաֆարյան Մ. Ա., Գևորգյան Ս. Ձ. — : իժետաիլիկատային լուծույթներից CO3	
իոնի հեռացումը։ II. 8իկլից CO3 իոնների հեռացման մեթիոր	6-404
Սաֆաrով Ա. Շ., <i>տե՛ս</i> Գևուգյան Ա. Վ.	
Սիմոնյան է. Խ., <i>տե՛ս</i> Հաrությունյան Ռ. Ս., Փիrումյան Գ. Գ.	
Սիբականյան Մ. Ա., տե՛ս Աղասյան Պ. Կ.	
Սոլոմինա Լ. Պ., Գրիգորյան Ռ. Թ., Մարգարյան Է. Ա. — Մի շարը N-(3-13-15-4-	
լիլենիլ)իմիդոսի և նրանց վերականգնված անալոգների սինները և	
ուսուժնասիրությունները	5-345
Սողոմոնյան Բ. Մ., Բեյլերյան Ն. Մ. — Հավելույթների ազգեցությունը սաիթոլի	
և մենիլմետակրիլատի սոպոլիմերման և հոմոպոլիմերման դղնաների անի	
և հատման արագության հաստատունների վրա	8-567
Սաբուչկով 3ու. Տ տե՛ս Առաքելովա Է. Ռ.	1
Սանփանյան Ն. Օ., <i>տե՛ս</i> Շկուլյով Վ. Ա.	
Սուբիասյան Գ. Գ , Մալխասյան Ա. 8., Մարտիրոսյան Գ. Թ. — ԹԹուների N.N.	
գրալկիլամիդների ալկիլումը և ստացված միացությունների փոխարկում-	
Shee	8-603
Վանհսյան Ա. Գ., <i>տե՛ս</i> Վաrդանյան Ռ. Լ.	
Վան-Նգոկ-Խիոնգ, <i>տե՛ս</i> Գյուլբուղադյան է. Վ.	
Վասիլյան Ն. Ռ., <i>տե՛ս</i> Արաջյան Կ. Ս.	
Վարդանյան Ռ. Ս., Իսրահլյան Ռ. Գ. — a- Ֆե <i></i> երլ- β, β-տեղակալված ակրիլուիա-	
թիլաերի սիա թեզի նոր եղանակ	9-713
Վարդանյան Ռ. Ս., Իսրահլյան Ռ. Գ., Վարդանյան Ս. Հ. — β- և ֆ <i>ֆ-Տեղակալված</i>	
a-ֆերինակնինսըիանինբենի ստանդար ոսև բանար ի	4-245
Վարդանյան Ռ. Լ., Այվազյան Տ. Մ., Խանուկաևա Ն. Ս., Տիգրանյան Ա. Վ., Վա-	
նհայան Ա. Գ. — Իներբիտորների ակարվության որոշումը օբսիդացվող ի	
քրոտենիրայիր չրմուր հեսերմրբեսող երդիքեսողիրբոնիրը բմարավով։	
}, Խոլեստերիլպելարդոնատ	10-735
Լարդանյան Ս. Հ., հաչատրյան Ռ. Մ., Գրիգորյան Ռ. Թ., Քարամյան Ս. Ա., Թա-	
դհոսյան Կ. Ա — «-Ալկիլ-« (2,2-դիալկիլնիդրոպիրե»-1'-իլ)ցիան բացախա-	
PP-վի Էոթերների սինթեղը և նրանց ժաստ-սարկարոսկոպիկ ուսոժնատի-	
Fur Plur Plur Plur Plur Plur Plur Plur Pl	7-529

Վարդանյան Ս. Հ., Խաչատրյան Ռ. Մ., Գրիգորյան Ռ. Թ., Քարամյան Ս. Ա., Թա- դևոսյան Կ. Ա. — 2,2-Դիալկիլ - 4-ալկիլտետրանիշրոպիրանիլ-4-ցիանջա- ցախաթթիկի էթիլէսթերների սինթեղը և հրանց մասո-սպեկտրոսկոպիկ	
տոսումնասիրությունը	7_521
միա։ Լ. Նոր մակրոցիկլերի սինքեղը ելեելով դիփուրֆուրիլսուլֆիդ-3,5-	
<i>ղիկարբոնան թվից</i>	5_349
Վարդարան Գ. Ց., <i>տե՛ս</i> Չումաչենկո Մ. Ն.	
Վաrուժանյան Ա. Ա., <i>տե՛ս</i> Մանվելյան Մ. Գ.	
Վլասենկո է. Վ., <i>տե՛ս</i> Պողոսյան Ս. Հ.	
Տիգրանյան Ա. Վ., <i>տե՛ս</i> Վարդանյան Ռ. Լ.	
Տոնյան Գ. Մ., <i>տե՛ս</i> Չուխաջյան Գ. Ա.	
Տոնոյան Վ. Ջ., <i>տե՛ս</i> Պետրոսյան Ռ. Ա.	
Տորիցկայա Ա. Դ., <i>տե՛ս</i> Սարգսյան Ս. Ն.	
Փաչայան Ա. Ա., <i>տե՛ս</i> Ոսկանյան Մ. Գ.	
Փիլիփոսյան Ա. Դ., <i>տե՛ս</i> Առուստամյան Ա. Մ.	
Փիլոյան Հ. Հ., տե՛ս ^բ ալհկան Ա. Գ.	
Фիրումյան Գ. Ч., Բեյլերյան Ն. Մ.— ОС տիպի ոչիոնոգեն ՄԱՆ-ի Հրային լու-	
ծույններում կալիումի պերսուլֆատի ջայքայման ուսումնասիրումը կա- յորիմեարիկ եզանակով	10—786
<i>լորիժետրիկ հղանակով</i>	10-100
իրնոգեն ՄԱՆ-երի Թերժոգրաֆիկ ուսուժնասիրությունը	5-361
Фիгումյան Գ. Պ., <i>տե՛ս</i> Մարգարյան Շ. Ա.	
Փիրումյան Գ. Պ., Սիմոնյան Լ. Խ., Գևորգյան Մ. Գ., Բեյլերյան Ն. Մ. — Ծ≥մբա-	
₽₽վի, կայիուժի սուլֆատի և պերսուլֆատի ազդեցությունը 0€1-20 և	
OC-55 ոչիոնոգեն ՄԱՆ-երի ագրեգացժան աստիճանի վրա	4-209
Քառամյան Ու. Ա., տե՛ս Երիցյան Մ. Լ.	
Քառամյան Ս. Ա., տե՛ս Վարգանյան Ս. Հ.	
Քելեյան Ա Պ տե՛ս Առաքելյան Ռ. Ա.	
Քիզանցյան Ն. Մ., <i>տե՛ս</i> Գևուգյան Ա. Հ.	
Քինոյան Ֆ. Ս., <i>տե՛ս</i> Բադանյան Շ. Հ., Մխիթաբյան Գ. Ռ.	
Բիրամիջյան Կ. Պ., տե՛ս Նիկողոսյան Լ. Լ.	
Քոչաբյան Ս. Տ., տե՛ս Քարայան Ա. Թ., Օնանչանյան Ս. Մ.	
Քոչարյան Ս. Տ., Գրիգորյան Վ. Վ., Բաբայան Ա. <i>Թ.— Հետազոտու թյուններ աժին</i> -	
ների և ամոնիումային միացությունների ընագավառում։ CXL. Տեզակալ-	
ված կարրակնություն վերանորդան և հետակորան ահանդիումային ապերի վարջը 	11-833
Քոյաrով Ս. Լ., <i>ահա</i> Շկուլլով Վ. Ա.	11-050
Քրիստոսարության Ե. Թ., <i>տե՛ս</i> Աղասյան Պ. Կ.	
Օճանցանյան Ա. Ֆ. <i>աե՛ս</i> Օրդյան Մ. Բ.	
Օճանջանյան Ս. Մ., <i>տե՛ս</i> Բարայան Ա. Թ.	
Օհանջանյան Ս. Մ., Քոչարյան Ս. Տ., Բաբայան Ա. Թ. — Դիալկիլ(3-գլոր-2-րու-	
արբիլ) փանհանիշերից ին իզերև տահաշրանով աղարկաշղայիը ամբևի	
վորականավարան վերաբակարան և գեւերդրությունացեն մալումերիաաների	
չանոհմավարունի հուրը բառնիսովի անքողոնատի բերևակիր ոսումերժիակի	
ազգեցության ատկ	12-909
0վչիյան Վ. Ն., Ոսկանյան Ս. Ս., Դանիհլյանց Է. Ս., Ավանհսովա Լ. Մ. — Նատ-	
thurg spatosupap form lurgurigurg upipapurgh phopusapat madenur-	
թյունը ածխածնային պողպատի էլեկտրացիժիական վարջի վրա	6-393
Օրդյան Մ. Բ., Ռաշիդյան Լ. Հ., Այվազյան Գ. Բ., Հակոբյան Հ. Հ., Օճանջանյան	
Ա. Ֆ., Ավանեսյան Ն. Ս. — Արոժատիկ դիաժինների խառնուրդներով կարծ-	
րացված ԷԴ-20 էպօբոիդային խեժի ժողիֆիկացումը որոշ մետաղներով	10 745
աղերի և արիէ թիլենահարաժինից ստացված կոմպլեքսներով	10763
or quipensjan 4. w., man abutruajum ir. G.	

УКАЗАТЕЛЬ АВТОРОВ

AUBUNCAN R. C., AUKUBUNKUNK LII. C., DUCUNKUNK III.	
Ионообменная емкость синтетического силикагеля по нонам № и К	11-822
Абовян Л. С., см. Шкулев В. А.	
Абрамян А. А., Ханзадян А. Х. — Микроопределение фтора и совнестное	
микроопределение азота и фтора в органических соединениях	10-790
Абрамян А. А., см. Ханзадян А. Х.	
Абрамян Ж. И., см. Чухаджян Г. А.	
Авакян А. С., см. Маркарян Э. А.	-
Авакян С. В., см. Геворкян А. А.	
Аванесова Л. М., см. Овчиян В. Н.	
Аванесян Н. А., см. Ордян М. Б.	
Аванесян Э. С., Заплишный В. Н., Погосян Г. М. — Синтез 2-фенокси-4,6-	
бис(4'-карбоксифения)-s-триазина, его хлорангидрида и полимеры на	
их основе	8-627
Аванесян Э. С., см. Погосян Г. М.	
Аветисян А. А., Назарян Р. Г., Дангян М. Т. — Исследования в области	
ненасыщенных лактонов. XXVIII. Синтез замещенных у-лактонов кон-	
денсацией третичных а-кетослиртов с замещенными малоновыми	
эфирами	7-506
Аветисян А. А., Назарян Р. Г., Дангян М. Т. — Исследования в области	
ненасыщенных лактонов. XXXVII. Синтез замещенных у-лактонов кон-	
денсацией третичных «-кетоспиртов с замещенными ацетоуксусными	
эфирами	9-695
Аветисян А. А., см. Саркисян С. Н.	0 0,5
Аветян В. Т., см. Широян Ф. Р.	
Аветян Ш. А., см. Ирадян М. А.	
Агаджанян Ц. Е., Арутюнян А. Д., Мовсесян Р. А., Чачоян А. А., Му-	
радян Р. Е. — Аминокислоты и пептиды. XIV. Синтез и противоэпухо-	
левая активность трипептидов и их аналогов, содержащих две моле-	
кулы сарколизина	11-862
Агасарян А. В., см. Ерицян М. Л.	
Агасян П. К., Сираканян М. А., Кристостурян Е. Т. — Электрохимиче-	
ское поведение редокс системы Pb4+ Pb2+ на разных анодах в	
среде уксусной кислоты	2 112
Агбалян С. Г., Хачикян Р. Дж., Туманян К. И. — О реакции з-грондак-	
риловых кислот с моновтаноламином и дивтаноламином 2	3 163
Агбалян С. Г., Хачикян Р. Дж., Туманян К. И. — Присоединение алифа-	-3-100
тических аминокислот к β-ароилакриловым кислотам	4-273
Агекян А. А., Пирджанов Л. Ш., Маркарян Э. А. — Производные арилал-	7-213
хиламинов. XIV. Синтез некоторых цикловлизанещенных арилалкил-	
	9-689
аминов	1-56
Азатян Н. А., Манташян А. А.— Изучение ингибирующего действия 1-p-	1-09
метоксифенил-1-фениаликрнагидразина в реакции окисления этилбен-	
	1 61
зола. II	1-61

Айназян Г. Б., см. Ордян М. Б.	
Айвазян Т. М., см. Варданян Р. Л.	
Adeasse 3. M., CM. Kanzarse 3. E.	
Айнштейн В. Г., Давтян Г. А., Григорян Р. В. — Некоторые замечания о	313#
параметрах формулы Эргана	-0-104
Айрапетян Г. К., см. Маркарян Э. А. Аклян Ж. А., Хачатрян Р. А., Инджикян М. Г. — Взаимодействие бро-	
мистого трифенил(3-фения-1,2-пропадиения)фосфония с ацетоном 2	3_104
Акопян А. А., см. Ордян М. Б.	-0-131
Акопян А. Д., см. Костанян К. А.	
Акопян Л. А., Амбарцумян Г. В., Овакимян Э. В., Геворкян С. Б., Ма-	
цоян С. Г. — Превращения 1,8-диапетиленовых соединений в присут-	
ствин металлокоиплексных катализаторов	7-510
Акопян С. В., см. Матнишян А. А.	
Акопян Т. Р., см. Вартанян С. А.	
Александров Г. Г., см. Аракелова Э. Р.	
Алавердян С. Б., см. Нерсесян Г. М.	
Амбарцумян Г. Б., см. Месропян Э. Г.	
Амбарцумян Г. В., см Акопян Л. А.	
Аракелова Э. Р., Александров Г. Г., Стручков Ю. Т. — Кристананческвя н	
молекулярная структуры гнаробромида в-диэтиламиноэтилового эфира	
дифенилуксусной кислоты	12-869
Аракелян А. С., см. Геворкян А. А.	
Аракелян Р. А., Келеян А. П., Погосян Р. К. — Об измерении емности	
двойного электрического слоя в водных растворах 1,4-дноксана и тет-	
рагидрофурана	10-732
Арсентьев С. Д., Манташян А. А. — Велущие активные центры в реакции	
газофазного окисления этилена	9-643
Арсентьев С. Д., Манташян А. А. — Обнаружение перекисных радикалов	100
в реакциях термического окисления олефинов	9-700
Арстамян Ж. М., см. Тараян В. М.	
Ар устамян А. М., Шахназарян И. К., Налбандян А. Б. — Кинетика мед-	
ленной реакции окисления окиси углерода в присутствии водорода.	
IV. Зависимость от общего давления и содержания водорода в исход-	1000
ной смесн	1-20
Арустамян А. М., Шахназарян И. К., Пилипосян А. Г., Налбандян А. Б. —	
Кинетика медленной реакции окисления окиси углерода в присут-	
ствии водорода. II. Зависимость от температуры	1-3
Арустамян А. М., Шахназарян И. К., Пилипосян А. Г., Налбандян А. Б. —	
Кинетика медленной реакции окисления углерода в присутствии водо-	
рода. III. Второй предел самовоспламенения	1-14
Арутюнян А. Д., см. Агаджанян Ц. Е.	
Арутюнян А. М., Балян К. А., Бабаян С. Г. — О механизме известкования	
днатомита окисью кальция	12-935
Арутюнян Б. С., см. Ерицян М. Л.	
Арутюнян В. С., Ростомян Л. О., Залинян М. Г., Дангян М. Т. — Синтез	
симметричных и смешанных эфиров дикарбоновых кислот	5—341
Арутюнян В. С., Залинян М. Г., Дангян М. Т.— Эфиры некоторых ке-	
токном то	6-421
Арутюнян В. С., см. Залинян М. Г.	
Арутюнян Р. С., Бейлерян Н. М., Атанасян Е. Н., Симонян Л. Х. — Виня-	
ние некоторых органических добавок на коллондно-химические свой-	1000
ства пентадецилсульфоната натрия	8—560
Арутюнян С. А., см. Мкрян Т. Г.	
Асатиоян И. А., см. Погосян Г. М	

Асланян С. А., см. Геворкян М. Г. Атанасян Е. Н., см. Арутюнян Р. С.	-
Ахназарян А. А., Манукян М. А., Дангян М. Т. — Синтез 7-лактонов 2,7-дналкил-2-амино-5-оксиоктан-1,8-дновых кислот	2-3-167
Ахназарян А. А., Манукян М. А., Дангян М. Т. — Синтез некоторых моно-	
и дилактамов	5337
Аштян А. П., см. Геворкян М. Г.	
Бабаян А. Т., Кочарян С. Т., Оганджанян С. М. — Образование производ-	
ных пиразолина при взаимодействии гидразина с солями триалкил-	11 076
пропаргил- и 3-винилпропаргиламмония	110/0
Епбаян А. Т., см. Кочарян С. Т., Мкртчян Р. С., Оганджанян С. М.	
Бабаян А. Т., Чухаджян Э. О., Манасян Л. А. — Исследования в области	
аминов и аммониевых соединений. CXXXVII. Катализируемая основа-	
нием внутримолекулярная циклизация солей диалкилпропаргил(ал-	7 400
лил)(3-п-хлорфенилпропаргил)аммония	7—489
Бабаян С. Г., см. Арутюнян А. М., Балекаев А. Г.	
Багдасарян Р. В., см. Петросян Р. А.	
Бадалянц И. П., см. Хажакян Л. В.	
Баданян Ш. О., Киноян Ф. С., Мхитарян Г. Р., Хримян А. П. — Амби-	
функциональные аллилиропаргильные галогениды в реакции с аминами	11—878
Баданян Ш. О., см. Восканян М. Г., Макарян Г. М., Мхитарян Г. Р., Сар-	
гсян М. С., Хримян А. П., Морлян Н. М., Худоян Г. Г.	
Баданян Ш. О., Минасян Т. Т. — Реакции непредельных соединений. XLIX.	
Синтез винилацетиленовых кетонов	6-452
Балаян М. А., см. Балекаев А. Г.	
Балекаев А. Г., Балаян М. А., Лаглагян С. А., Пилоян А. А., Бабаян С. Г.—	
Исследование процесса кристаллизации двуокиси кремния различных	
модификаций	8-589
Балян К. А., см. Арутынян А. М.	
Баратов А. Н., см. Мкрян Т. Г.	
Барсамян С. Т. — Термокинетическое исследование процесса электрической	
поляризации в полимерах. І. Термодинамика поляризации	4-214
Барсамян С. Т. — Термокинетическое исследование процесса электрической	
поляризации в полимерах. II. Оценка элементарного акта поляризации	4-276
Барсамян С. Т. — Термокинетическое исследование процесса электрической	
поляризации в полимерах. III. Кинетика процесса поляризации	5-304
Барсамян С. Т., Погосян Э. Т. — Изучение элементарных актов в процессе	
полимеризации винилацетилена	12-901
Бейлерян Н. М., см. Арутюнян Р. С., Геворкан М. Г., Гукасян Т. Т., Мар-	
карян Ш. А., Мхитарян С. Л., Пирумян Г. П., Саруханян Э. Р., Со-	
гомонян Б. М., Меликсетян Р. П.	
Бейлерян Н. М., Погосян Ж. А., Мармарян Г. А. — Кинетика полимериза-	
ции метилметакрилата в массе, иниципрованной системой ПБ-фенил-	
диэтаноламин	10—782
Белякова Л. Д., Калпакян А. М. — Исследование степени неоднородности	
поверхности хлоридов кобальта по низкотемпературной адсорбции	
ксенона	9-653
Бунатян Ж. М., см. Шкулев В. А.	
Ванесян А. Г., см. Варданян Р. Л.	
Ван Нгок Хыонг, см. Гюльбудагян Л. В.	
Варданян Р. Л., Айвазян Т. М., Ханукаева Н. С., Тигранян А. В., Ва-	
несян А. Г. — Хемилюминесцентный метод измерения активности ин-	
гибиторов в окисляющихся холестерических жидких кристаллах. I.	
Холестерилпеларгонат	10-738
Randonasau C II are II	

Вартанян Р. С., Исраелян Р. Г. — Новый способ синтеза 2-фенил-5, 3-заме-	9—713
щенных акрилонитрилов	9-710
ния 3- и 3,3-замещенных 2-фенилакрилонитрилов	4—245
Вартанян С. А., Акопян Т. Р., Пароникян Е. Г. — Химия краун-эфиров.	
I. Синтез новых макроциклов исходя из дифурфурплсульфид-5,5'-ди-	E 240
карбоновой кислоты	5-349
Вартанян С. А., Хачатрян Р. М., Григорян Р. Т., Карамян С. А., Тате-	
восян К. А. — Синтез и масс-спектры эфиров 2,2-диалкил-4-алкилтет-	
рагидропиранил-4-циануксусных кислот	7-521
Вартанян С. А., Хачатрян Р. М., Григорян Р. Т., Карамян С. А., Тате-	
восян К. А. — Синтез и масс-спектры эфиров а-алкил-2-(2,2-диалкил-	113
дигидропирен-1'-ил)циануксусной кислоты	7—526
Варужанян А. А., см. Манвелян М. Г.	
Василян Н. Р., см. Абаджян К. С.	
BAACEHKO J. B., CM. ПОГОСЯН С. A.	
Восканян М. Г., Пашаян А. А., Баданян Ш. О. — Реакции непредельных соединений. LIV. Некоторые синтезы на основе замещенных винил-	
этинилкарбинилгалогенидов	10-750
Восканян М. Г., см. Худоян Г. Г.	** 100
Восканян М. Г., Худоян Г. Г., Чобанян Ж. А., Баданян Ш. О. — Реакции	
непредельных соединений. LIII. О каталитическом восстановлении га-	
логенидов пропаргильного и алленильного типов солями одновалентной	
меди	9-675
Восканян С. В., см. Маркарян Э. А.	
Восканян С. С., см. Овчиян В. Н.	
Габриелян Г. А., см. Петросян В. А.	
Газарян К. Г., Гарибян Т. А., Налбандян А. Б. — Изучение стадии зарож-	
дения цепи при распаде алкилбромидов	1—27
Гамбурян Р. К., см. Геворкян М. Г.	
Гарибян Е. Г., Мурадян А. А., Гарибян Т. А. — Определения по виду ЭПР	
спектра количественного содержания гидроперекисных и алкилпере-	1-67
кисных радикалов	1-07
бутилперекисных радикалов на различных поверхностях	7-466
Гарибян Т. А., см. Газарян К. Г., Гарибян Е. Г., Нерсесян Л. А.	1-100
Геворкян А. А., Аракелян А. С., Хизаниян Н. М. — Алкилирование вро-	
матических углеводородов дигидропиранами	-3-186
Геворкян А. А., Казарян П. И., Авакян С. В. — Получение реактивов	
Гриньяра в 4-метил-а-дигидропиране и 4-метилентетрагидропиране 2	-3-189
Геворкян А. А., Казарян П. И., Авакян С. В. — 4,4-Диметил-1,3-диоксан —	
растворитель для алкилирования активных метиленовых соединений	350
алкилгалогенидами под влиянием едкого кали или натра	8-632
Геворкян А. А., Косян С. М., Гезалян Дж. И. — Синтез аллилкарбинолов	
на основе 4-метилдигидро-2Н-пирана и некоторые вопросы стереохи-	0 400
мин раскрытия дигидропиранового цикла хлористым ацетилом	6—430
Гевориян А. А., Токмадян Г. Г. — Циклизация эфиров из аллимкарбинолов и спиртов ацетонитрилом в 5,6-дигидро-1,3-оксазины	7—536
Геворкя А. В., Овсепян М. Е., Сафаров А. Ш. — О совместимости поляр-	1-000
ных макромолекул в растворах	_3_107
Геворкян Г. А., см. Чухаджян Г. А.	0.107
Геворкян М. А., см. Кожемяченко Л. И.	7

Геворкян М. Г., Бейлерян Н. М., Асланян С. А., Гамбурян Р. К., Дав-	
мян А. Г. — Влияние мицелл ПАВ на кинетику реакции анилина с	
персульфатом калия в водио-этанольных растворах	8-553
Геворкян М. Г., Бейлерян Н. М., Аштян А. П. — Влияние мицелл пента-	
дециясульфоната натрия на кинетику реакции дифениламина с пер-	
сульфатом калия	5-291
Геворкян М. Г., Карапетян Т. Г., Марьянян А. И., Левонян А. В., Мел-	
конян Л. Г. — Вдияние добавок неноногенных мицеллообразующих	11
веществ на кинетику реакции дифениламина с персульфатом калия	5-296
Геворюян М. Г., см. Пирумян Г. П.	
Геворкян Р. А., см. Довлатян В. В.	
Геворкян С. Б., см. Акопян Л. А.	
Геворкян С. З., см. Сафарян М. А.	
Геворкян С. С., см. Кожемяченко Л. И.	
Гезалян Дж. И., см. Геворкян А. А.	
Григорян А. С., см. Дургарян А. А.	
Григорян В. В., см. Кочарян С. Т.	
Григорян В. З. — Исследование системы СаО—Аз Оз-Н2О 2	-3-127
Григорян Г. Г., Мушегян А. В Расчет конформационных свойств поверх-	
ностных ОН-групп в кристобалитной и тридимитной структурах SiO2	11-811
Григорян Г. Г., см. Пирумян Г. П.	
Григорян Г. Л., см. Минасян В. Т.	
Григорян Г. О., см. Макарян Э. М.	
Григорян Н. А., см. Мнджоян О. Л.	
Григорян Р. В., см. Айнштейн В. Г.	
Григорян Р. Г. — Образование привитых полимеров кожи	7—53 3
Григорян Р. Т., см. Вартанян С. А., Соломина Л. П.	
Григорян Р. Т., Заикин В. Г., Татевосян К. А., Куроян Р. А., Саакова	
К. Э. — Масс-спектрометрическое исследование 2-алкилзамещенных	
4-амино-4-формилтетрагидропиранов	6403
Григорян С. К. — Влияние двухвалентных ионов кобальта и меди на кине-	E 058
тику реакции гидроперекиси кумола с морфолином в водной среде	5 357
Гукасян А. О., Шахназарян Г. М. — Циклодегидратация дифенилтрифтор-	0 711
метилкарбинола в 9-трифторметилфлуорен	9-711
Гукасян П. С., Манташян А. А., Саядян Р. А. — Влияние ацетальдегида	7 481
на стабилизированное холодное пламя пропана	7-461
Гукасян Т. Т., Мхитарян Р. П., Бейлерян Н. М. — Влияние нонов Ag+ и	
Cu ²⁺ на кинетику и механизм окисления аминоспиртов персульфатом	
калия	12—897
Гуллер Б. Д., см. Костанян А. К.	
Гюльбудагян Л. В., Ван Нгок Хыонг, Дургарян В. Л. — Реакции нуклео-	
фильного замещения 2-дихлорметил-4-метил-2,3-дигидротиено(3,2-с)	
хинодинов	4-254
Давидян Д. Б. — Об одном возможном механизме возникновения электро-	
	5-313
Цавтян А. Г., см. Геворкян М. Г.	
Давтян Г. А., см. Айнштейн В. Г.	
Цавыдова Н. С., см. Манвелян М. Г.	
Дангян М. Т., см. Аветисян А. А., Арутюнян В. С., Ахназарян А. А., За-	
линян М. Г., Месропян Э. Г.	4
Цанильянц Э. С., см. Овчиян В. Н.	
Джавадян В. Г., Костанян К. А. — Рефракция каркаса и структура бес-	
щелочных борогерманатных стекол	11-816

Джавадян В. Г., см. Костанян К. А.	
Джанджулян Ж. Л., см. Малхасян А. Ц.	
Довлатян В. В., Гееоркян Р. А. — Химия пестицидов. Реакции газогеннит-	
рилов с симм-триазиния дитиокарбазинатами	11-851
Донских И. Б., Матевосян Р. О. — Влияние растворителя на реакцию пик-	3
рилирования гидразинов	5-368
Донских И. Б., см. Матевосян Р. О.	
Донских О. Б., см. Матевосян Р. О.	
Дургарян А. А., Григорян А. С., Терлемезян Ж. Н. — Влияние заместите-	
лей на реакционную способность функциональной группы при соло-	
анмеризации замещенных бензальдегидов со стиролом	6-381
Дургарян В. Л., см. Гюльбудагян Л. В.,	
Егиазарян А. М., см. Никогосян Л. Л.	
Едигарян А. А., см. Нерсесян Г. М.	9 90
Енгоян А. П., Лукьяненко Н. Л., Хажанян Л. В., Минасян С. А., На-	
зарян В. М., Маркарян Э. А. — Каучение относительной конфигура-	
ции диастереоизомерных 3-метил-4-N-диалкиламино-2-бутанолов	11-828
Ерицин М. Л., Карамян Р. А. — Синтез сложных эфиров производных изо-	
циануровой кислоты	12-938
Ерицян М. Л., Карамян Р. А., Арутюнян Б. С., Есаян К. А. — Отвержде-	
ние трис(2,5-диоксотетрагидрофурил-4)изоцианурата алифатическими	
н ароматическими аминами	4-279
Ерицян М. Л., Карамян Р. А., Арутюнян Б. С., Есаян К. А. — Получение	
трис(2,5-дноксотетрагидрофурнл-4)::зоцианурата и смол на его основе	4-282
Ерицян М. Л., Марукян А. О., Агасарян А. В. — 1,3-Цибензил-5-глянлизо-	
цианурат	5-366
Есаян К. А., см. Ерицян М. Л.	0-000
Заикин В. Г., см. Григорян Р. Т.	
Залинян М. Г., Арутюнян В. С., Дангян М. Т. — Фрагментация нехото-	
рых кетоэфиров при восстановлении изопропилатом алюминия	6-412
Залинян М. Г., Арутюнян В. С., Дангян М. Т. — Восстановление некото-	0-412
рых кетолактонов изопропилатом алюминия	7-545
Залинян М. Г., см. Аругюнян В. С.	1-U10
Заплишный В. Н., см. Аванесян Э. С., Погосян Г. М.	
Зинюк Р. Ю., см. Костанян А. К.	
Врадян М. А., Ирадян Н. С., Аветян Ш. А.— Производные имидазола.	1000
XI. Бромирование замещенных 1-бензил-4-иитроимидазолов	C 425
	6-435
Ирадяк М. А., см. Торосяк А. Г. Ирадяк Н. С., см. Ирадян М. А.	
Инджикян М. Г., см. Аклян Ж. А., Торгомян А. М.	
Исраелян Р. Г., см. Вартанян Р. С.	
Казарян А. Ц., Мисарян С. О., Мартиросян Г. Т. — Алкидирование N-бен-	10 012
знакетиминов стиролом	12—913
Казарян П. И., см. Геворкян А. А.	
Калпакян А. М., см. Белякова Л. Д.	
Капланян Э. Е., Айвазян Э. М., Мкрян Г. Г., Татевосян Н. Ц., Мкрян	1
Г. М. — Исследования в области ненасыщенных соединений. IV. Про-	
дукты низкотемпературного хлорирования 1,4-дихлор-2-метил-2-бутена	37
и получение производных изопрена на их основе	9—660
Карамян Р. А., см. Ерицян М. Л.	15 300
Карамян С. А., сы. Вартанян С. А.	*
Карапетян З. А., см. Мирзоян Ф. В.	1
Карапетян Т. Г., см. Геворкян М. Г., Погосян Г. М.	
Келеян А. П., см. Аракелян Р. А.	10000
Kuyony ch C on Fadayay III O Mayanay F B	

	Кирамиджян К. П., см. Никогосян Л. Л.	
	Кожемяченко Л. И., Геворкин С. С., Геворкин М. А. — К вопросу иссле-	
	дования адгезивов на основе уретанового каучука СКУ-8А	9—717
	Козоровицкий А. Я., Мананников Б. П. — Новын способ получения молоч-	
	ной кислоты	9-715
	Костанян А. К., Гуллер Б. Д., Зинюк Р. Ю., Позин М. Е. — Исследова-	
	ние кристаллизации ангидрита в фосфорновислых растворах	5 —32 0
	Костанян К. А., Акопян А. Д. — Коэффициент термического расширения	
	германатных стекол	-3-120
	Костанян К. А., см. Джавадян В. Г.	
	Костанян К. А., Джавадян В. Г., Унанян Л. Г. — Взанмосвязь сгруктуры	
	и температуры стеклования ликвирующих стекол системы RO-B ₂ O ₃ -	
	GeO, (RO=CaO, SrO, BaO)	10746
	Косян С. М., см. Геворкян А. А.	
	Кочаров С. Л., см. Шкулев В. А.	
	Кочарян С. Т., Григорян В. В., Бабаян А. Т. — Исследования в области	
	аминов и аимониевых соединений. СХС. Поведение аимониевых солей,	
	содержащих замещенную карбалкоксиметильную группу, в реакциях	
	стивенсовской перегруппировки и в-отщепления	11-833
	Кочарян С. Т., см. Бабаян А. Т., Оганджанян С. М.	000
	Кристостурян Е. Т., см. Агасян П. К.	
	Куколев В. П., см. Чухаджян Г. А.	2
	Куроян Р. А., см. Григорян Р. Т.	
	Лаглагян С. А., см. Балекаев А. Г.	
	Левонян А. В., см. Геворкян М. Г.	
	Лукьяненко Н. Л., см. Енгоян А. П.	
	<i>Макарян Г. М., Саргсян М. С., Баданян Ш. О.</i> — Реакции непредельных	
	соединений. XLVII. Реакции хелатов никеля (II) с пропаргильными га-	
		4 041
	логенидами	4—241
•	Макарян Э. М., Хечумян Е. М., Григорян Г. О. — Термодинамика про-	
	цесса диссоциации сульфата кальция в присутствии и в отсутствие	
	кварцевого песка и углерода	8-572
	Малхасян А. Ц., Джанджулян Ж. Л., Мартиросян Г. Т. — Алкилирова-	
	ние ароматических аминов непредельными соединениями	11—870
	Малхасян А. Ц., сы. Сукиасян Г. Г.	
	Малхасян Р. Т., см. Саркисян Э. Г.	
	Мананников Б. П., см. Козоровицкий А. Я., Матевосян Р. О.	
	Манасян Л. А., см. Бабаян А. Т.	
4	Манвелян М. Г., Давыдова Н. С. — Применение фильтр-порошка в про-	
	цессе фильтрации антибиотиков	-3-147
4	Манвелян М. Г., Оганесян К. Б Спекание ультрапористой структуры гео-	
	метрически модифицированного в автоклаве кремнезема	4-229
4	Манвелян М. Г., Оганесян К. Б., Оганесян Э. Б., Варужанян А. А. —	
	Спекание ультрапористой структуры кремнезема-продукта комп-	
	лексной переработки нефелинового сменита	_3139
i	Манташян А. А., см. Азатян Н. А., Арсентьев С. Д., Гукасян П. С., Ха-	
	чатрян Л. А.	
Ź	Манташян А. А Хачатрян Л. А., Ниазян О. М. — Механизм развития	3
	целей в реакции окисления этана	1-49
1	Манукян М. А., см. Ахназарян А. А.	1-43
	Марголис Л. Я., См. Нерсесян Л. А.	
	Маркарян Ш. А., Пирумян Г. П., Бейлерян Н. М. — Изучение гидратации	
*	The state of the s	4 004
,		4—224
4	Маркарян Э. А., Авакян А. С. — Производные арилалкиламинов. XII. Син-	6 404
	тез 4,4-дифення-3-метия-2-бутиламинов	6-424

Маркарян Э. А., см. Агекян А. А., Соломина Л. П., Енгоян А. П.	
Маркарян Э. А., Айрапетян Г. К. — Производные изохинодина. XIII. Син-	
тез гидрохлоридов 1-арилалкенил-(или алкенил)-3,6,7-замещенных	-
производных изохимолина и гидрированных аналогов	10—757
Маркарян Э. А., Минасян С. А., Назарян В. М., Восканян С. В. — Новый	
синтез 3-метил-4N-диметил- и 3-метил-4N-диэтиламино-2-бутанолов и	
их разделение на диастереоизомеры	11-847
Мармарян Г. А., см. Бейлерян Н. М.	
Мартиросян А. Г., Мартиросян А. П., Тедорадзе Г. А. — Совместная ад-	
сорбция акрилонитрила и амилового спирта на ртути. Il	12-922
Мартиросян А. П., см. Мартиросян А. Г.	
Мартиросян В. А. — К термодинамние хлорирования отдельных окислов,	
	2393
Мартиросян В. А. — К термодинамике хлорирования сложных окислов,	
входящих в состав хромовых руд, хлористым водородом 2	-3-100
Мартиросян Г. Т., см. Казирян А. Ц., Малхасян А. Ц., Сукиасян Г. Г.	
Марукян А. О., см. Ерицян М. Л.	
Аіарьянян А. И., см. Геворкян М. Г.	
Матевосян Р. О., Донских И. Б., Донских О. Б., Мананников Б. П. —	
Изучение свойств полиморфных модификаций л-пикрилтолундина в	
растворах	6-450
Матевосян Р. О., см. Донских И. Б., Никогосян Л. Л.	
Матнишян А. А., Акопян С. В. — Получение поливзофеннлов	6-441
Мацоян С. Г., см. Акопян Л. А., Погосян Г. М.	
Мелик-Оганджанян Р. Г., см. Мирзоян Р. Г.	
Меликсетян Р. П., Бейлерян Н. М Кинетика полимеризации акриламида	
. /	
в воде, иницпированной системами S ₂ O ₈ ²⁻ + R NC ₂ H ₄ OR ₁	11—803
	11—803
Меликян Т. F., см. Мкртчян Р. C.	11—803
Меликян Т. Р., см. Мкртчян Р. С. Мелконян Л. Г., см. Геворкян М. Г.	11—803
Меликян Т. Г., см. Мкртчян Р. С. Мелконян Л. Г., см. Геворкян М. Г. Мелконян Л. Н., см. Чухаджян Г. А.	11—803
Меликян Т. Г., см. Мкртчян Р. С. Мелконян Л. Г., см. Геворкян М. Г. Мелконян Л. Н., см. Чухаджян Г. А. Месропян Э. Г., Амбарцумян Г. Б., Шейранян М. А., Дангян М. Т.—Кон-	11—803
Меликян Т. Г., см. Мкртчян Р. С. Мелконян Л. Г., см. Геворкян М. Г. Мелконян Л. Н., см. Чухаджян Г. А. Месропян Э. Г., Амбарцумян Г. Б., Шейранян М. А., Дангян М. Т.—Кон- денсация ацетиламиноацетоуксусного и ацетаминомалонового эфиров	
Меликян Т. Г., см. Мкртчян Р. С. Мелконян Л. Г., см. Геворкян М. Г. Мелконян Л. Н., см. Чухаджян Г. А. Месропян Э. Г., Амбарцумян Г. Б., Шейранян М. А., Дангян М. Т.—Конденсация ацетиламиноацетоуксусного и ацетаминомалонового эфиров с эпихлоргидрином.	11—803 Г2—918
Меликян Т. Г., см. Мкртчян Р. С. Мелконян Л. Г., см. Геворкян М. Г. Мелконян Л. Н., см. Чухаджян Г. А. Месропян Э. Г., Амбарцумян Г. Б., Шейранян М. А., Дангян М. Т.—Конденсация ацетиламиноацетоуксусного и ацетаминомалонового эфиров с эпихлоргидрином	12—918
Меликян Т. Г., см. Мкртчян Р. С. Мелконян Л. Г., см. Геворкян М. Г. Мелконян Л. Н., см. Чухаджян Г. А. Месропян Э. Г., Амбарцумян Г. Б., Шейранян М. А., Дангян М. Т.—Конденсация ацетиламиноацетоуксусного и ацетаминомалонового эфиров с эпихлоргидрином	
Меликян Т. Г., см. Мкртчян Р. С. Мелконян Л. Г., см. Геворкян М. Г. Мелконян Л. Н., см. Чухаджян Г. А. Месропян Э. Г., Амбарцумян Г. Б., Шейранян М. А., Дангян М. Т.—Конденсация ацетиламиноацетоуксусного и ацетаминомалонового эфиров с эпихлоргидрином	12—918
Меликян Т. Г., см. Мкртчян Р. С. Мелконян Л. Г., см. Геворкян М. Г. Мелконян Л. Н., см. Чухаджян Г. А. Месропян Э. Г., Амбарцумян Г. Б., Шейранян М. А., Дангян М. Т.—Конденсация ацетиламиноацетоуксусного и ацетаминомалонового эфиров с эпихлоргидрином	12—918
Меликян Т. Г., см. Мкртчян Р. С. Мелконян Л. Г., см. Геворкян М. Г. Мелконян Л. Н., см. Чухаджян Г. А. Месропян Э. Г., Амбарцумян Г. Б., Шейранян М. А., Дангян М. Т.—Конденсация ацетиламиноацетоуксусного и ацетаминомалонового эфиров с эпихлоргидрином	Г2—918 1—45
Меликян Т. Г., см. Мкртчян Р. С. Мелконян Л. Г., см. Геворкян М. Г. Мелконян Л. Н., см. Чухаджян Г. А. Месропян Э. Г., Амбарцумян Г. Б., Шейранян М. А., Дангян М. Т.—Конденсация ацетиламиноацетоуксусного и ацетаминомалонового эфиров с эпихлоргидрином	12—918
Меликян Т. Г., см. Мкртчян Р. С. Мелконян Л. Г., см. Геворкян М. Г. Мелконян Л. Н., см. Чухаджян Г. А. Месропян Э. Г., Амбарцумян Г. Б., Шейранян М. А., Дангян М. Т.—Конденсация ацетиламиноацетоуксусного и ацетаминомалонового эфиров с эпихлоргидрином	Г2—918 1—45
Меликян Т. Г., см. Мкртчян Р. С. Мелконян Л. Г., см. Геворкян М. Г. Мелконян Л. Н., см. Чухаджян Г. А. Месропян Э. Г., Амбарцумян Г. Б., Шейранян М. А., Дангян М. Т.—Конденсация ацетиламиноацетоуксусного и ацетаминомалонового эфиров с эпихлоргидрином	Г2—918 1—45
Меликян Т. Г., см. Мкртчян Р. С. Мелконян Л. Г., см. Геворкян М. Г. Мелконян Л. Н., см. Чухаджян Г. А. Месропян Э. Г., Амбарцумян Г. Б., Шейранян М. А., Дангян М. Т.—Конденсация ацетиламиноацетоуксусного и ацетаминомалонового эфиров с эпихлоргидрином	12918 145 8583
Меликян Т. Г., см. Мкртчян Р. С. Мелконян Л. Г., см. Геворкян М. Г. Мелконян Л. Н., см. Чухаджян Г. А. Месропян Э. Г., Амбарцумян Г. Б., Шейранян М. А., Дангян М. Т.—Конденсация ацетиламиноацетоуксусного и ацетаминомалонового эфиров с эпихлоргидрином	12—918 1—45 8—583 6—446
Меликян Т. Г., см. Мкртчян Р. С. Мелконян Л. Г., см. Геворкян М. Г. Мелконян Л. Н., см. Чухаджян Г. А. Месропян Э. Г., Амбарцумян Г. Б., Шейранян М. А., Дангян М. Т.—Конденсация ацетиламиноацетоуксусного и ацетаминомалонового эфиров с эпихлоргидрином	12—918 1—45 8—583 6—446
Меликян Т. Г., см. Мкртчян Р. С. Мелконян Л. Г., см. Геворкян М. Г. Мелконян Л. Н., см. Чухаджян Г. А. Месропян Э. Г., Амбарцумян Г. Б., Шейранян М. А., Дангян М. Т.—Конденсация ацетиламиновцетоуксусного и ацетаминомалонового эфиров с эпихлоргидрином	12—918 1—45 8—583 6—446 —3—191
Меликян Т. Г., см. Мкртчян Р. С. Мелконян Л. Г., см. Геворкян М. Г. Мелконян Л. Н., см. Чухаджян Г. А. Месропян Э. Г., Амбарцумян Г. Б., Шейранян М. А., Дангян М. Т.—Конденсация ацетиламиноацетоуксусного и ацетаминомалонового эфиров с эпихлоргидрином	12—918 1—45 8—583 6—446 —3—191
Меликян Т. Г., см. Мкртчян Р. С. Мелконян Л. Г., см. Геворкян М. Г. Мелконян Л. Н., см. Чухаджян Г. А. Месропян Э. Г., Амбарцумян Г. Б., Шейранян М. А., Дангян М. Т.—Конденсация ацетиламиноацетоуксусного и ацетаминомалонового эфиров с эпихлоргидрином	12—918 1—45 8—583 6—446 —3—191
Меликян Т. Г., см. Мкртчян Р. С. Мелконян Л. Г., см. Геворкян М. Г. Мелконян Л. Н., см. Чухаджян Г. А. Месропян Э. Г., Амбарцумян Г. Б., Шейранян М. А., Дангян М. Т.—Конденсация ацетиламиноацетоуксусного и ацетаминомалонового эфиров с эпихлоргидрином	12—918 1—45 8—583 6—446 —3—191
Меликян Т. Г., см. Мкртчян Р. С. Мелконян Л. Г., см. Геворкян М. Г. Мелконян Л. Н., см. Чухаджян Г. А. Месропян Э. Г., Амбарцумян Г. Б., Шейранян М. А., Дангян М. Т.—Конденсация ацетиламиноацетоуксусного и ацетаминомалонового эфиров с эпихлоргидрином	12—918 1—45 8—583 6—446 —3—191
Меликян Т. Г., см. Мкртчян Р. С. Мелконян Л. Г., см. Геворкян М. Г. Мелконян Л. Н., см. Чухаджян Г. А. Месропян Э. Г., Амбарцумян Г. Б., Шейранян М. А., Дангян М. Т.—Конденсация ацетиламиноацетоуксусного и ацетаминомалонового эфиров с эпихлоргидрином	F2—918 1—45 8—583 6—446 —3—191 —3—152
Меликян Т. Р., см. Леворкян М. Г. Мелконян Л. Г., см. Геворкян М. Г. Месропян Э. Г., Амбарцумян Г. Б., Шейранян М. А., Дангян М. Т.—Конденсация ацетиламиноацетоуксусного и ацетаминомалонового эфиров с эпихлоргидрином	F2—918 1—45 8—583 6—446 —3—191 —3—152

Мкрмчян Р. С., Меликян Т. Р., Торосян Г. О., Тагмазян К. Ц., Ба- баян А. Т. — Исследования в области аминов и амиониевых соеди- нений. CXXXVIII. Внутримолекулярная циклизация аллил-2,4-пента-	
диенил (фурфурил) в мидов карбоновых кислот	5—32
Мкрян Г. М., см. Капланян Э. E.	
Мкрян Т. Г., Арутюнян С. А., Саркисян Э. H. — Изучение газофазной	
реакции атомарного кислорода с тетрафтордибромэтаном	6-37
Мкрян Т. Г., Чобанян С. А., Саркисян Э. Н., Баратов А. Н. — Изученне реакции атомарного кислорода с CF ₃ Br	1-7
мнацаканян В. А., см. Оганесян Г. Б.	
<i>Миджоян О. Л., Григорян Н. А.</i> — Производные двухосновных карбоновых	
кислот. XI. Четвертичные аммониевые соли аминоэфиров глутаровой	
и пробковой кислот	4-25
Миджоян О. Л., см. Шкулев В. А.	
Мовсесян Р. А., см. Агаджанян Ц. Е.	
Морлян Н. М., см. Никогосян Л. Л.	
Морлян Н. М., Хачатрян Д. С., Баданян Ш. О. — Циклоалкилирование	
а, в-непредельных в'-алкоксиэтилкетонов с ацетоуксусным эфиром.	11-87
Морлян Н. М., Хачатрян Д. С., Баданян Ш. О. — Цикловлинирование	
малонового и ацетоуксусного эфиров и ацетилацетона с окисью мези-	
тила в присутствии углекислого калия	11-86
Мурадян А. А., см. Гарибян Е. Г., Нерсесян Л. А.	
Мурадян Р. Е., см. Агаджанян Ц. Е.	
Мушегян А. В., см. Григорян Г. Г.	
Мхитарян А. В., Самоваян С. Х. — Енаминодикетоны. 1. ИК спектры не-	
которых протонсодержащих енаминодикетонов	7-47
Мхитарян Г. Р., см. Баданян Ш. О.	1 00
Мхитарян Г. Р., Киноян Ф. С., Баданян Ш. О. — Реакции непредельных	
соединений. LI. Синтез производных винилаллена посредством про-	70
тотропной перегруппировки аллилацетиленовых соединений	7—50
Мхитарян Р. П., см. Гукасян Т. Т.	
Мхитарян С. Л., Бейлерян Н. М. — Аминоспирты — передатчики цепи при	
полимеризации винилацетата в массе	6—388
Назарян В. М., см. Енгоян А. П., Маркарян Э. А.	
Назарян Р. Г., см. Аветисян А. А.	
Назарян М. В., см. Шахназарян Г. М.	
Налбандян А. Б., Арустамян А. М., Газарян К. Г., иМнасян В. Т., Нерсе- сян Л. А.	199
Нерсесян Г. М., Аллавердян С. Б., Едигарян А. А. — Анодное поведение	
молибдена в расплавленной стекломассе	8579
Нерсесян Л. А., Гарибян Т. А., Марголис Л. Я., Налбандян А. Б. — Гете-	
рогенно-гомогенное окисление формальдегида. II. Окисление формаль-	
дегида на окиси алюминия	1—39
Черсесян Л. А., Мурадян А. А., Гарибян Т. А., Марголис Л. Я., Нал-	
бандян А. Б. — Гетерогенно-гомогенное окисление формальдегида.	
І. Окисление формальдегида на силикагеле	1—33
Ниазян О. М., см. Манташян А. А.	
Никогосян Л. Л., Егиазарян А. М., Кирамиджян К. П., Морлян Н. М.,	
Матевосян Р. О. — Синтез и изучение радикальной полимеризации	F 990
диалкил-и-(2-метия-5-гексен-3-ии)фенияфосфатов	5—333
Норавян А. С., см. Хажакян Л. В.	
Эвакимян М. Ж., см. Торгомян А. М. Эвакимян Э. В., см. Акопян Л. А.	7 7
PROPURATION OF CALLEROUS AND A R	

Овчиян В. Н. Восканян С. С., Данильяни Э. С. Аванесова Л. М. — Осо-	
бенности влияния двуокиси кремния на электрохимическое поведение	
углеродистой стали в концентрированном растворе едкого натра	6-393
Оганджанян А. Г., см. Ордян М. Б.	
Оганджинян С. М., см. Бибаян А. Т.	
Оганджанян С. М., Кочарян С. Т., Бабаян А. Т. — Последовательность	
реакций стивенсовской перегруппировки и дегидрохлорирования солей	
диалкия (4-жяор-2-бутения) карбаякоксиметиламиония под действием	
эфирной суспензии алкоголята катрия	12-909
Оганесян Г. Б., Мнацаканян В. А. — Строение теукрина Н1-дитерпенового	12-303
Jaktona	10-768
Оганесян Г. Б., Мнацаканян В. А. — Строение теукрина Н2-дитерпенового	10-100
	10 776
лактона	10-776
Оганесян К. Б., см. Манвелян М. Г.	
Оганесян Э. Б., см. Манвелян М. Г.	
<i>Срдуханян К. А.,</i> см. Петросян Р. А.	
Ордян М. Б., Рашидян Л. Г., Айвазян Г. Б., Акопян А. А., Оганджанян	
А. Г., Аванесян Н. А. — Модификация эпоксидной смолы ЭД-20,	
отвержденной смесями ароматических диаминов, комплексами солей	
некоторых металлов с триэтилентетрамином	10-763
Пароникян Е. Г., см. Вартанян С. А.	
Партев Д. З., см. Погосян С. А., Шахатуни Р. К.	
Пашаян А. А., см. Восканян М. Г.	
Петросян А. А., см. Мирзоян Ф. В.	100
Петросян В. А. Габриелян Г. А., Роговин З. А. — Получение волокнооб-	
разующих сополимеров акрилонитрила и изопрена	9-694
Петросян Р. А., Ордуханян К. А., Багдасарян Р. В., Тоноян В. Дж. —	3-03-
	10 000
Стабилизация полихлоропрена триаллилизоциануратом	12-929
Пилипосян А. Г. см. Арустамян А. М.	
Пилоян А. А., сы. Балекаев А. Г.	
Пирджанов Л. Ш., см. Агекян А. А.	
Пирумян Г. П., Бейлерян Н. М. — Калориметрическое изучение распада	
персульфата калня в водных растворах неионогенного ПАВ типа ОС	10—786
Пирумян Г. П., Григорян Г. Г., Бейлерян Н. М. — О термическом разло-	
жении НПАВ ОС1-20 и ОС-55	5-361
Пирумян Г. П., см. Маркарян Ш. А.	
Пирумян Г. П., Симонян Л. Х., Геворкян М. Г., Бейлерян Н. М. — Влияние	VI ST
серной кислоты, сульфата и персульфата калия на степень агрегации	14
НПАВ ОС1-20 и ОС-55	4-209
Погосян А. Н., см. Тараян В. М.	
Погосян Г. М., см. Аванесян Э. С.	
Погосян Г. М., Асатурян И. А., Заплишный В. Н. — Полиангидриды на ос-	
нове 2-замещенных 4,5-бис(п-карбоксифенокси)-з-триазинов	4-267
Погосян Г. М., Заплишный В. Н., Аванесян Э. С. — О разрыве связи уг-	1-20:
лерод-кислород при алкилировании моноалкоксизамещенного циан-	
	8-634
урхлорида	0-094
Погосян Г. М., Карапетян Т. Г., Аванесян Э. С., Мацоян С. Г. — Синтез	
и полимеризация некоторых ненасыщенных эфиров и аллиламида	
2-винилбензойной кислоты	— 3—176
Погосян Г. М., Мкртчян А. Т., Мацоян С. Г Синтез и полимеризация	
некоторых 4-винилбензилиденаминов	-3-181
Погосян Ж. А., см. Бейлерян Н. М.	
Погосян Р. К. см. Аракелян Р. А.	

Погосян С. А., Терзян А. Г., Татевосян Г. Т., Партев Д. З., Власен- ко Э. В. — Производные индола. LX. 1,2,3,4,48,5,7,13b,13c-Декагидро- -13H-бенз(g)индоло-(2,3-а)индолизины и 1,2,3,4,48,5,7,8,9,14,14b,14c-до-	
декагидроизонндоло(1.2-а)индоло(2,3-с)азелины	4-260
Погосян Э. Т., см. Барсамян С. Т.	
Позин М. Е., см. Костанян А. К.	
Рашидян Л. Г., см. Ордян М. Б.	
Роговин З. А., см. Петросян В. А.	
Ростомян Л. О., см. Арутюнян В. С.	
Ростомян VI. О., см. Аругоны В. С. Саакова К. Э., см. Григорян Р. Т.	
Саградян Л. И., см. Саркисян С. Н.	
Самвелян С. Х., см. Мхитарян А. В.	
Салонджян Л. Г., см. Шкулев В. А. Саргсян М. С., Баданян Ш. О.—Ревкции непредельных соединений. XLVIII.	
Бутатриен-ениновая перегруппировка непредельных галогенидов. Но-	0 410
вый вид галлотропии	6-416
Саргсян М. С., см. Макарян Г. М.	
Саркисян С. Н., Аветисян А. А., Саградян Л. И. — Комплексные соедине-	
ния родия (III) с бутенолидами	7—539
Саркисян С. Н., Аветисян А. А., Саградян Л. И., Троицкая А. Д. — Комп-	
лексные соединения марганца (II) с бутенолидами	7—542
Саркисян Э. Г., Малхасян Р. Т. — Масс-спектрометрический анализ продук-	
тов окисления CH ₂ O и масс-спектр надмуравьнной кислоты	1-76
Саркисян Э. Н., см. Мкрян Т. Г.	1
Соруханян Э. Р., Бейлерян Н. М. — Изучение кинетики реакции перекисн	
бензоила с дифениламином в бинарных растворителях. І. Влияние со-	
става растворителя	7-477
Саруханян Э. Р., Бейлерян Н. М Реакции перекись бензоила-диметил-	
анилин в бинарных растворителях бензол-пиридин и бензол-гексан	
методом ЭПР	9-648
Саруханян Э. Р., Бейлерян Н. М. — Изучение кинетики реакции перекиси	
бензонла с дифениламином в бинарных растворителях. П. Влияние	
температуры	10-727
Сафаров А. Ш., см. Геворкян А. В.	
Сафарян М. А., Геворкян С. Э. — Удаление СО32—нона из щелочно-крем-	
The state of the s	
неземистых растворов. 1. Исследование зависимости удаления нонов	
от различных факторов	6-399
Сафарян М. А., Геворкян С. З. — Удаление СО3 -нона из щелочно-крем-	
неземистых растворов. II. Метод удаления CO ₃ ² -нона из цикла	6-404
	0-101
Саядян Р. А., см. Гукасян П. С.	
Симонян Л. Х., см. Арутюнян Р. С., Пирумян Г. П.	
Сираканян М. А., см. Агасян П. К.	
Согомонян Б. М., Бейлерян Н. М. — Влияние добавок на константы ско-	
рости роста и обрыва цепей при сополимеризации стирола и метилмет-	
акрилата и их раздельной полимеризации	8—567
Соломина Л. П., Григорян Р. Т., Маркарян Э. А. — Синтез и исследова-	~
ния некоторых N[β-(3-индолилэтил)]ныидов и их восстановленных	
аналогов	5-345
Степанян Н. О., см. Шкулев В. А.	
тручков Ю. Т., см. Аракелова Э. Р.	
укиасян Г. Г., Малхасян А. Ц., Мартиросян Г. Т. — Алкилирование	
N,N-дналкиламидов кислот и превращения полученных соединений	8-603
агназян К. Ц., см. Мкртчян Р. С.	
араян В. М., см. Мирзоян Ф. В.	

TO BUILDING A STATE OF THE CONTRACT OF THE CON	
Тараян В. М., Погосян А. Н., Арстамян Ж. М. — Экстракционно-абсорб- циометрическое определение галлия основным красителем пирони-	
ном Ж	7-482
Титевосян Г. Т., см. Погосян С. А.	1 102
Татевосян К. А., см. Вартанян С. А., Григорян Р. Т.	
Титевосян Н. Ц., см. Капланян Э. Е.	
Тедорадве Г. А., см. Мартиросян А. Г.	
Терзян А. Г., см. Погосян С. А.	
Терлемезян Ж. Н., см. Дургарян А. А.	
Тигранян А. В., см. Варданян Р. Л.	
Токмаджян Г. Г., см. Геворкян А. А.	
Тоноян В. Дж., см. Петросян Р. А.	
Тонян Г. М., см. Чухаджян Г. А.	
Торгомян А. М., Овакимян М. Ж., Инджикян М. Г. — Взаимодействие	
фосфониевых солей с 1-алкокси-2-бромэтильной или 1-алкоксиэтиль-	
ной группой с водой	9-669
Торосян А. Г., Мирзоян Р. Г., Ирадян М. А. — Производные имидазола.	
Х. Синтез и масс-спектры бромпроизводных замещенного 4(5)-фения-	
имидазола	5-353
Торосян Г. О., см. Мкртчян Р. С.	0 000
Троицкая А. Д., см. Саркисян С. Н.	
Туманян К. И., см. Агбалян С. Г.	
Унанян Л. Г., см. Костанян К. А.	
Хажакян Л. В., Бадалянц И. П., Мкртчян А. П., Норавян А. С. — Изуче-	
ние строения некоторых амино- и амидокислот-производных тво-	
фена методом ИК спектроскопии	7-516
Хажаюян Л. В., см. Енгоян А. П.	
Ханамирян Л. А., Шагинян А. А. — Влияние электролита на структуру	
смешанных агрегатов, состоящих из аминоактивного ПАВ и водора-	
створимого полимера	9-703
Ханзадян А. Х., см. Абрамян А. А.	
Ханвадян А. Х., Абрамян А. А. — Совместное микроопределение азота,	
фтора и галогенов (Cl, Br, I) в органических соединениях	10-793
Ханукаева Н. С., см. Варданян Р. Л.	
Хачатрян Д. С., см. Морлян Н. М.	
Хачатрян Л. А., Манташян А. А. — Влияние поверхности реактора на га-	
зофазное окисление этана	4-203
Хачатрян Л. А., см. Манташян А. А.	
Хачатрян Р. А., см. Аклян Ж. А.	
Качатрян Р. М., см. Вартанян С. А.	
Хачатурян В. Э., см. Мирзоян Р. Г.	
Хачикян Р. Дж., см. Агбалян С. Г.	
Хачкаванкцян Ш. С., см. Абаджян К. С.	
Хечумян Е. М., см. Макарян Э. М.	
Хизанцян Н. М., см. Геворкян А. А.	
Хримян А. П., см. Баданян Ш. О.	
Хримян А. П., Баданян Ш. О. — Реакции непредельных соединений. LV.	
Восстановление третичных винимпропаргильных хлоридов цинк-медной	_
парой	7—495
Хримян А. П., Баданян Ш. О. — Реакции непредельных соединений. LVI.	
Восстановление некоторых моно- и дихлорпроизводных диацетилено-	1116
вого ряда цинк-медной парой	9—682
Худоян Г. Г., см. Восканян М. Г.	

Худоян Г. Г., Восканян М. Г., Баданян Ш. О. — Реакции непредельных	
соединений. LII. Некоторые особенности реакции замещения винил-	
пропаргильных соединений	11-840
Чачоян А. А., см. Агаджанян Ц. Е.	
Чобанян Ж. А., см. Восканян М. Г.	
Чобанян С. А., см. Мкрян Т. Г.	
Чумаченко М. Н., Вардересян Г. Ц Определение кислорода в фосфор-	
органических веществах	-3-158
Чухаджян Г. А., Абрамян Ж. И., Куколев В. П., Геворкян Г. А., Тонян	13/-
Г. М., Мелконян Л. Н. — Превращения апетиленовых соединений под	
влиянием катионных бис-ареновых комплексов переходных металлов	8-607
Чухаджян Э. О., см. Бабаян А. Т.	
Шагинян А. А., см. Ханомирян Л. А.	
Шамамян А. Е., см. Абаджан К. С.	
Шахатуни Р. К., Широян Ф. Р., Партев Д. З. — Производные индола.	
LX1. 3-Алкил-11 - метокси - 12с-метил-1,2,3,4,6,7,8,12с-октаги дронидоло-	
	11-857
Шахбатян Ш. Л., см. Шахназарян Г. М.	
Шахназарян Г. М., см. Гукасян А. О.	
Шахназарян Г. М., Назарян М. В. — Конденсация дихлорбромметака с	
ацетоном	9—708
Шахназарян Г. М., Шахбатян Ш. Л. — Получение бис-хлор- и бис-дихлор-	
виниловых соединений рекомбинацией авлильных остатков хлоральил-	
хлоридов в присутствии железа	4 - 236
Шахнозарян И. К., см. Арустомян А. М.	
Шейранян М. А., см. Месропян Э. Г.	
Широян Ф. Р., Аветян В. Т. — Производные индола. LIX. 2-Алкил(фе-	
нил)-12b-фенилоктагидронидоло(2,3-а)-хинолизины 2-	-3—170
Широян Ф. Р., Аветян В. Т. — Производные индола. LV. 10-Метокси(бен-	2.1
зилокси)-3-метил-15,16,17,18,19,20-гексадегидройохимбаны	5—363
Широян Ф. Р., см. Шахатуни Р. К.	
Шкулев В. А., Абовян Л. С., Степанян Н. О., Сапонджян Л. Г., Мн-	
джоян О. Л. — Производные бензолсульфонилмочевины. II. Синтез и	
гяпогликемическая активность N-(2-метня-4-алкоксибензилсульфония)-	
N'-алкилмочевин	8-621
Шкулев В. А., Кочаров С. Л., Степанян Н. О., Бунатян Ж. М., Миджоян	
О. Л. — Производные бензолсульфонилмочевины. І. Синтез и гипо-	
гликемическая активность N-(2-метил-4-алкоксибензилсульфонил)-N-	
алкилмочевин	8-614

AUTHOR INDEX

Abajian K. S., Khachkavanktsian Sh. S., Vassilian N. R., Shamamlan A. Ye.— ion Exchange Capacity of Synthetic Silica Gel According to Sodium	
and Potassium Ions	11-622
Abovian L. S., see Shkulyov V. A.	
Abrahamian A. A., Khanzadian H. Kh Microdelermination of Fluorine	1700
and Simultaneous Microdetermination of Nitrogen and Fluorine in Or-	
ganic Compounds	10—790
Abrahamian A. A., see Khanzadlan H. Kh.	
Abramian Zh. J., see Chukhajian G. A.	
Aghajanian Ts. Ye., Haroutyunian A. D., Mousessian R. A., Chachoyan A. A., Muradian R. Ye. — Amino Acids and Peptides. XIV. Synthesis and	
Antitumour Activity of Tripeptides and Their Analogues Having Two	
Sarcolysine Molecules	11-862
Aghbalian S. G., Khachikian R. I., Tumanian K. I On the Reaction of	
β-Aroylacrylic Acids with Monoethanolamine and Diethanolamine 2	-3 —163
Aghbalian S. G., Khachikian R. J., Tumanian K. I. — The Nucleophilic Addition of Aliphatic Amino Acids to β-Aroylacrylic Acids ,	4—273
Aghassian P. K., Sirakanian M. A., Kristosturian E. T. — The Electroche-	1-210
mical Behaviour of Pb4+/Pb2+ Redox Systems on Different Anodes	
in Acetic Acid Medium	-3-113
Aghassarian A. B., see Yeritsian M. L.	
Aghekian A. A., Pirjanov L. Sh., Markarian E. A. — Arylalkylamine Deni-	0 500
valives. XIV. Synthesis of Some Arylaikylamines	9-069
meters of the Argan Formula	_3_134
Akllan Zh. A., Khachatrian R. A., Injikian M. H Interaction of Triphe-	
nyl(3-phenyl-propadienyl)phosphonium Bromide with Acetone 2	_3-194
Alaverdian S. B., see Nersessian G. M. Alexandrov G. G., see Arakelova E. R.	
Arakelian A. S., see Cuevorkian A. H.	
Arakelian R. A., Keleyan A. P., Poghossian R. K. — Double Electrical Layer	
Capacity Measurments in Aqueous 1,4-Dioxane and Tetrahydrofuran	
Solutions	10-732
Arakelova E. R., Alexandrov G. G., Struchkov Yu. T. — Crystal and Molecular Structure of β-Diethylaminoethyl Diphenylacetate Hydrobromide	12—889
Arsentyev S. D., Mantashian A. H. — Leading Active Centres in the Reaction	12-1305
of Gasphase Oxidation of Ethylene	9-643
Arsentyev S. D., Mantashian A. H Detection of Peroxide Radicals in the	
Thermal Oxidation Reactions of Olefins	9—700
Arstamian Zh. M., see Tarayan V. M. Arustamian A. M., Shahnazarlan I. K., Nalbandian A. B. — Investigations	
of the Slow Oxidation Kinetics of Carbon Monoxide in the Presence	
of Hydrogen. IV. Its Dependence on the Total Pressure and Hydrogen	
Content in the Initial Mixture	1-20
Армянский химический журнал, XXXI, 12—6	

Arustamian A. M., Shahnazarian I. K., Pilipossian A. G., Naibandian A. B.— investigations of the Slow Oxidation Reaction Kinetics of Carbon Monoxide in the Presence of Hydrogen. II. Temperature Dependence Arustamian A. M., Shahnazarian I. K., Pilipossian A. G., Naibandian A. B.—	1—3
Investigations of the Slow Oxidation Kinetics of Carbon Monoxide in the Presence of Hydrogen. III. The Second Limit of Self-ignition	1-14
Ashtian A. P., see Guevorkian M. G.	
Aslanian S. A., see Guevorkian M. G.	
Assaturian I. H., see Poghossian G. M.	
Atanassian E. N., see Haroutyunian R. S.	
Avakian A. S., see Markarian E. A.	
Avaklan S. V., see Guevorkian A. A.	
Avanesova L. M., see Ouchian V. N.	
Avanessian E. S., Zaplishny V. N., Poghossian G. M Synthesis of 2-Phe-	
noxy-4,6-bis(4'-carboxyphenyi)-s-triazine, its Acid Chloride and Poly-	
mers on Their Basis	8-627
Avanessian E. S., see Poghossian G. M.	
Avanessian N. A., see Ordian M. B.	
Avetlan Sh. A., Iradian M. A.	
Avetian V. T., see Shiroyan F. R.	
Avetissian A. A., Nazarian R. H., Danghian M. T. — Investigations in the Field of Unsaturated Lactones. XXVIII. Synthesis of Substituted	
7-Lactones by Condensation of Tertiary a-Ketoalcohol with Substituted	
Ethyl Malonates	7—506
Avetissian A. A., Nazarian R. H., Danghian M. T. — Investigations in the	500
Field of Unsaturated Lactones. XXXVII. Synthesis of Substituted γ-Lac-	
tones by Condensation of a-Keto Alcohols with Substituted Acetoacetic	
Esters	9-665
Avetissian A. A., see Sarkissian S. N.	
Ayuazian E. M., see Kaplanian E. Ye.	
Ayuazian G. B., see Ordian M. B.	
Ayuazian T. M., see Vardanian R. L.	
Azatian N. A The Inhibition of Ethylbenzene Oxidation by Hydrazines. I.	156
Azatian N. A., Mantashian A. H Investigation of the Inhibiting Action	
of 1-p-Methoxyphenyl-1-phenylpicrylhydrazine in the Oxidation Reaction	
of Ethylbenzene. II	1-61
Babayan A. T., Chukhajian E. H., Manassian L. H Investigations in the	
Field of Amines and Ammonium Compounds. CXXXVII. Base-catalyzed	
Intramolecular Cyclization of Dialkyl Propargyl(allyl)-3-p-chlorophenyl-	
propargyl)ammonium Salts	7—489
Babayan A. T., Kocharlan S. T., Ohanjanian S. M. — Formation of Pyrazoline	
Derivatives by the Interaction of Hydrazinehydrate with Trialkylprop-	
argyl and 3-Vinylpropargyl Ammonium Salts	11—876
Babayan A. T., see Kocharian S. T., Mkrtchian R. S., Ohanjanian S. M.	
Babayan S. G., see Balekayev A. G., Haroutyunlan A. M. Badallants J. P., see Khazhaklan L. V.	
Badanian Sh. H., Kinoyan F. S., Mkhitarian G. R., Khrimian A. P.—Reactions	
of Ambifunctional Allylpropargyl Halides with Amines	11 979
Badanian Sh. H., Minassian T. T. — Reaction of Unsaturated Compounds.	11-878
XLIX. Synthesis of Vinylacetylene Ketones	6-452
Budanian Sh. H., see Khrimian A. P., Khudoyan G. G., Makarian G. M.,	0-402
Mkhitarian G. R., Morlian N. M., Sargsian M. S., Voskanian M. G.	
Baghdassarlan R. V., see Petrossian R. A.	
Balayan M. A., see Balekayev A. G.	

Bulekayev A. G., Balayan M. A., Laglagian S. H., Piloyan H. H., Babayan S. G.—Investigation of the Crystallization Process of Different Modifications of Silicon Dioxide	8-589
Bullan K. A., see Haroutyunian A. M. Buratov A. N., see Mkrian T. G.	
Barsamian S. T. — Thermodynamics of Electrical Polarization Processes in Polymers. I.	4-214
Bursamian S. T. — A Thermokinetic Investigation of the Electrical Polarization Process. II. The Evaluation of the Elementary Act of Pola-	. 070
Bursamian S. T. — Thermokinetic Investigations of Polarization Processes in Polymers. III. Kinetics of the Polarization Process in Polymers	4—276 5—304
Bursamian S. T., Poghossian E. T.— Investigation of Elementary Acts in the Vinylacetylene Polymerization Process	12—901
Belyakova L. D., Kalpakian A. M Investigation of the Non-Uniformity of	9-653
the CoCl ₃ Surface by Low-temperature Adsorption of Xenon	9-000
amine System	10—782
R. S., Markarian Sh. A., Meliksetian R. P., Mkhitarian S. L., Piroumian G. P., Saroukhanian E. R., Soghomonian B. M.	
Buniatian Zh. M., see Shkulyov V. A. Chachoyan A. A., see Aghajanian Ts. Ye.	100
Chobanian S. A., see Mkrian T. G.	
Chobanian Zh. A, see Voskanian M. G.	
Choumachenko M. N., Varteressian G. Ts. — Determination of Oxygen in Organic Compounds Containing Phosphorus	2 150
Chukhajian G. A., Abramian Zh. I., Kukolev V. P., Guevorkian G. A., To-	-9-196
nian G. M., Melkonian L. N. — Transformations of Acetylenic Com-	
pounds under the Action of Cationic bis-Arene Complexes of Transition	
Metals	8607
Chukhajian E. H., see Babayan A. T.	
Danghian M. T., see Avetissian A. A., Hakhnazarian A. H., Haroutyunlan V. S., Mesropian E. G., Zalinian M. G. Daniliants E. S., see Ouchian V. N.	
Davidian D. B. — About a Possible Mechanism of Electrokinetic Potential	
Formation	5-313
Davidova N. S., see Manuellan M. G.	
Davtian A. G., see Guevorkian M. G.	
Davtian G. A., see Ainshtein V. G.	
Donskikh I. B., Matevossian R. H. — The Solvent Effect on the Picrylation	5—368
Donskikh J. B., see Matevossian R. H.	3-308
Donckikh O. B., see Matevossian R. H.	
Doulation V. V., Guevorkian R. A. — Synthesis of Pesticides. Reactions of	
Halonitriles with Esters of s-Triazinyidithiocarbazic Acid	11-851
Durgarian A. H., Grigorian A. S., Terlemezian Zh. N The Influence of	
Substituents on the Reactivity of Functional Groups and on the Copo-	
lymerization Reaction of Benzaldehydes with Styrene	6—381
Durgarian V. H., see Gulbudaghian L. V.	
Edigarian A. A., see Nersessian G. M.	
Eghiazarian A. M., see Nikoghossian L. L. Eritsian M. L., Karamian R. A. — Synthesis of Some Substituted Isocyan-	
ursies Aramum R. A Synthesis of Some Substituted Isocyan-	12-938

Essayan K. A., see Yeritsian M. L.	
Gabriellan H. A., see Petrossian V. A.	
Gazarlan K. G., Gharibian T. A., Nalbandian A. B Investigation of the	
Chain Initiation Stage during the Thermal Decomposition of Alkyl Bromides	1-27
Gharlblan E. G., Muradian A. H., Gharlblan T. A. — A Quantitative Determi-	100
nation of Hydroperoxide and Alkylperoxide Radicals from the Appea-	
rance of EPR Spectra	1-67
Ghamburian R. K., see Guevorkian M. G.	
Gharibian E. G., Muradian A. A., Gharibian T. A Regularities in Butyl	
Peroxide Radical Decay on Various Surfaces	7-466
Gharibian T. A., see Gazarian K. G., Gharibian E. G., Nersessian L. A.	199
Ghukassian A. H., Shahnazarian G. M Cyclodehydration of Diphenyltri-	
fluoromethylcarbinol to 9-Trifluoromethylfluorene	9-711
Ghoukassian P. S., Mantashian A. H., Sayadian R. H The Influence of	
Acetaldehyde on the Stabilized Cool Flame of Propane	7-461
Ghookassian T. T., Mkhitarian R. P., Beylerian N. M The Influence of	
Ag+ and Cu ²⁺ lons on the Kinetics and Mechanisms of the Oxydation	
of Aminoalkohols by Potassium Persulphate	19807
Grigorian A. S., see Durgarian A. H.	12-031
Grigorian G. G., Musheghian A. V. — Calculation of the Conformational	
Properties of Surface OH-groups in the Crystobalite and Tridymite	
Structures of Sillcon Dioxide	11-811
Grigorian G. G., Piroumian G. P.	
Grigorian G. H., see Makarian E. M.	
Grigorian G. L., see Minassian V. T.	
Grigorian N. A., see Mnjoyan H. L.	
Grigorian R. G Formation of Graft Polymers of Leather	7-533
Origorian R. T., see Solomina L. P., Vartanian S. H.	. 000
Grigorian R. T., Zaikin V. G., Tatevossian K. A., Kuroyan R. A., Saha-	
kova K. E Mass-Spectrometric Studies of 2-Alkylsubstituted-4-	
amino-4-formyltetrahydropyrans	6-408
Grigorian R. V., see Ainshtein V. G.	
Grigorian S. K.—The Influence of Co2+ and Cu2+ Ions on Cumene Hydro-	
peroxidemorpholine Reaction Kinetics in an Aqueous Medium	5-357
Grigorian V. V., see Kocharian S. T.	
Grigorian V. Z Investigation of the system CaO-As2O2-H2O	2-3-127
Guevorkian A. A., Arakelian A. S., Chizantsian N. M Alkylation of Aro-	
matic Hydrocarbons by Dihydropyrans	2-3-186
Guevorkian A. A., Kazarian P. I., Avakian S. V The Preparation of	
Grignard Reagents in 4-Methyl-a-dihydropyran and 4-Methylenetetra-	
hydropyran Medium	2-3-189
Guevorkian A. A., Kazarian P. I., Avakian S. V 4,4-Dimethyi-1,3-dioxane	
as a Solvent for the Alkylation of Active Methylene Compounds in	
the Presence of Sodium or Potassium Hydroxide	8632
Guevorbian A. A., Kossian M. S., Gyezalian J. I Synthesis of Allyl Car-	
binois on the Basis of 4-Methyldihydro-2H-pyran and Some Problems	
of Stereochemistry of Splitting of the Dihydropyran Ring by Acetyl	
Chloride	6-430
Guevorkian A. A., Tokmajian G. G Cyclization of Allyl Alcohol and Car-	
binoi Ethers into 5,6-Dihydro-1,3-oxazines with Acetonitrile	7—536
Guevorkian A. V., Housepian M. E. Safarov A. Sh On the Compatibility	
of Polar Macromolecules in Solutions	2-3-107
Guevorkian G. A., see Chukhajian G. A.	
Quevorklan M. A. see Kozhemyachenbo I. I.	

Consider M. G. Revlerien N. M. Achtian A. D. The Influence of So.	
Guevorkian M. G., Beylerian N. M., Ashtian A. P The Influence of So-	
dlum Pentadecylsulphonate on the Reaction Kinetics between Diphe-	
nylamine and Potassium Persulphate	5-291
Guevorkian M. G., Beylerian N. M., Aslanian S. A., Ghamburtan R. K., Dav-	
tian A. G. — The Influence of Detergent Micelles on Aniline—Potassium	
Persulphate Reaction Kinetics	8553
Guevorkian M. G., Karapetlan T. Gh., Marianian A. I., Levonian A. V., Mel-	
konlan L. G. — The Influence of Small Amounts of Nonlonic Detergents	
on the Reaction Kinetics between Diphenylamine and Potassium	2-1
Persulphate	5-296
Guevorkian M. G., see Piroumian G. R.	
Guevorkian R. A., see Doviation V. V.	
Guevorkian S. B., see Hakopian L. A.	
Guevorkian S. S., see Kozhemyachenko L. I.	
Guevorkian S. Z., see Safarian M. A.	
Gulbudaghian L. V., Van Ngok Huong, Durgarlan V. H The Nucleophile	
Substitution Reactions of 2-Dichloromethyl-4-methyl-2,3-dihydrothleno-	
(3,2-c)quinolines	4-254
Guller B. D., see Kostanian A. K.	
Gyezallan J. I., see Guevorklan A. A.	
Hakhnazarian A. H., Manuklan M. A., Danghian M. T Synthesis of	
7-Lactones of 2,7-Dialkyl-2-amino-5-hydroxyoctane-1,8-dicarboxylic	
Acids	-3 - 167
Hakhnazarlan A. H., Manukian M. A., Danghian M. T Synthesis of Some	
Mono- and Dilactams	5-338
Hakopian A. J., see Kostanian K. A.	
Hakoplan H. H., see Ordian M. B.	
Hakoplan L. A., Hambartsumlan G. V., Hovakimian E. V., Guevorkian S. B.,	100
Matsoyan S. G Conversion of 1,8-Diacetylenic Compounds in the	
Donner of Motel Complex Catalmets	
Presence of Metal Complex Catalysts	7-510
	7-510
Hakopian S. V., see Mainishian H. A.	7-510
Hakopian S. V., see Mainishian H. A. Hakopian T. R., see Vartanian S. H.	7-510
Hakopian S. V., see Mainishian H. A. Hakopian T. R., see Vartanian S. H. Hambartsumian G. B., see Mesropian E. G.	7-510
Hakopian S. V., see Mainishian H. A. Hakopian T. R., see Vartanian S. H. Hambartsumian G. B., see Mesropian E. G. Hambartsumian G. V., see Hukopian L. A.	7-510
Hakopian S. V., see Mainishian H. A. Hakopian T. R., see Vartanian S. H. Hambartsumian G. B., see Mesropian E. G. Hambartsumian G. V., see Hakopian L. A. Haroutyunian A. D., see Aghajanian Ts. Ye.	7-510
Hakopian S. V., see Mainishian H. A. Hakopian T. R., see Vartanian S. H. Hambartsumian G. B., see Mesropian E. G. Hambartsumian G. V., see Hukopian L. A. Haroutyunian A. D., see Aghajanian Ts. Ye. Haroutyunian A. M., Balian K. A., Babayan S. G. — The Calcination Mecha-	
Hakopian S. V., see Mainishian H. A. Hakopian T. R., see Vartanian S. H. Hambartsumian G. B., see Mesropian E. G. Hambartsumian G. V., see Hakopian L. A. Haroutyunian A. D., see Aghajanian Ts. Ye.	
Hakopian S. V., see Mainishian H. A. Hakopian T. R., see Vartanian S. H. Hambartsumian G. B., see Mesropian E. G. Hambartsumian G. V., see Hukopian L. A. Haroutyunian A. D., see Aghajanian Ts. Ye. Haroutyunian A. M., Balian K. A., Babayan S. G. — The Calcination Mechanism of Diatomite with Calcium Oxide	
Hakopian S. V., see Mainishian H. A. Hakopian T. R., see Vartanian S. H. Hambartsumian G. B., see Mesropian E. G. Hambartsumian G. V., see Hukopian L. A. Haroutyunian A. D., see Aghajanian Ts. Ye. Haroutyunian A. M., Balian K. A., Babayan S. G. — The Calcination Mechanism of Diatomite with Calcium Oxide	
Hakopian S. V., see Mainishian H. A. Hakopian T. R., see Vartanian S. H. Hambartsumian G. B., see Mesropian E. G. Hambartsumian G. V., see Hukopian L. A. Haroutyunian A. D., see Aghajanian Ts. Ye. Haroutyunian A. M., Balian K. A., Babayan S. G. — The Calcination Mechanism of Diatomite with Calcium Oxide	
Hakopian S. V., see Mainishian H. A. Hakopian T. R., see Vartanian S. H. Hambartsumian G. B., see Mesropian E. G. Hambartsumian G. V., see Hukopian L. A. Haroutyunian A. D., see Aghajanian Ts. Ye. Haroutyunian A. M., Balian K. A., Babayan S. G. — The Calcination Mechanism of Diatomite with Calcium Oxide	12—935
Hakopian S. V., see Mainishian H. A. Hakopian T. R., see Vartanian S. H. Hambartsumian G. B., see Mesropian E. G. Hambartsumian G. V., see Hukopian L. A. Haroutyunian A. D., see Aghajanian Ts. Ye. Haroutyunian A. M., Balian K. A., Babayan S. G. — The Calcination Mechanism of Diatomite with Calcium Oxide	
Hakopian S. V., see Mainishian H. A. Hakopian T. R., see Vartanian S. H. Hambartsumian G. B., see Mesropian E. G. Hambartsumian G. V., see Hukopian L. A. Haroutyunian A. D., see Aghajanian Ts. Ye. Haroutyunian A. M., Balian K. A., Babayan S. G. — The Calcination Mechanism of Diatomite with Calcium Oxide	12—935
Hakopian S. V., see Mainishian H. A. Hakopian T. R., see Vartanian S. H. Hambartsumian G. B., see Mesropian E. G. Hambartsumian G. V., see Hukopian L. A. Haroutyunian A. D., see Aghajanian Ts. Ye. Haroutyunian A. M., Balian K. A., Babayan S. G. — The Calcination Mechanism of Diatomite with Calcium Oxide	12—935
Hakopian S. V., see Matnishian H. A. Hakopian T. R., see Vartanian S. H. Hambartsumian G. B., see Mesropian E. G. Hambartsumian G. V., see Hukopian L. A. Haroutyunian A. D., see Aghajanian Ts. Ye. Haroutyunian A. M., Balian K. A., Babayan S. G. — The Calcination Mechanism of Diatomite with Calcium Oxide	12—935
Hakopian S. V., see Matnishian H. A. Hakopian T. R., see Vartanian S. H. Hambartsumian G. B., see Mesropian E. G. Hambartsumian G. V., see Hukopian L. A. Haroutyunian A. D., see Aghajanian Ts. Ye. Haroutyunian A. M., Balian K. A., Babayan S. G. — The Calcination Mechanism of Diatomite with Calcium Oxide	12—935 8—580
Hakopian S. V., see Matnishian H. A. Hakopian T. R., see Vartanian S. H. Hambartsumian G. B., see Mesropian E. G. Hambartsumian G. V., see Hukopian L. A. Haroutyunian A. D., see Aghajanian Ts. Ye. Haroutyunian A. M., Balian K. A., Babayan S. G. — The Calcination Mechanism of Diatomite with Calcium Oxide	12—935 8—580 5—341
Hakopian S. V., see Matnishian H. A. Hakopian T. R., see Vartanian S. H. Hambartsumian G. B., see Mesropian E. G. Hambartsumian G. V., see Hukopian L. A. Haroutyunian A. D., see Aghajanian Ts. Ye. Haroutyunian A. M., Balian K. A., Babayan S. G. — The Calcination Mechanism of Diatomite with Calcium Oxide	12—935 8—580
Hakopian S. V., see Matnishian H. A. Hakopian T. R., see Vartanian S. H. Hambartsumian G. B., see Mesropian E. G. Hambartsumian G. V., see Hukopian L. A. Haroutyunian A. D., see Aghajanian Ts. Ye. Haroutyunian A. M., Balian K. A., Babayan S. G. — The Calcination Mechanism of Diatomite with Calcium Oxide	12—935 8—580 5—341
Hakopian S. V., see Matnishian H. A. Hakopian T. R., see Vartanian S. H. Hambartsumian G. B., see Mesropian E. G. Hambartsumian G. V., see Hukopian L. A. Haroutyunian A. D., see Aghajanian Ts. Ye. Haroutyunian A. M., Balian K. A., Babayan S. G. — The Calcination Mechanism of Diatomite with Calcium Oxide	12—935 8—580 5—341
Hakopian S. V., see Matnishian H. A. Hakopian T. R., see Vartanian S. H. Hambartsumian G. B., see Mesropian E. G. Hambartsumian G. V., see Hukopian L. A. Haroutyunian A. D., see Aghajanian Ts. Ye. Haroutyunian A. M., Balian K. A., Babayan S. G. — The Calcination Mechanism of Diatomite with Calcium Oxide	12—935 8—580 5—341
Hakopian S. V., see Matnishian H. A. Hakopian T. R., see Vartanian S. H. Hambartsumian G. B., see Mesropian E. G. Hambartsumian G. V., see Hukopian L. A. Haroutyunian A. D., see Aghajanian Ts. Ye. Haroutyunian A. M., Balian K. A., Babayan S. G. — The Calcination Mechanism of Diatomite with Calcium Oxide	12—935 8—580 5—341
Hakopian S. V., see Matnishian H. A. Hakopian T. R., see Vartanian S. H. Hambartsumian G. B., see Mesropian E. G. Hambartsumian G. V., see Hukopian L. A. Haroutyunian A. D., see Aghajanian Ts. Ye. Haroutyunian A. M., Balian K. A., Babayan S. G. — The Calcination Mechanism of Diatomite with Calcium Oxide	12—935 8—580 5—341
Hakopian S. V., see Matnishian H. A. Hakopian T. R., see Vartanian S. H. Hambartsumian G. B., see Mesropian E. G. Hambartsumian G. V., see Hukopian L. A. Haroutyunian A. D., see Aghajanian Ts. Ye. Haroutyunian A. M., Balian K. A., Babayan S. G. — The Calcination Mechanism of Diatomite with Calcium Oxide	12—935 8—580 5—341 6—421
Hakopian S. V., see Matnishian H. A. Hakopian T. R., see Vartanian S. H. Hambartsumian G. B., see Mesropian E. G. Hambartsumian G. V., see Hukopian L. A. Haroutyunian A. D., see Aghajanian Ts. Ye. Haroutyunian A. M., Balian K. A., Babayan S. G. — The Calcination Mechanism of Diatomite with Calcium Oxide	12—935 8—580 5—341

Hovhannissian E. B., see Manuelian M. G. Hovhannissian K. B., see Manuelian M. G.	
Housepian M. E., see Guevorkian A. V.	
Hounanian L. G., see Kostanian K. A.	
Injikian M. H., see Aklian Zh. A., Torgomian A. M.	
Iradian M. A., Iradian N. S., Avetian Sh. A Imidazole Derivatives. XI.	
Bromination of Substituted 1-Benzyl-4-nitro and 1-Benzyl-2-methyl-4-	
nitroimidazoles	6-435
Iradian M. A., see Torossian A. G.	
Iradian N. S., see Iradian M. A.	
Israelian R. G., see Vartanian R. S.	
Janjullan Zh. L., see Malkhasslan A. Ts.	
Javadian V. G., Kostanian K. A The Refraction and Structure of Non-	
alkaline Borogermanate Glass Framework	11-816
Juvadian V. G., see Kostanian K. A.	
Kalpakian A. M., see Belyakova L. D.	
Kaplanian E. Ye., Ayuazian A. M., Mkrian G. G., Talevossian N. Ts., Mkrian	
G. M Investigations in the Field of Unsaturated Compounds, IV.	
Low-temperature Chlorination Products of 1,4-Dichloro-2-methylbutene-2	
and Preparation of Isoprene Derivatives on Their Basis	9-660
Karamian R. A., see Yeritsian M. L.	3-000
Karamian S. A., see Vartanian S. H.	
Karapetian T. G., see Poghossian G. M.	
Karapetian T. G., see Fogiossian G. M. Karapetian T. Gh., see Guevorkian M. G.	
Karapetian Z. A., see Mirzoyan F. V.	
Kazarian A. Ts., Missarian S. O., Martirossian G. T Alkylation of N-Ben-	10 010
zylketimines with Styrene	12—913
Kazarian P. J., see Guevorkian A. A.	'
Keleyan A. P., see Arakelian R. A.	
Khachatrian D. S., see Morlian N. M.	
Khachatrian L. A., Mantashian A. H The Influence of the Reaction Vessel	
Surface on the Gas Phase Oxidation of Ethane	4-203
Khachatrian L. A., see Mantashtan A. H.	
Khachatrian R. A., see Aklian Zh. A.	
Khachatrian R. M., see Vartanian S. H.	
Khachatrian V. E., see Mirzoyan R. G.	
Khachkavanktslan Sh. S., see Abajian K. S.	
Khachikian R. I., see Aghballan S. G.	
Khanamirian L. A., Shahinian A. A. — The Influence of Electrolites on the	
Structure of Mixed Aggregates Consisting of Anionic Sacs and Water	
Soluble Polymers	9-703
Khanukaeva N. S., see Vardanian R. L.	
Khanzadian H. Kh., Abrahamian A. A Simultaneous Microdetermination	
of Nitrogen, Fluorine and Halogens (Cl, Br, I) in Organic Compounds	10-793
hanzadian H. Kh., see Abrahamian A. A.	
Khazhaklan L. V., Badallants I. P., Mkrtchian H. P., Noravlan A. S. —	
Study of the Structure of Some Amino Acids and Acid Amides of the	
Thiophene Series by IR Spectral Analysis	7.—516
(hazhakian L. V., see Yengoyan A. P.	. 010
Chechumian E. M., see Makarian E. M.	
Chizantsian N. M., see Guevorkian A. A.	
Chrimian A. P., Badanian Sh. H Reactions of Unsaturated Compounds.	
LV. Reduction of Tertiary Vinylpropargylic Chlorides with a Zinc-Copper	
Couple	7-495
	7 - 434 9

Khrimian A. P., Badanian Sh. H. — Reaction of Unsaturated Compounds. LVI. Reduction of Some Diacetylenic Mono and Dichlorides with a Zinc-Copper Couple	9—682
Khudoyan G. G Voskanian M. G., Badanian Sh. H.—Reactions of Unsaturated Compounds. Lil. About the Specificities of Substitution Reactions in Vinylpropargylic Compounds	11—840
Kiramijian K. P., see Nikoghossian L. L. Kocharian S. T., Grigorian V. V., Babayan A. T.—Investigations in the Field of Amines and Ammonium Compounds. CXL. Behaviour of Ammonium Salts Containing Substituted Carbaikoxymethyl Groups in the Stevens Rearrangement and β-Elimination Reactions	11 922
Kocharlan S. T., see Babayan A. T., Ohanjanlan S. M. Kocharov S. H., see Shkulyov V. A. Kosslan M. S. see Guevorklan A. A.	11-000
Kostanian A. K., Guller B. D., Zinyuk R. Yu., Pozin M. E. — Investigation of Anhydrite Crystallization in Phosphoric Acid Solutions	5—320
of Germanium Glasses	_3190
Kostanian K. A., Javadian V. G., Hounanian L. G.—The Correlation of Structure and Glass-Transition Temperature of the System RO—	
B_2O_3 — GeO_2	10-746
Kostanian K. A., see Javadian W. G.	
Kozhemyachenko L. I., Guevorkian S. S., Guevorkian M. A Investigation	
of Adhesives Based on Urethane Rubber CKU-8A	9-717
Kozorovitsky A. Ya., Manannikov B. P A New Method of Synthesis of	
Lactic Acid	9-715
Kukolev V. P., see Chukhajian G. A.	
Kuroyan R. A., see Grigorian R. T.	
Kristosturian E. T., see Aghassian P. K.	
Laglagian S. H., see Balekayev A. G.	
Levonian A. V., see Guevorkian M. G.	
Louklanenko N. L., see Yengoyan A. P.	
Makarlan E. M., Khechumian E. M., Grigorian G. H. — Thermodynamics of the Calcium Sulphat Dissociation Process in the Presence or Ab-	
sence of Carbon and Silliconoxide	8-572
Makarian G. M., Sargsian M. S., Badanian Sh. H Reactions of Unsatu-	0-312
rated Compounds. XLVII. Reactions of Nikel (II) Chelates with Propargylic Halides	4—241
Markarlan Sh. A., Piroumian G. P., Beylerian N. M. — PMR Study of Polyoxyethylated Hexadecanol-20 Hydratation	4-224
Malkhassian A. Ts., Janjulian Zh. L., Martirossian G. T Alkylation of	1-221
Aromatic Amines with Unsaturated Compounds	11-870
Malkhassian A. Ts., see Sukiassian G. G.	
Malkhassian R. T., see Sarkissian S. G.	
Manannikov B. P., see Kozorovitsky A. Ya., Matevossian R. H.	
Manasslan L. H., see Babayan A. T.	
Mantashian A. H., Khachatrian L. A., Niazian O. M The Chain Propa-	
gation Mechanism in the Thermic Oxidation of Ethane	1-49
Mantashian A. H., see Arsentyev S. D., Azatlan N. A., Ghoukassian P. S.,	1
Khachatrian L. A.	

Manvellan M. G., Davidova N. S Application of the Filter-Powder in	
Antiblotic Filtration Processes	3 147
Manuelian M. G., Howhanissian K. B., Howhanissian E. B., Varuzhanian	-0-171
Manuellan M. U., Hoynanissian K. B., Hovnanissian E. B., Varaznanian	
A. A Caking of the Ultraporous Structure of Silica Obtained du-	0 100
ring the Treatment of Napheline Syenites	-3-139
Manuelian M.G., Howhanissian K. B Caking of the Ultraporous Structure	
of Silica Geometrically Modified in an Autoclave	4-229
Margolis L. Ya., see Nersessian L. A.	
Marianian A. I., see Guevorkian M. G.	
Markarian E. A., Avakian A. S Derivatives of Arylalkylamines. XII. Syn-	
thesis of 4,4-Diphenyl-3-methyl-2-butylamines	6-424
Markarian E. A., Hayrapetian G. K Isoquinoline Derivatives. XIII. Syn-	
thesis of 1-Arylalkenyl(or alkenyl)-3.6,7-substituted isoquinoline Hyd-	
rochlorides and Hydrogenated Derivatives	10-757
Markarian E. A., Minassian S. A., Nazarian V. M., Voskanian S. V.	.007
A New Synthesis of 3-Methyl-4N-dimethylamino-2-butanol, 3-Methyl-	
	11 047
	11—847
Markarian E. A., see Aghekian A. A., Solomina L. P., Yengoyan A. P.	100
Marmarian G. A., see Beylerian N. M.	
Maroukian A. O., see Yeritsian M. L.	
Martirossian A. G., Martirossian A. P., Tedoradze G. A The Simulia-	
neous Adsorption of Acrylonitrile and Amyl Alcohol on the Mercury	
Electrode	12-922
Martirossian A. P., see Martirossian A. G.	
Martirossian G. T., see Kazarian A. Ts., Malkhassian A. Ts., Suklassian G.	G.
Martirossian V. A About the Process of Thermodynamics is the Chlori-	
nation by HCl of Oxides Containing in Chromade Mines	3_03
Martirossian V. A About the Thermodynamics of the Chlorination of	
Complex Oxides Contained in Chromium Ores with Hydrogen Chloride 2.	2 100
Matevossian R. H., Donskikh I. B., Donskikh O. B., Manannikov B. P.	-0-100
Investigation of the Properties of p-Picryltoluidine Polymorfic Modi-	
fications in Solutions	
Malevossian R. H., see Donskikh J. B., Nikoghossian L. L.	
Mainishian H. A., Hakopian S. V Preparation of Polyazophenylenes	6-441
Matsoyan S. G., see Hakoptan L. A., Poghosstan G. M.	
Melik-Ohanjanian R. G., see Mirzoyan R. G.	
Melikian T. R., see Mkrtchian R. S.	
Meliksetian R. P., Beylerian N. M Acrylamide Polymerization Kinetics in	
Aqueous Solutions Initiated by Red-ox Systems	11-803
Melkonian L. G., see Guevorklan M. G.	
Melkonian L. N., see Chukhajian G. A.	
Mesropian E. G., Hambartsoumlan G. B., Sheyranian M. A., Danghian M. T.	
Condensation of Ethyl Acetaminoacetates and Acetaminomalonates	
	10 010
Minassian S. B., see Markarian E. A., Yangoyan A. P.	12-918
Minassian T. T., see Badanian Sh. H.	100
Minassian V. T., Grigorian G. L., Nalbandian A. B The Heterogeneous	
Radical Decomcosition of Hydrogen Peroxide in the Presence of	
Carbon Monoxide	1-45
Mirzakhanian R. M. — Hydraulic Resistance of a Moving Fluidized Granular	
Bed	8-583
Mirzoyon F. V., Tarayan V. M., Karapetian Z. A The Influence of	
Acidity upon the Composition of Phosphoromolybdic Acid Heteropu-	
lyanion	0 150

Mirzoyan F. V., Tarayan V. M., Petrossian A. A.—On the Chemistry of the Interaction between the Basic Dye Methylene Blue and Phosphoromolybdic Heteropolyacid	8—597
Mirzoyan R. G., Khachatrian V. E., Melik-Ohanjanian R. G Mass-Spectra	
of 2-Alkoxybenzylsubstituted Pyrimidylacetic Acids	<u>_3</u> _191
Mirzoyan R. G., Melik-Ohanjanian R. G. — Mass Spectrometric Determination of Isomeric Alkoxybenzylsubstituted Dichloropyrimidines	C 446
Mirzoyan R. H., see Torossian A. G.	6—446
Missarian S. O., see Kazarian A. Ts.	
Mkhitarian A. V., Samuelian S. Kh Enaminodiketones. I. IR-Spectra of	
Some Proton-Containing Enaminodiketones	7-470
Mkhitarian G. R., Kinoyan F. S., Badanian Sh. H Reactions of Unsatu-	
rated Compounds. Ll. Synthesis of Vinylallene Derivatives by a Proto-	
tropic Rearrangement of Allylacetylenic Compounds	7-501
Mkhitarian G. R., see Badanian Sh. H.	
Mkhitarian R. P., see Ghoukassian T. T.	
Mkhitarian S. L., Beylerian N. M Aminoalcohols as Chain Transfering	
Agents in Vinylacetate Bulk Polymerization	6—388
Mkrian G. G., see Kaplanian E. Ye.	
Mkrian G. T., see Kaplanian E. Ye.	
Mkrian T. G., Chobanian S. A., Sarkissian A. N., Baratov A. N. — Investi-	1 70
gation of the Reaction of Atomic Oxygen with CF_2Br . Mkrian T. G., Haroutyunian S. A., Sarkissian E. N.—Investigation of Gas	1-72
Phase Reaction of Atomic Oxygen with C ₂ F ₄ Br ₂	6-377
Mkrtchian A. T., see Poghossian G. M.	0-377
Mkrichian H. P., see Khazhaklan L. V.	
Mkrtchian R. S., Melikian T. R., Torossian G. H., Tahmazian K. Ts., Ba-	
bayan A. T Investigations in the Field of Amines and Ammontum	
Compounds. CXXXVIII. Intramolecular Cyclization of Allyl-2,4-penta-	
dienyl(furfuryl)carboxylic Acid Amides	5-328
Mnatsakanian V. H., see Hovhannessian G. B.	
Mnjoyan H. L., Grigorian N. A Derivatives of Dicarboxylic Acids. XI.	
Quaternary Ammonium Salts of β-Dimethylaminoalkyl Esters of Glutaric	
and Cinnamic Acids	4-250
Mnjoyan H. L., see Shkulyov V. A.	
Morlian N. M., Khachatrian D. S., Badanian Sh. H Cycloalkylation of	115
2,β-Unsaturared β'-Alkoxyketones with Acetoacetate	11-366
Morlian N. M., Khachatrian D. S., Badanian Sh. H Cycloalkylation of	
Maionates, Acetoacetates, and Acetylacetone with Mesityl Oxide in the	11 074
Presence of Potassium Carbonate	11-0/4
Morlian N. M., see Nikoghossian L. L. Movsessian R. A., see Aghajanian Ts. Ye.	
Muradian A. A., see Gharibian E. G., Nersessian L. A.	-7.
Muradian R. Ye., see Aghajanian Ts. Ye.	
Musheghlan A. V., see Grigorian G. G.	
Nalbandian A. B., see Arustamian A. M., Gazarian K. G., Minassian V. T.,	
Nersessian L. A.	
Nazarian M. V., see Shahnazarian G. M.	1
Nazarian R. H., see Avetissian A. A.	
Nazarian V. M., see Markarian E. A., Yengoyan A. P.	10° 10°
Nersessian G. M., Alaverdian O. B., Edigarian A. A The Anodic Beha-	
viour of Molybdenium in Melted Glass	8-579
Nersessian L. A., Gharibian T. A., Margolis L. Ya., Nalbandian A. B He-	
terogeneous-homogeneous Oxidation of Formaldehyde. II. Oxidation	S 1 1 1 1 1 1 1 1 1 1 1 1 1 1 1 1 1 1 1
of Formaldehyde on Aluminum Oxide	1-39

Nersessian L. A., Muradian A. A., Gharibian T. A., Margolis L. Ya., Nal-	
bandian A. B Heterogeneous-homogeneous- Oxidation of Formal-	
dehyde. I. Oxidation of Formaldehyde in the Presence of Silica	133
Niazian O. M., see Mantashlan A. H.	
Nikoghossian L. L., Eghiazarian A. M., Kiramiflan K. P., Morlian N. M.,	
Matevossian R. H Synthesis of Dialkyl-p-(2-methyl-5-hexen-3-yne)-	
phenylphosphates and Investigation of their Radical Polymerization	5-333
Noravian A. S., see Khazhakian L. V.	
Ohanjanian A. T., see Ordian M. B.	
Ohanjanian S. M., Kocharian S. T., Babayan A. T Sequence of the Ste-	
vens Rearrangement and Dehydrohalogenation Reactions in Dialkyi-	
(3-chloro-2-butenyl)-carbalkoxymethyl Ammonium Salts	12-909
Ohanjunian S. M., see Babayan A. T.	
Ordian M. B., Rashidian L. H., Ayuazian G. B., Hakopian H. H., Ohan-	
janian A. T., Avanessian N. A Modification of the Epoxide Resin	
ED-20 Hardened with Mixtures of Aromatic Diamines by Means of	
Complexes Obtained from Certain Metals with Triethylenetetramine	10763
Ordukhanian K. A., see Petrossian R. A.	10 700
Ouchian V. N., Voskanian S. S., Danillants E. S., Avanesova L. M The	
Influence of Silicon Dioxide on the Electrochemical Behaviour of Car-	
bon Steel in Concentrated Solutions of Sodium Hydroxide	6-393
Paronikian E. G., see Vartanian S. H.	0~050
Parter D. Z., see Poghossian S. H., Shakhatuny H. K.	
Pashayan A. A., see Voskanlan M. G.	
Petrossian A. A., see Mirzoyan F. V.	
Petrossian R. A., Ordukhanlan K. A., Baghdassarian R. V., Tonoyan V. J.—	
a contract to the contract to	10 030
	12-929
Petrossian V. A., Gabrielian H. A., Rogovin Z. A. — Synthesis of Fibre-Forming Copolymers of Acrylonitrile and Isoprene	0 60 4
	9694
Pilipossian A. G., see Arustamian A. M.	
Piloyan H. H., see Balekayev A. G.	
Pirjanov L. Sh., see Aghekian A. A.	
Piroumian G. P., Beylerian N. M. — A Calorimetric Study of Potassium Per-	
sulphate Decomposition in Aqueous Solutions of Non-Ionogen OC	
	10786
Piroumian G. P., Grigorian G. G., Beylerian N. M Thermographic in-	
vestigation of Non-lonic OC-Type Surface Active Substances	5—361
Piroumian G. P., Simonian L. Kh., Guevorkian M. G., Beylerian N. M. — The	
Influence of Sulphuric Acid, Potassium Sulphate and Persulphate on the	
Agregation Degree of Non-lonic OC Type Detergents	4-209
Piroumian G. P., see Markarian Sh. A.	
Poghossian A. N., see Tarayan V. M.	
Poghossian E. T., see Barsamian S. T.	
Poghossian G. M., Assaturian I. H., Zaplishny V. N. — Preparation of Po-	
lyanhydrides on the Basis of 2-Substituted-4,6-bls (p-carboxyphenoxy)-	
s-triazines	4267
Poghossian G. M., Karapetian T. G., Avanessian E. S., Matsoyan S. G. —	
Synthesis and Polymerization of Some Unsaturated Esters-and Allyl	100
Amide of 2-Vinylbenzoic Acid 2-	-3-176
Poghossian G. M., Mkrtchlan A. T., Matsoyan S. G. — Synthesis and Poly-	
merization of Some 4-Vinylbenzylidenamines	-3-181
Poghossian G. M., Zaplishny V. N., Avanessian E. S On the Cleavage	
of the Carbon-Oxygen Bond during the Arylation of Monoalkoxy-	
substituted Cyanurchlorides	8-634
Poghossian G M see Avanessian F S	100

D. C. C. D. W. con And Day D. A.	
Poghossian R. K., see Arakelian R. A. Poghossian S. H., Terzian A. G., Tatevossian G. T., Partev D. Z., Viasenko E. V.—Indole Derivatives. LX. 1,2,3,4,4a,5,7,8,13b,13c-Decahydro-13H-benz(g)Indolo(2,3-a)Indologianes and 1,2,3,4,4a,5,7,8,9,14,14b,14c-Dode-parters indologianes and 1,2,3,4,4a,5,7,8,9,14b,14c	4 000
cahydro:soindolo(1,2-a)indolo(2,3-c)azepines	4-260
Poghossian Zh. A., see Beylerian N. M.	
Pozin M. E., see Kostanian A. K.	
Rashidian L. H., see Ordian M. B.	
Ragovin Z. A., see Petrossian V. A.	1.0
Rostomian L. H., see Haroutyunian V. S.	
Safarian M. A., Guevorkian S. Z Removal of CO ₃ ² -lons from Alkali Si-	
licate Solutions. I. Study of CO ₃ ² -Ion Removal Dependence on Va-	
	6 200
rious Factors	6—399
Safarlan M. A., Guevorkian S. Z. — Removal of CO_3^{2-} -Ions from Alkali Si-	
licate Solutions. II. A Method of CO ₃ ² -lon Removal from the Cycle	6-404
Safarov A. Sh., see Guevorklan A. V.	
Suhakova K. E., see Orlgorian R. T.	
Sahradian L. I., see Sarkissian S. N.	
Samuellan S. Kh., see Mkhitarian A. V.	
Saponjian L. G., see Shkulyou V. A.	
Sargstan M. S., Badantan Sh. H.—Reactions of Unsaturated Compounds.	
XLVIII. The Interaction of α-Halogenvinylpropargylic Ethers with	
Grignard Reagent. A New Type of Halotropy	6-416
Sargsian M. S., see Makarian G. M.	
Sarkissian A. N., see Mkrian T. G.	
Sarkissian E. G., Malkhassian R. T A Detailed Mass-spectrometric Ana-	
lysis of the Oxidation Products of Formaldehyde and Mass-spectrum	
of Performic Acid	1-76
Sarkissian E. N., see Mkrian T. G.	
Sarkissian S. N., Avelissian A. A., Sahradian L. I Complex Compounds	
of Rodium (III) with Butenolides	7-539
Sarkissian S. N., Avetissian A. A., Sahradian L. I., Troitskaya A. D	
Complex Compounds of Manganese (II) with Butenolides	7-542
Saroukhanian E. R., Beylerian N. M Study of Diphenylamine-Benzoyi	
Peroxide Reaction in Binary Mixtures. I. Influence of the Solvent Com-	
position	7-477
Saroukhanian E. R., Beylerian N. M Investigation of the Benzoyi Per-	1-411
oxide-Dimethylaniline Reaction in Benzene-Pyridine and Benzene-He-	
	0 649
xane Binary Mixtures by the ESR Method	9—648
Saroukhanian E. R., Beylerian N. M. — Study of Diphenylamine-Benzoyl	- 31
Peroxide Reaction Kinetics in Binary Mixtures, II. The Temperature	
Influence	10—727
Sayadlan R. H., see Ghoukassian P. S.	
Shahbatlan Sh. L., see Shahnazarian G. M.	
Shahinian A. A., see Khanamirian L. A.	
Shahnazarlan G. M., Nazarlan M. V Condensation of Mixed Haloforms	
with Acetone	9-708
Shahnazarian G. M., Shahbatlan Sh. L Preparation of bis-Chloro and Di-	
chlorovinyl Compounds by the Recombination of the Allylic Moiety of	
Chlorallylchlorides in the Presence of Iron	4-236
Shahnazarian G. M., see Ghukassian A. H.	
Shahnayarian I K saa Arustamian A M	

Shahatuny H. K., Shiroyan F. R., Partev D. Z. — Indole Derivatives. LXI. 3-Alky1-11-methoxy - 12c-methy1 - 1,2,3,4,6,7,8,12c-octahydroindolo(3,2-a)-	
quinolizines	11-857
Shamamian A. E., see Abajian K. S.	
Shevranian M. A., see Mescoplan E. G.	
Shiroyan F. R. Avetian V. T Indole Derivatives. LIX. 2-Alkyl(phenyl)-	
12h-phenyl-octahydroindolo(2,3-a)quinolizines	-3-170
Shiroyan F. S., Avetian V. T Indole Derivatives. LV. 10-Methoxy-(ben-	
zyloxy)-3-methyl-15,16,17,18,19,20-hexadehydroyohimbanes	5—363
Shiroyan F. R., see Shakhaluny H. K.	
Shkulyov V. A., Aboulan L. S., Stepanian N. O., Saponjian L. G., Mnjoyan	
H. L Bensensulphonylurea Derivatives. II, Synthesis and Hypogly-	
cemic Activity investigation of N-(2-Methyl-4-alkoxybenzenesulphonyl)-	0 001
N'-alkylureas	8-621
Shkulyov V. A., Kocharov S. L., Stepanian N. O., Buniatian Zh. M., Mn-	
joyan H. L. — Benzensulphonylurea Derivatives. I. Synthesis and Hy-	
poglycemic Activity Investigation of N-(2-Methyl-4-alkoxybenzenesul-	D 614
phonyl)-N'-alkylureas	8-614
Strakanian M. A., see Aghassian P. K.	
Soghomonian B. M., Beylerian N. M. — The Influence of Additions on the	
Chain Propagation and Termination Rate Constants during the Poly-	
merization and Copolymerization of Styrene and Methylmethacrylate	9 56T
Solomina L. P., Grigorian R. T., Markarian E. A.—Synthesis and Inves-	8567
tigation of Some N-(3-Indolylethyl)]imides and their Reduced Analogs	5-345
Stepanian N. O., see Shkulyov V. A.	J-34J
Struchkov U. T., see Arakelova E. R.	
Suklassian G. G., Malkhassian A. Ts., Martirossian G. T Alkylation of	,
N.N-Dialkyl Acid Amides and Some Conversions of the Compounds	
This Obtained	8-603
Tohmazian K. Ts., see Mkrichian R. S.	0-000
Tarayan V. M., Poghossian A. N., Arstamian Zh. M Extractive-Absorption	
Determination of Gallium with Pyronin-Ж	7-482
Tarayan V. M., see Mirzoyan F. V.	
Tatevossian G. T., see Poghossian S. H.	
Tatevossian K. A., see Grigorian R. T., Vartanian S. H.	
Tatevossian N. Ts., see Kaplanian E. Ye.	
Tedoradze G. A., see Martirossian A. G.	
Terlemezian Zh. N., see Durgarian A. H.	
Terzian A. G., see Poghossian S. H.	
Tigranion A. V., see Vardanian R. L.	
Tokmajian G. G., see Guevorkian A. A.	
Tonian G. M., see Chukhajian G. A.	
Tonoyan V. Y., see Petrossian R. A.	
Torgomian A. M., Hovakimian M. Zh., Injikian M. H Interaction of Phos-	
phonium Salts Containing 1-Alkoxy-2-bromoethyl and 1-Alkoxyethyl	
Groups with Water	9-669
Torossian A. G., Mirzoyan R. H., Iradian M. A. — Imidazole Derivatives.	
X. Synthesis and Mass-spectral Investigations of Bromoderivatives of	
Substituted 4(5)-Phenylimidazoles	5-353
Torossian G. H., see Mkrtchian R. S.	
Troitskaya A. D., see Sarkissian S. N.	
Tumanian K. I., see Aghbalian S. G.	
Van Ngok Huong, see Gulbudaghlan L. V.	-
Vunessian A G see Vardanian R I	

Va	rdanian R. L., Ayvazian T. M., Khanukaeva N. S., Tigranian A. V., Vanessian A. G. — Determination of Inhibitor Activation in Oxidizable	
	Cholesterol Liquid Crystalls by the Chemiluminescence Method. I.	11741
	Cholesteryl Pelargonate	10-738
Va	rtanian R. S., Israellan R. G A New Method of Synthesis of z-Phenyl-	
	β,β-substituted Acrylonitriles	9-713
Vai	rtanian R. S., Israellan R. G., Vartanian S. H A New Method of Pre-	
	paration of \$ and \$4-Substituted 2-Phenylacrylonitriles	4—245
Val	rtanian S. H., Hakopian T. R., Paronikian E. G. — Chemistry of Crown	
	Ethers. 1. Synthesis of New Macrocycles Starting with Difurfurylsul-	- 240
17.	phide-5,5'-dicarboxylic Acid	5—349
Vai	rtanian S. H., Khachatrian R. M., Grigorian R. T., Karamian S. A., Ta-	
	tevossian K. A. — Synthesis and Mass-Spectrometric Investigation of	7 501
17	Ethyl 2,2-Dialkyl-4-alkyltetrahydropyranyl-4-cyanoacetates	7—521
VAI	rtanian S. H., Khachatrian R. M., Grigorian R. T., Karamian S. A., Ta-	
	tevossian K. A. — Synthesis and Mass-spectrometric Studies of a-Al-	7-526
17	kyl-(2,2-dialkyldihydropyran-1'-yl)cyanoacetates	7-020
	rtanian S. H., see Vartanian R. S. rteressian G. Ts., see Choumachenko M. N.	
	ruzhanian A. A., see Manvellan M. G.	
	silian N. R., see Abajian K. S.	
	senko E. V., see Poghossian S. H.	1
	kanian M. G., Khudoyan G. G., Chobanian Zh. A., Badanian Sh. H.—	
703	Reactions of Unsaturated Compounds. Lill. The Catalytic Reduction of	
	Propargylic and Allenic Halides with Cuprous Salts and its Speci-	7.
	ficities'	9-675
Vas	kanian M. G., Pashayan A. A., Badanian Sh. H Reactions of Unsatu-	
. 03	rated Compounds. LIV. Synthesis Based on Substituted Vinylethynyl-	1
	carbinyl Halides	10-750
Vos	kanian M. G., see Khudoyon G. G.	
	kanian S. S., see Ouchian V. N.	
	kanian S. V., see Markarian E. A.	
	goyan A. P., Loukianenko N. L., Khazhaklan L. V., Minassian S. A., Na-	
6.	zarian V. M., Markarian E. A Investigation of the Relative Confi-	
	gurations of 3-Methyl-4N-dialkylamino-2-butanols	11-828
Yeri	itsian M. L., Karamian R. A., Aroutyunian B. S., Essayan K. A Impro-	
	vements in the Curing Mechanism of tris(Succinic Acid Anhydride)-	
	Isocyanurate with Aliphatic and Aromatic Amines	4-279
Yeri	Itsian M. L., Karamlan R. A., Haroutyunian B. S., Essayan K. A Pre-	
	paration of tris(Succinic Acid Anhydride) Isocyanurate and Resins	
	Based on the Formed	4292
Yeri	itsian M. L., Maroukian A. O., Aghassarian A. B Synthesis of 1,3-Di-	
	benzyl-5-allylisocyanurate	5-365
Zalk	in V. G., see Grigorian R. T.	
	nian M. G., Haroutyunian V. S., Danghian M. T Fragmentation of	
	Some Ketoesters during Reduction with Aluminum Isopropylate	6-412
Zall	nian M. G., Haroutyunian V. S., Danghian M. T Reduction of Some	
	Ketolactones with Aluminum Isopropylate	7-545
Zali	nian M. G., see Haroutyunian V. S.	
	lishny V. N., see Avanessian E. S., Poghossian G. M.	
	uk R. Yu., see Kostanian A. K.	